

クレジット：

UTokyo Online Education 学術俯瞰講義 2017 吉澤明

ライセンス：

利用者は、本講義資料を、教育的な目的に限ってページ単位で利用することができます。特に記載のない限り、本講義資料はページ単位でクリエイティブ・コモンズ 表示-非営利-改変禁止 ライセンスの下に提供されています。

<http://creativecommons.org/licenses/by-nc-nd/4.0/>

本講義資料内には、東京大学が第三者より許諾を得て利用している画像等や、各種ライセンスによって提供されている画像等が含まれています。個々の画像等を本講義資料から切り離して利用することはできません。個々の画像等の利用については、それぞれの権利者の定めるところに従ってください。

# 情報社会の工学2：ハード 量子コンピューター

量子テレポーテーションを用いて  
量子コンピューターをつくる

量子の制御

東京大学工学部物理工学科

古澤 明

「理学部」と「工場で働く」  
く人たちを連想するのではないか  
いでしょうか？あるいは、  
理学部で研究を行い理論をう  
くり、工学部ではその理論をう  
用いて開発を行うと思ってい  
る人が大半なのではないでし  
ょうか？つまり、工学部で  
は研究をしていないと思って  
いる人が大半なのではないで  
しょうか？ 本稿の目的は、  
工学部では明るく楽しく研究  
をしていくということをわか  
つてもらうことです。

入学されたみなさんに、文  
学部という「文」の学部から  
歓迎と勧誘のごあいさつ。文  
といふと、文字をつらね王語  
と述語をそなえたいわゆる  
「文章」がイメージされます  
が、書かれたものだけではあ  
りません。「天文」の語の存  
在が暗示するように、自然や  
空間や社会に刻みこまれたも  
のの探究までを指していくま  
す。その中心にあって人間固  
有の意味世界の構築と継承を  
支えているのが、ことばとい

にじっさいにわたせるのは、適當な重さ大きさの物体でしょ  
う。これに対しましては、ことばが運ぶであろう対象は、  
ひろく、現実の両手ではつか  
めないものにまで拡がってい  
ます。それは意味や意識やイ  
メージを直接につかむ「もう  
ひとつの手」であり、「伝へる」  
という機能もそこで生まれま  
す。

感覚をさぐり、社会の外に拡張する力を有する。さうにいうなら、土をわからなさを明晰に対し、不可解や不思議の重向かいあう力、あるいはかかっている常識の亀殻を、論理によって浮かがらせる構築力をもつてす。その意味で、ことばぶという実践になくてはない道具であり、また「という卒業要件の基礎となるわけです。

# 工学部

## 明るく楽しく研究を行う工学部

<http://www.t.u-tokyo.ac.jp>

副研究科長 吉澤 明

る数学、物理、化学、生物に関する研究をしています。ところが、理学部と決定的に違ったことがひとつあります。理学部に「制御」(コントロール)という概念はありませんが、工学部では「制御」を行います。つまり、理学部では自然法則に従う現象を観測し、そこから自然法則自身を見つけて出します。一方、工学部では

（副研究科長）物理工学科  
ルを磨くためにスペシャルイングリッシュレッスンを提供しています。もちろん、交換留学や海外派遣も積極的に行っています。

このように工学部では、これまで世の中に無かった新たなものを生み出す研究を明るく楽しくやっています。そしてその舞台は極めてグローバルです。グローバルな環境で楽しく研究し、人類社会の発展に大きく貢献できるのが工学部なのです。ぜひ一度工学部ホームページを訪ねてください。

うメディアです。「ここぼ」は微妙なことがらや複雑な感情を説明する力を備え、それでの身体に共鳴と了解の感覚をもたらします。それは他者のとの信頼にもとづく協働をつくりあげ、また個というかけがえのない主体を生みだすでしょう。人間はこの媒体をつかって、理や義をめぐる「思想」を高くかかげ、想像力ゆたかに編まれた「文学」の作品を生みだし、記憶や事実の物語としての「歴史」を織りあげ、「社会」という公共性を有する場を立ちあげてきました。

という活動を可能にします。すなわち音声のせなかに状況の記憶を書き込み、経験として保持し、それを通じて記録として参あらたに編集し、理想をして書き変える。文字と書いて普及は、単なる外部記憶拡大の歴史ではありませんでした。つまり、それは個しての身体を超えて、社会共同の思考を可能にする「ひとつの脳」だったのを見落とされがちだけ、「感じる」機能も大切です。皮膚は、自分と環境とのあつて、「自」を持つもの

# なぜ量子コンピューター？

# グーグル

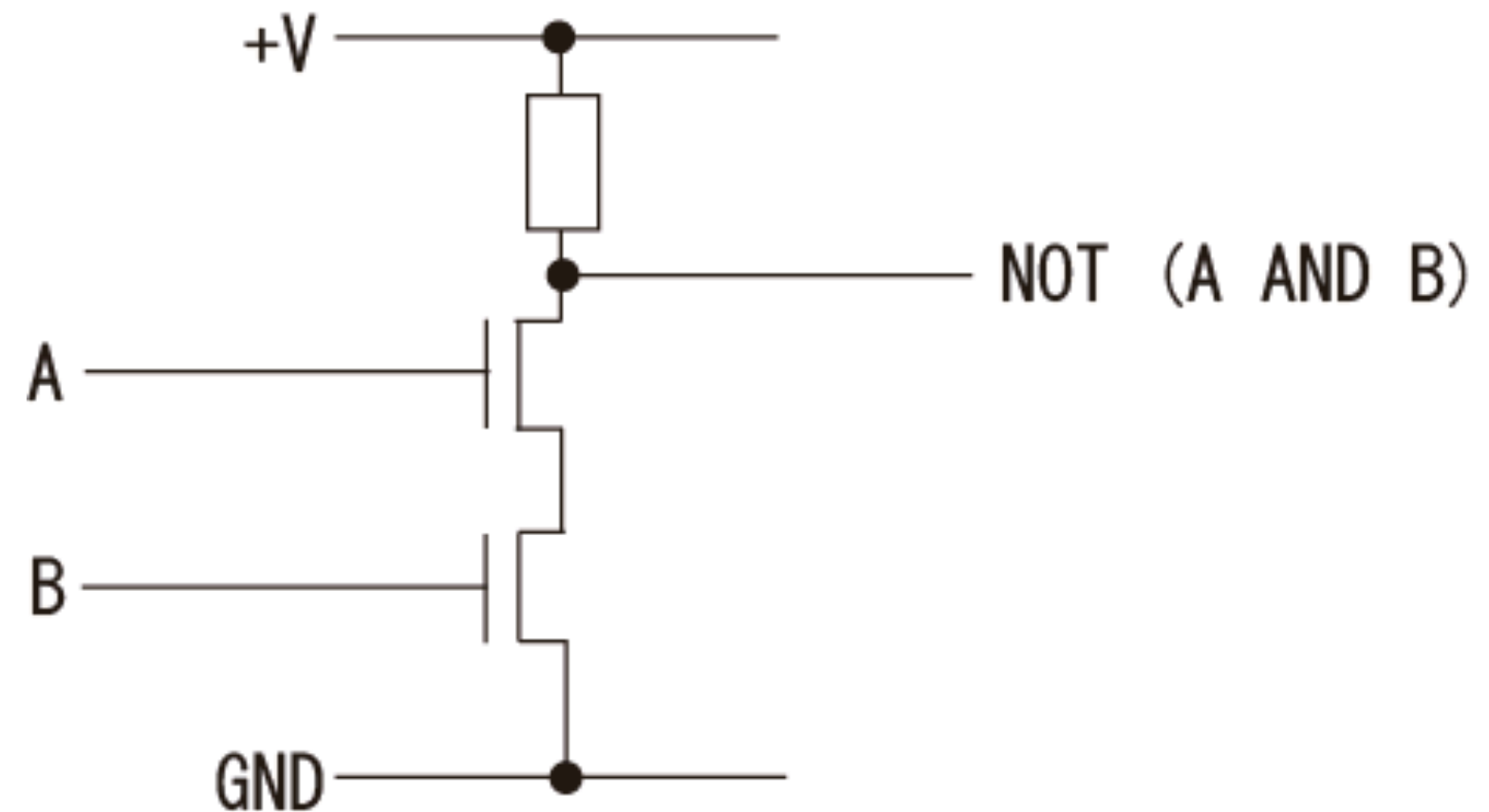
自動運転

量子コンピューター

量子コンピューターは未来の自動車のキーテクノロジー

古典論理ゲート

NANDゲート



量子論理ゲート

Z軸回り回転ゲート

$$c_0|01\rangle + c_1|10\rangle \left\{ \begin{array}{c} \xrightarrow{\phi} \\ \xrightarrow{\quad} \end{array} \right\} c_0|01\rangle + c_1 e^{i\phi}|10\rangle$$

# 量子テレポーテーションとは 量子オペアンプ（量子演算増幅器）

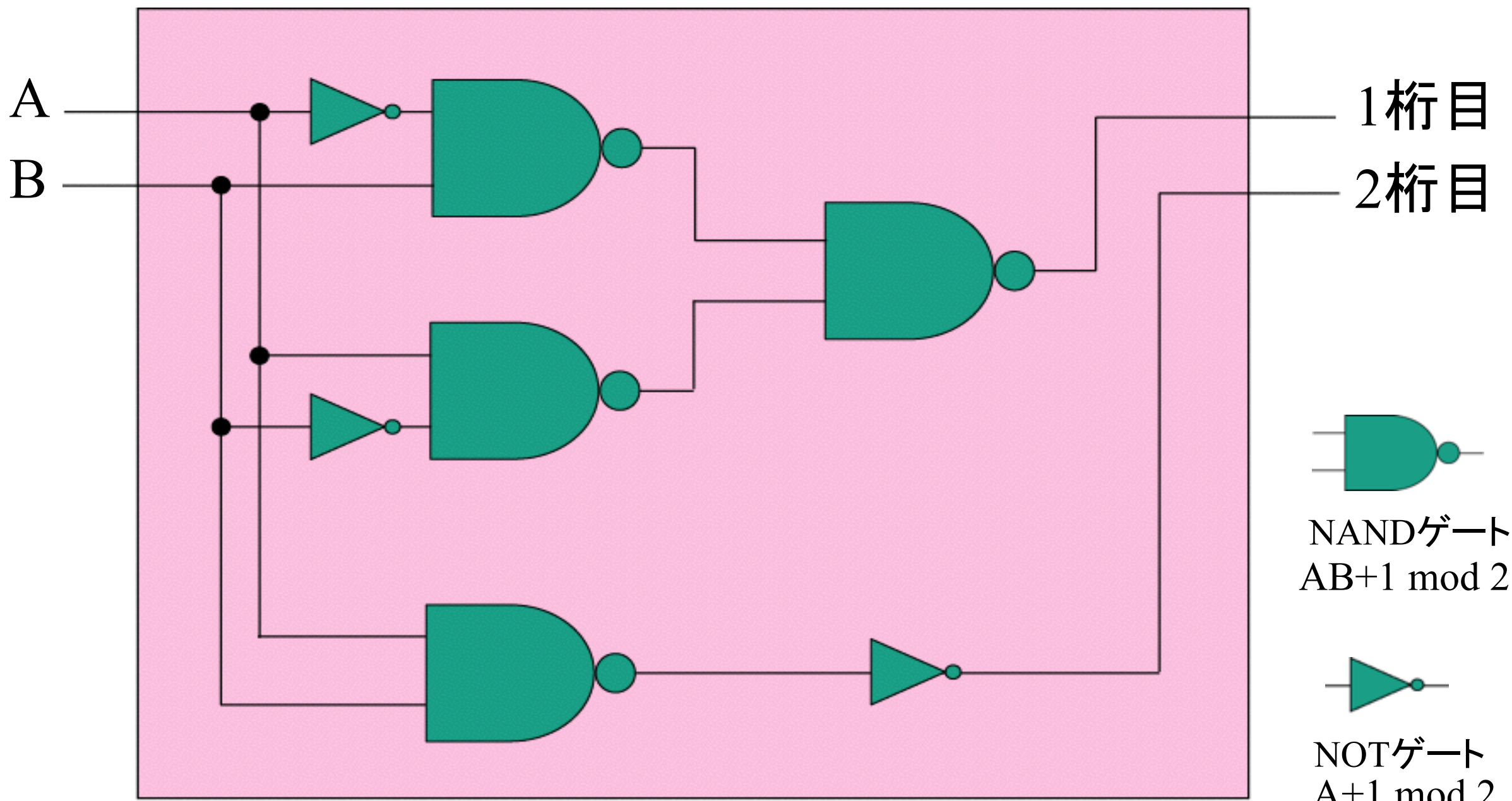
光子なし  $|0\rangle$   
光子あり  $|1\rangle$

# 古典コンピューター

2進数の足し算回路(半加算器)

A, B = 0, 1

$$\begin{aligned}0+0 &= 00 \\0+1 &= 01 \\1+0 &= 01 \\1+1 &= 10\end{aligned}$$



# 量子コンピューター

2進数の足し算回路(半加算器)

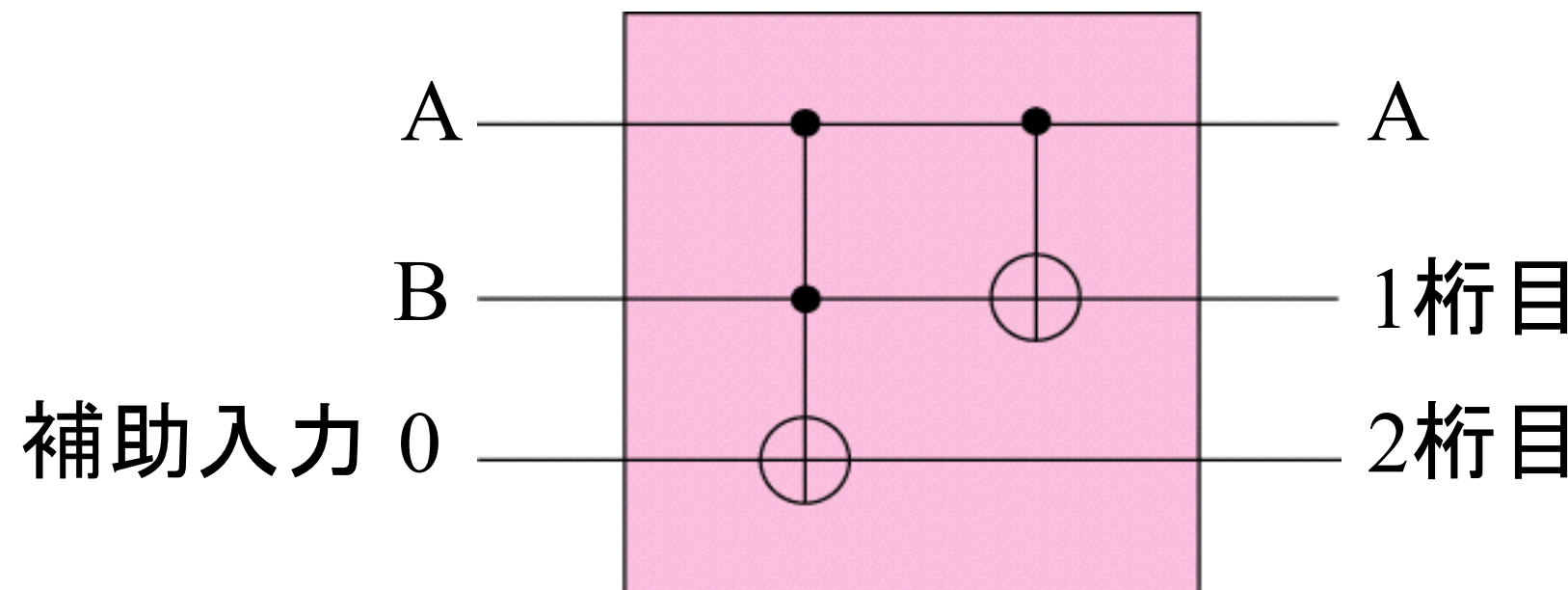
$$0+0=00$$

$$0+1=01$$

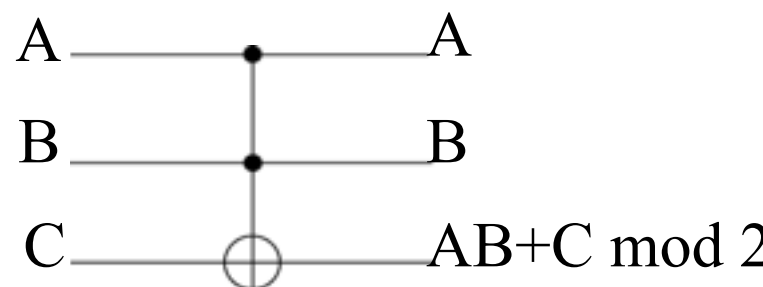
$$1+0=01$$

$$1+1=10$$

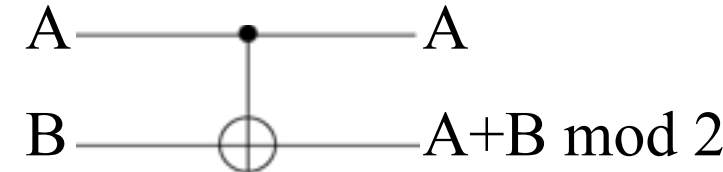
$$A, B = c_0 |0\rangle + c_1 |1\rangle$$



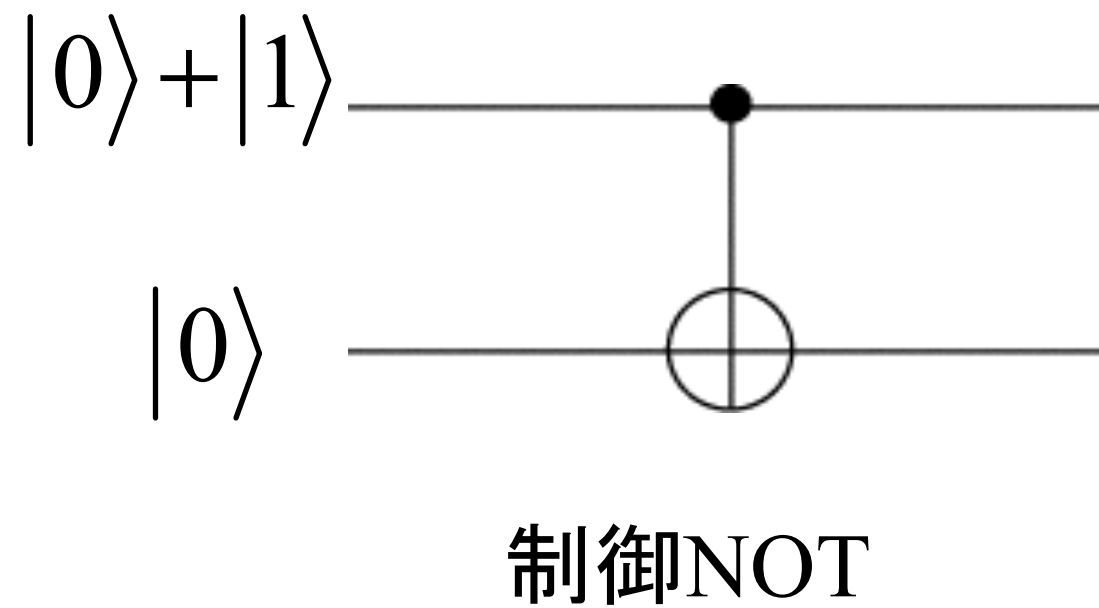
制御制御NOT



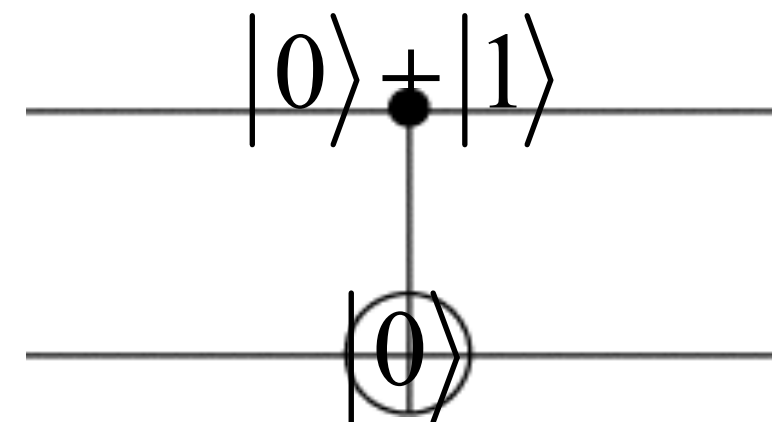
制御NOT



# 量子コンピューターの本質



# 量子コンピューターの本質



制御NOT

# 量子コンピューターの本質



制御NOT

量子もつれ

$$[R_i, P_j] = i\hbar \delta_{ij}$$

$$[\hat{x}, \hat{p}] = i\hbar$$

## 不確定性原理

位置と運動量を同時に決めることはできない

$$[R_i, P_j] = i\hbar \delta_{ij}$$

$$[\hat{x}_A, \hat{p}_A] = i\hbar$$

## 不確定性原理

1つの量子の  
位置と運動量を同時に決めることはできない



$$[R_i, P_j] = i\hbar \delta_{ij}$$

$$[\hat{x}_A, \hat{p}_A] = i\hbar$$

## 不確定性原理

1つの量子の

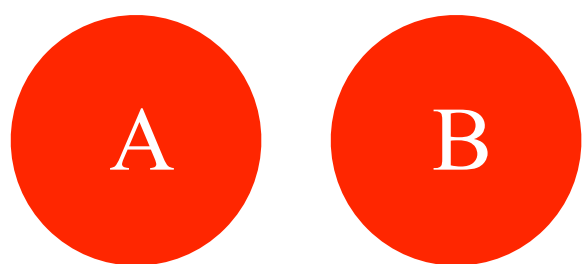
位置と運動量を同時に決めることはできない

1つの量子では1つ物理量を  
決めることができる

$$[R_i, P_j] = i\hbar \delta_{ij}$$

1つの量子では1つ物理量を  
決めることができる

2つの量子では2つ物理量を  
決めることができます



$$[\hat{x}_A, \hat{p}_B] = 0$$

$$[R_i, P_j] = i\hbar \delta_{ij}$$

1つの量子では1つ物理量を  
決めることができます

2つの量子では2つ物理量を  
決めることができます

$$[\hat{x}_A - \hat{x}_B, \hat{p}_A + \hat{p}_B] = [\hat{x}_A, \hat{p}_A] - [\hat{x}_B, \hat{p}_B] = 0$$

2つの量子では相対位置と運動量の和を  
同時に決めることができます

$$[R_i, P_j] = i\hbar \delta_{ij}$$

2つの量子では2つ物理量を  
決めることができ

$$[\hat{x}_A - \hat{x}_B, \hat{p}_A + \hat{p}_B] = [\hat{x}_A, \hat{p}_A] - [\hat{x}_B, \hat{p}_B] = 0$$

2つの量子では相対位置と運動量の和を  
同時に決めることができ

$$\left. \begin{array}{l} \hat{x}_A - \hat{x}_B \\ \hat{p}_A + \hat{p}_B \end{array} \right\} \text{の同時固有状態} \quad \text{固有値}=0$$

$$\int_{-\infty}^{\infty} dx |x\rangle_A |x\rangle_B = \int_{-\infty}^{\infty} dp |p\rangle_A |-p\rangle_B$$

量子もつれ状態 = EPR状態

2つの量子では相対位置と運動量の和を  
同時に決めることができる

$\hat{x}_A - \hat{x}_B$   
 $\hat{p}_A + \hat{p}_B$

} の同時固有状態  
固有値=0

$$\int_{-\infty}^{\infty} dx |x\rangle_A |x\rangle_B = \int_{-\infty}^{\infty} dp |p\rangle_A |-p\rangle_B$$

量子もつれ状態=EPR状態

$$\hat{x}_A - \hat{x}_B \rightarrow 0$$
$$\hat{p}_A + \hat{p}_B \rightarrow 0$$

2つの量子では相対位置と運動量の和を  
同時に決めることができる

シュレーディンガー描像

$$\left. \begin{array}{l} \hat{x}_A - \hat{x}_B \\ \hat{p}_A + \hat{p}_B \end{array} \right\}$$
 の同時固有状態  
固有値=0

$$\int_{-\infty}^{\infty} dx |x\rangle_A |x\rangle_B = \int_{-\infty}^{\infty} dp |p\rangle_A |-p\rangle_B$$

量子もつれ状態=EPR状態

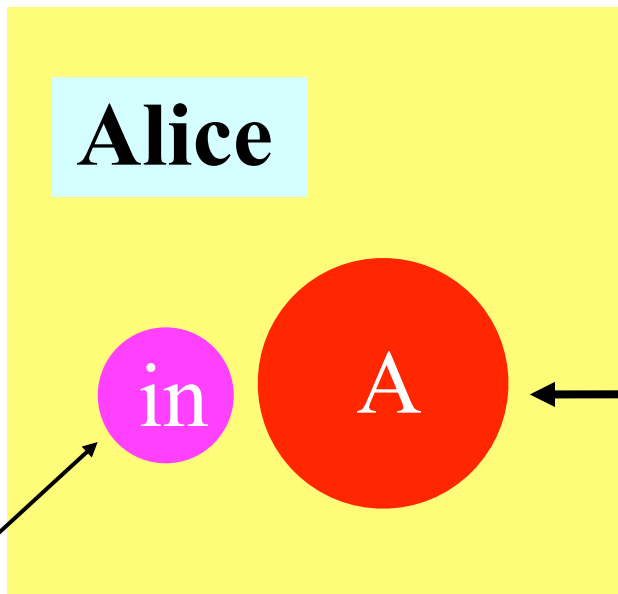
ハイゼンベルグ描像

$$\begin{aligned} \hat{x}_A - \hat{x}_B &\rightarrow 0 \\ \hat{p}_A + \hat{p}_B &\rightarrow 0 \end{aligned}$$

# 量子テレポーテーション

$$(\hat{x}_{\text{in}}, \hat{p}_{\text{in}})$$

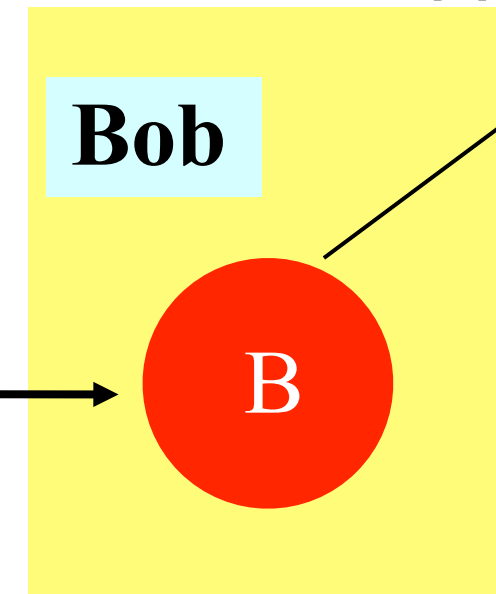
位置と運動量  
の同時測定



Victor

測定結果

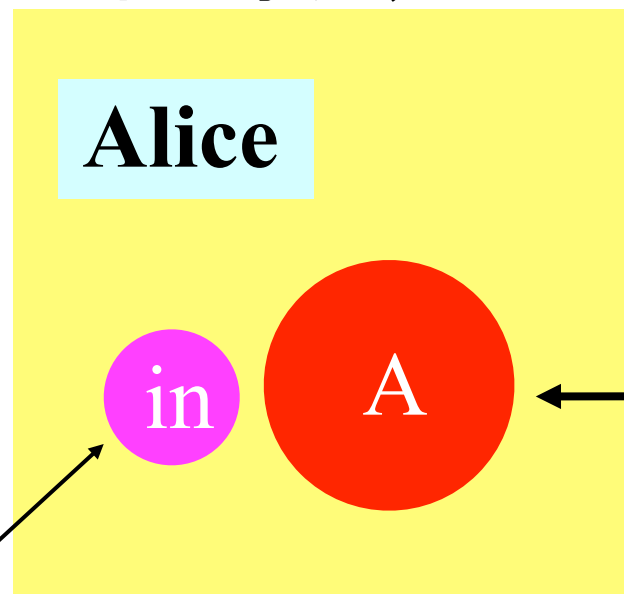
測定結果に  
基づいて操作



$$\begin{aligned} [\hat{x}_{\text{in}}, \hat{p}_{\text{in}}] &= i\hbar \\ [\hat{x}_A, \hat{p}_A] &= i\hbar \\ [\hat{x}_B, \hat{p}_B] &= i\hbar \end{aligned}$$

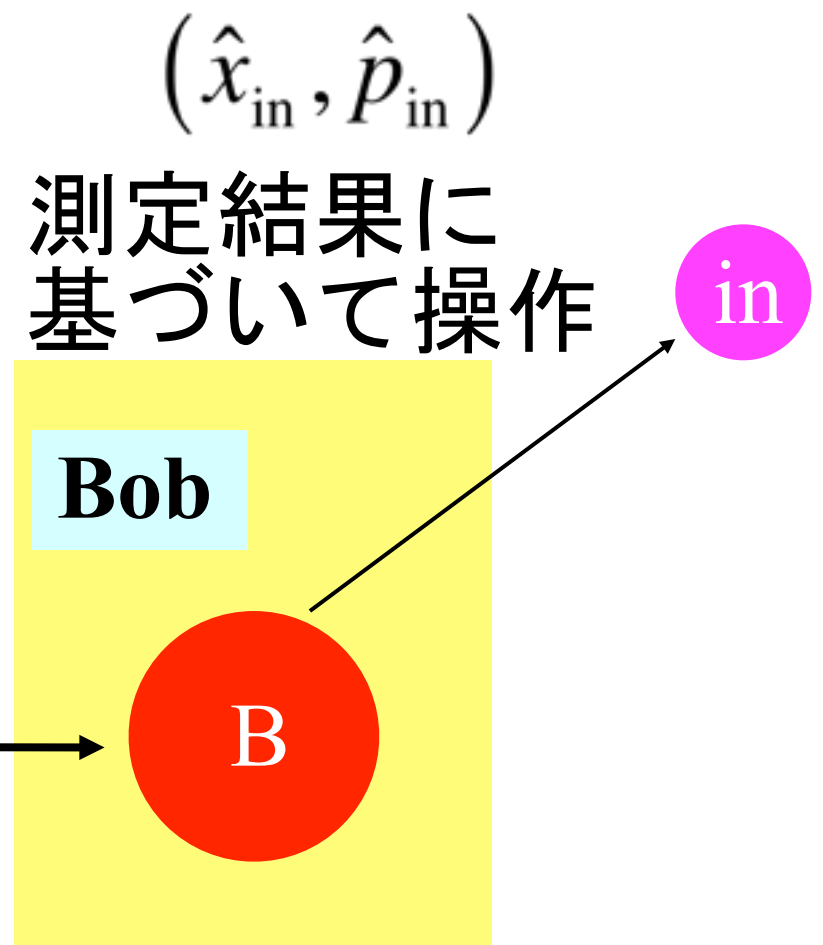
# 量子テレポーテーション

位置と運動量  
の同時測定



Victor

測定結果



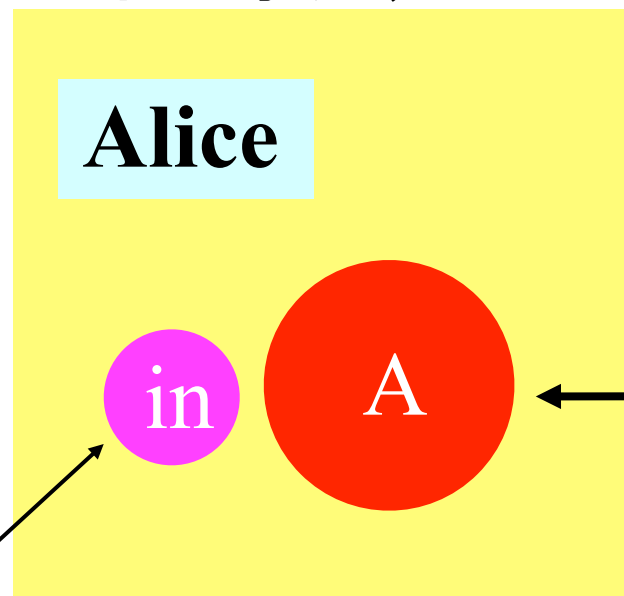
$$(\hat{x}_{\text{in}}, \hat{p}_{\text{in}})$$

測定結果に  
基づいて操作

$$\begin{aligned} [\hat{x}_{\text{in}}, \hat{p}_{\text{in}}] &= i\hbar \\ [\hat{x}_A, \hat{p}_A] &= i\hbar \\ [\hat{x}_B, \hat{p}_B] &= i\hbar \end{aligned}$$

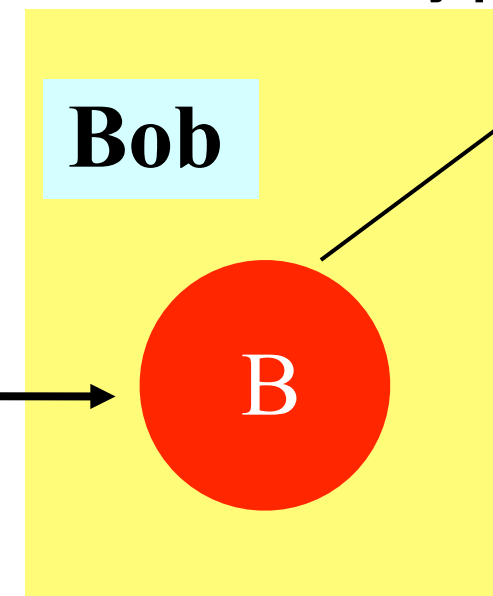
# 量子テレポーテーション

位置と運動量  
の同時測定



$$(\hat{x}_{\text{in}}, \hat{p}_{\text{in}})$$

測定結果に  
基づいて操作



in

Victor

$$\begin{aligned}\hat{x}_A - \hat{x}_B &\rightarrow 0 \\ \hat{p}_A + \hat{p}_B &\rightarrow 0\end{aligned}$$

測定結果

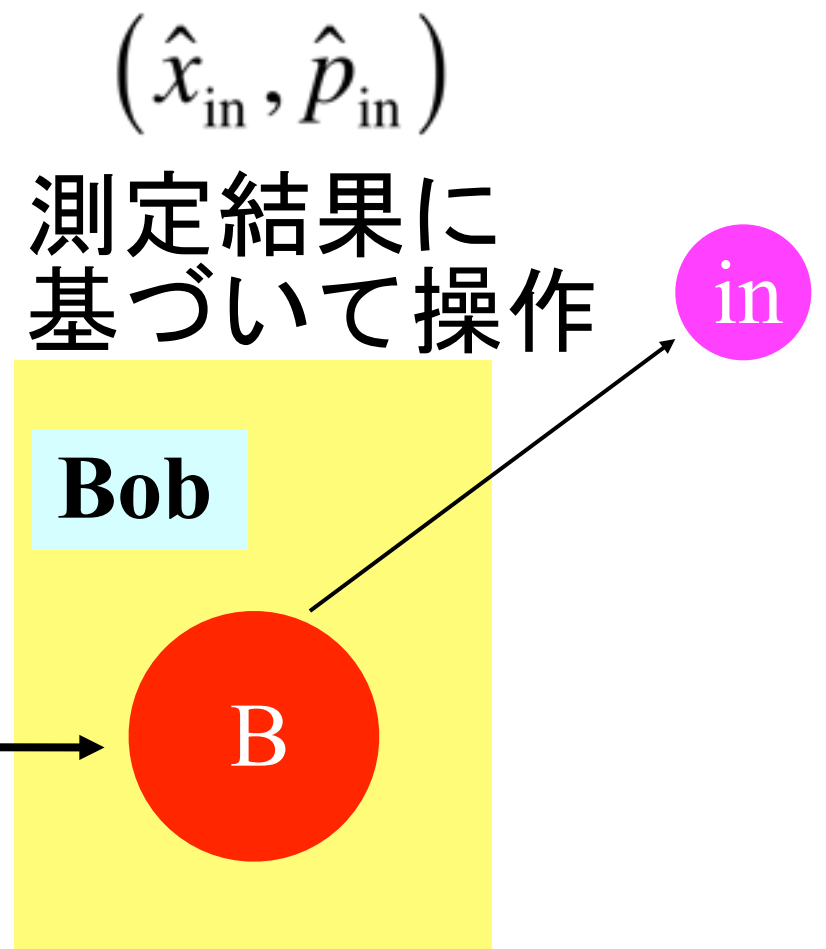
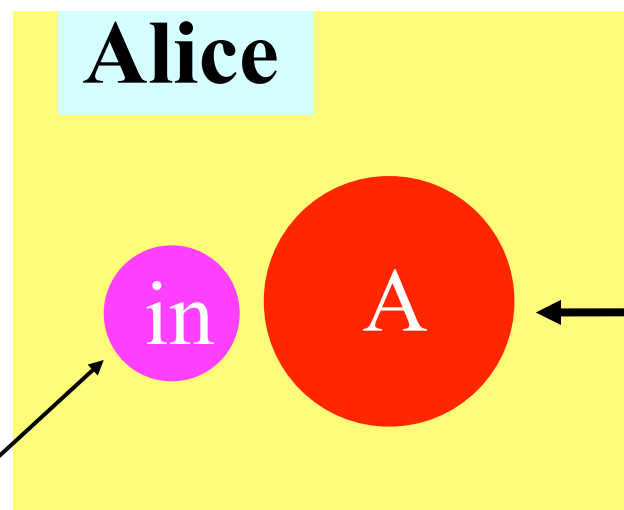
$$\begin{aligned}[\hat{x}_{\text{in}}, \hat{p}_{\text{in}}] &= i\hbar \\ [\hat{x}_A, \hat{p}_A] &= i\hbar \\ [\hat{x}_B, \hat{p}_B] &= i\hbar\end{aligned}$$

$$[\hat{x}_A - \hat{x}_B, \hat{p}_A + \hat{p}_B] = 0$$

# 量子テレポーテーション

$$x_{\text{in}} - x_A = X$$

$$p_{\text{in}} + p_A = P$$



Victor

$$\hat{x}_A - \hat{x}_B \rightarrow 0$$

$$\hat{p}_A + \hat{p}_B \rightarrow 0$$

測定結果

$$[\hat{x}_{\text{in}}, \hat{p}_{\text{in}}] = i\hbar$$

$$[\hat{x}_A, \hat{p}_A] = i\hbar$$

$$[\hat{x}_B, \hat{p}_B] = i\hbar$$

$$[\hat{x}_A - \hat{x}_B, \hat{p}_A + \hat{p}_B] = 0$$

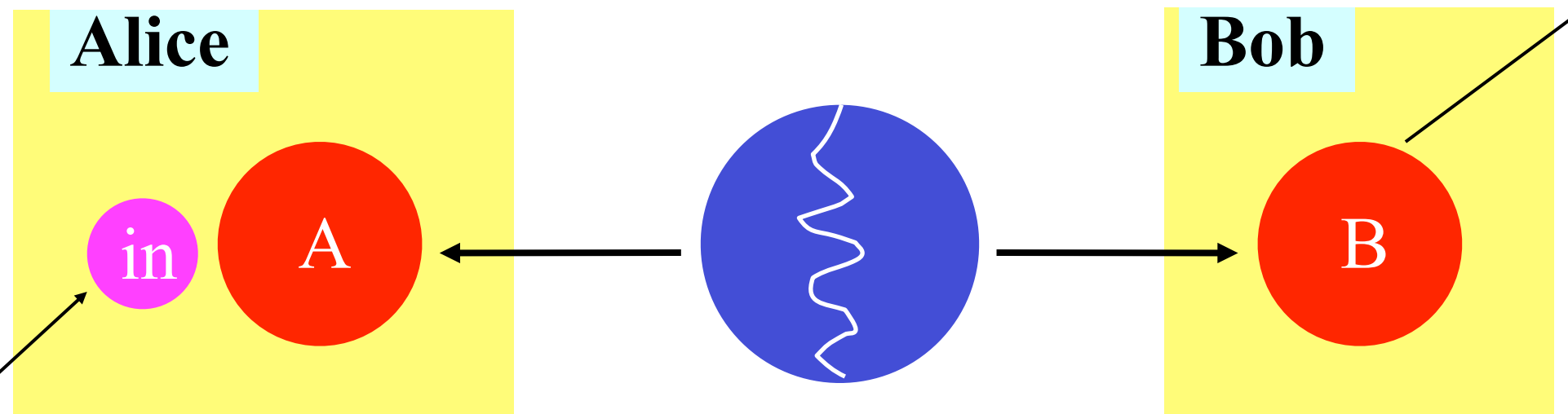
# 量子テレポーテーション

$$x_{\text{in}} - x_A = X$$

$$x_B = x_{\text{in}} - X - (x_A - x_B)$$

$$p_{\text{in}} + p_A = P$$

$$p_B = p_{\text{in}} - P + (p_A + p_B)$$



Victor

$$\hat{x}_A - \hat{x}_B \rightarrow 0$$

$$\hat{p}_A + \hat{p}_B \rightarrow 0$$

測定結果

$$[\hat{x}_{\text{in}}, \hat{p}_{\text{in}}] = i\hbar$$

$$[\hat{x}_A, \hat{p}_A] = i\hbar$$

$$[\hat{x}_B, \hat{p}_B] = i\hbar$$

$$[\hat{x}_A - \hat{x}_B, \hat{p}_A + \hat{p}_B] = 0$$

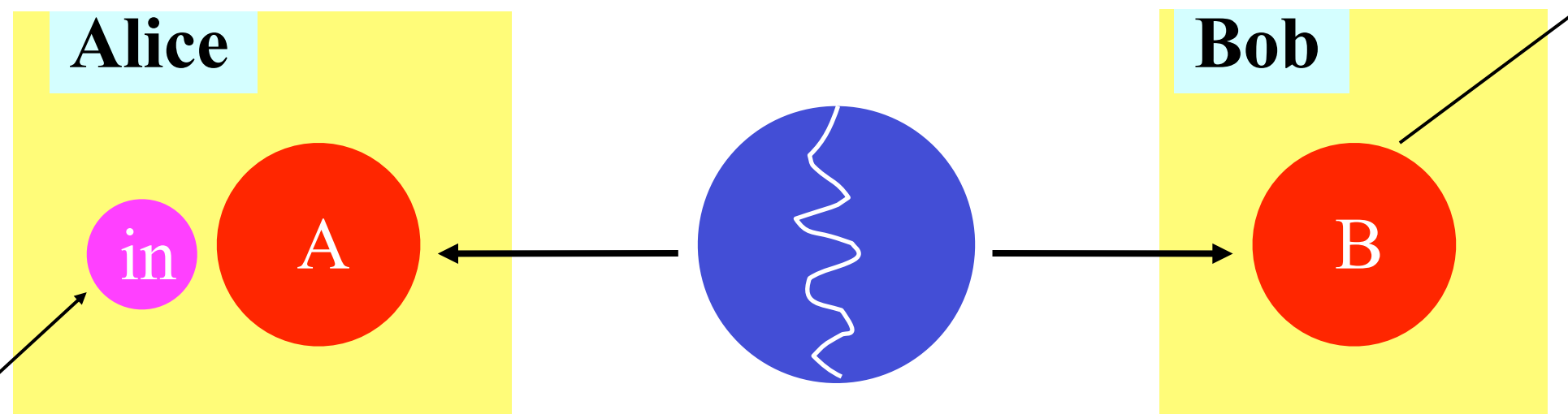
# 量子テレポーテーション

$$x_{\text{in}} - x_A = X$$

$$x_B = x_{\text{in}} - X$$

$$p_{\text{in}} + p_A = P$$

$$p_B = p_{\text{in}} - P$$



Victor

$$\hat{x}_A - \hat{x}_B \rightarrow 0$$

$$\hat{p}_A + \hat{p}_B \rightarrow 0$$

測定結果

$$[\hat{x}_{\text{in}}, \hat{p}_{\text{in}}] = i\hbar$$

$$[\hat{x}_A, \hat{p}_A] = i\hbar$$

$$[\hat{x}_B, \hat{p}_B] = i\hbar$$

$$[\hat{x}_A - \hat{x}_B, \hat{p}_A + \hat{p}_B] = 0$$

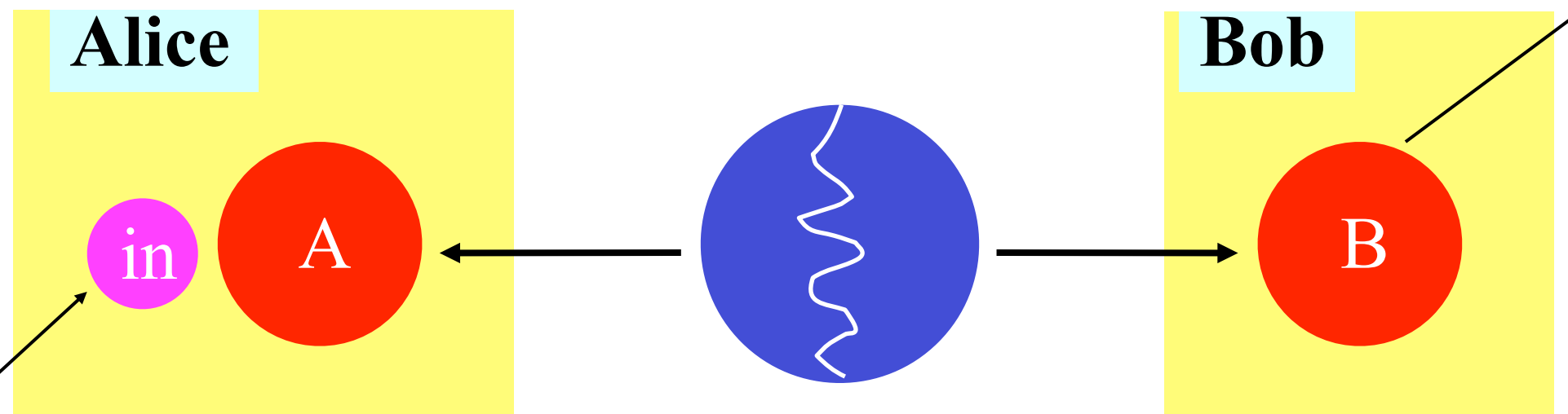
# 量子テレポーテーション

$$x_{\text{in}} - x_A = X$$

$$x_B = x_{\text{in}}$$

$$p_{\text{in}} + p_A = P$$

$$p_B = p_{\text{in}}$$



Victor

$$\hat{x}_A - \hat{x}_B \rightarrow 0$$

$$\hat{p}_A + \hat{p}_B \rightarrow 0$$

測定結果

$$[\hat{x}_{\text{in}}, \hat{p}_{\text{in}}] = i\hbar$$

$$[\hat{x}_A, \hat{p}_A] = i\hbar$$

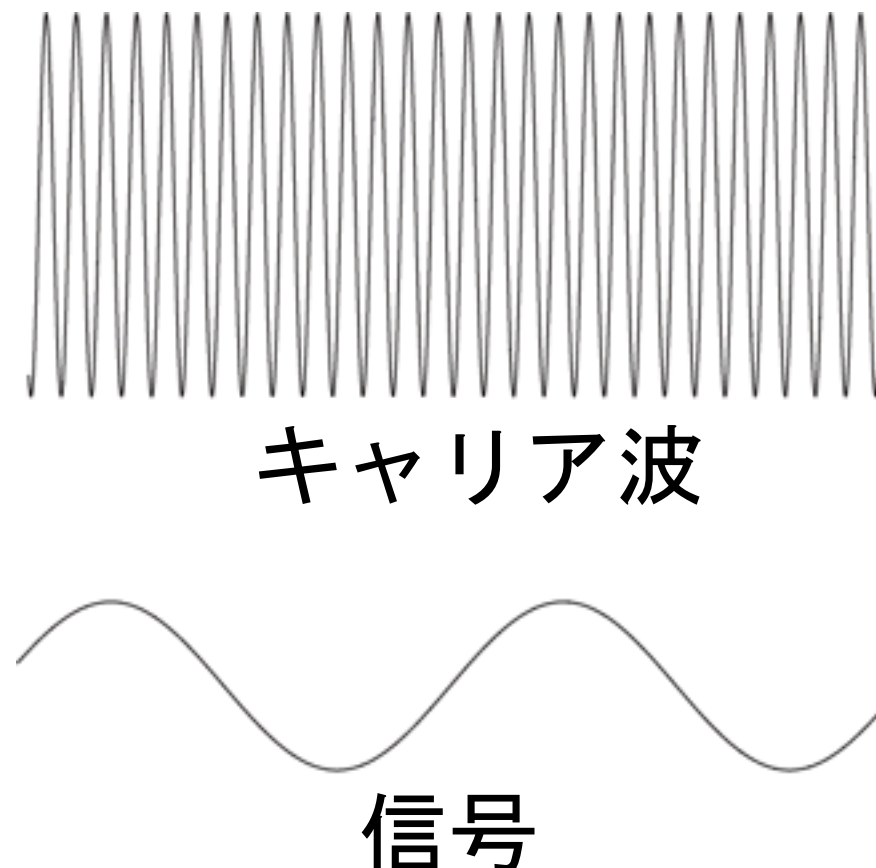
$$[\hat{x}_B, \hat{p}_B] = i\hbar$$

$$[\hat{x}_A - \hat{x}_B, \hat{p}_A + \hat{p}_B] = 0$$

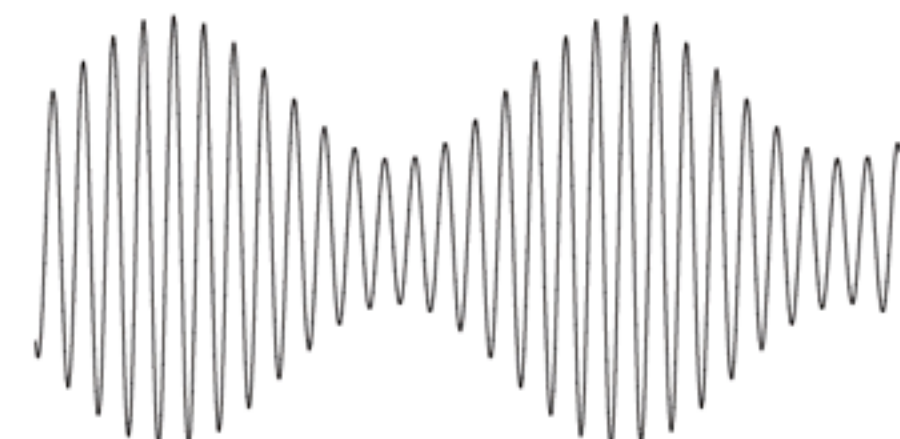
# 量子光学

# AMとFM

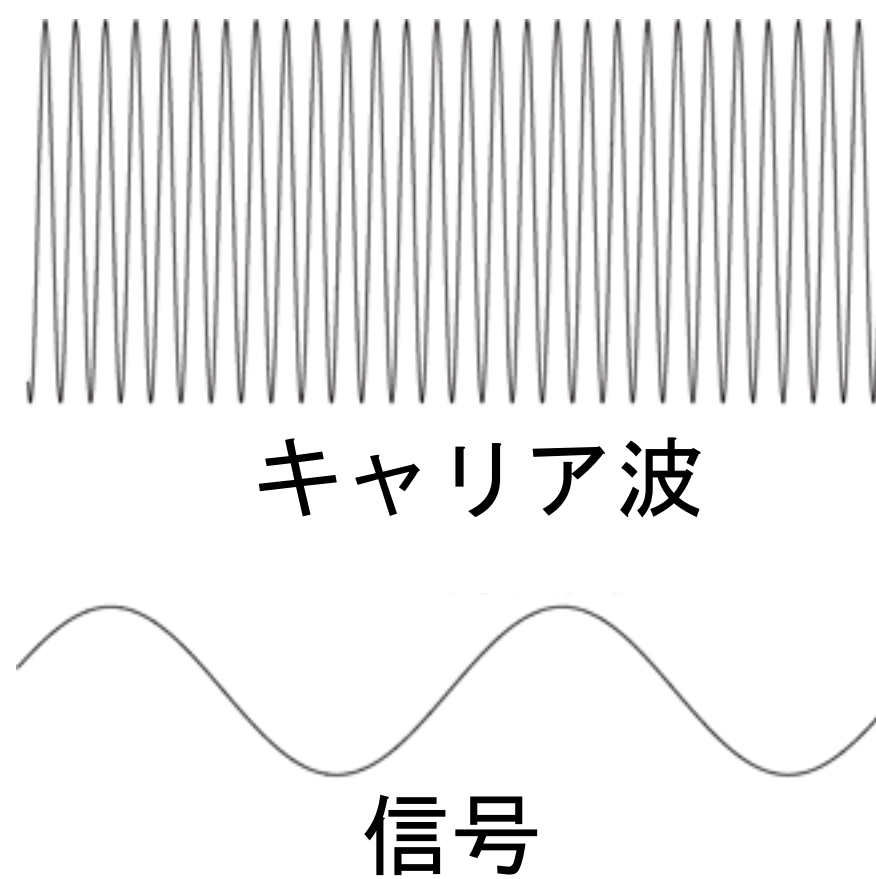
NHK  
(AM)  
594kHz



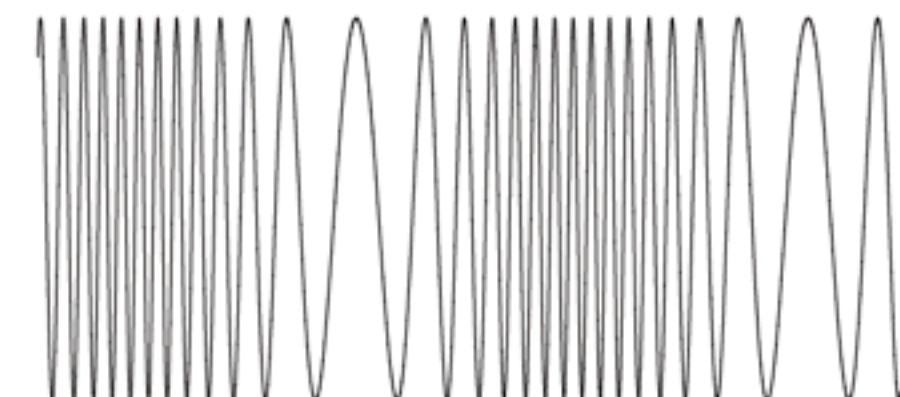
AM変調



J-WAVE  
(FM)  
81.3MHz



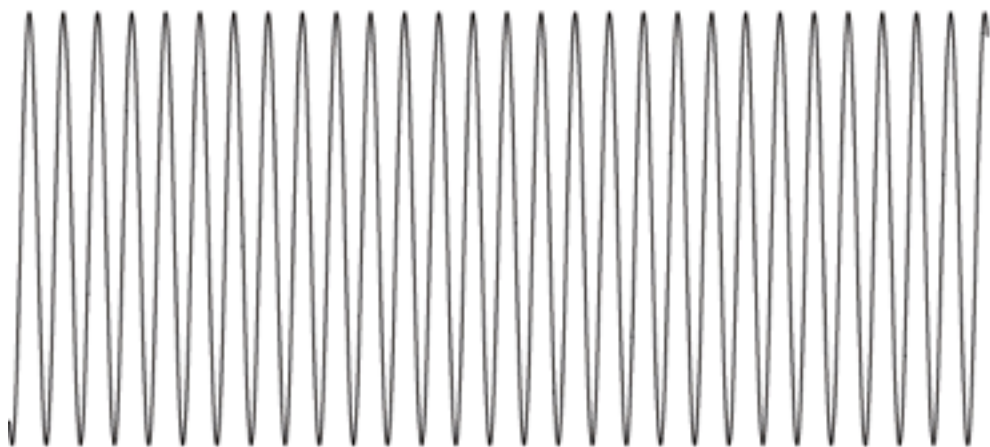
FM変調





ローカルオシレータ (LO)

キャリア波と同じ周波数



L0の位相を変えることで  
AMもFMも検波できる



ミキサー  
乗算器



受信したキャリア波



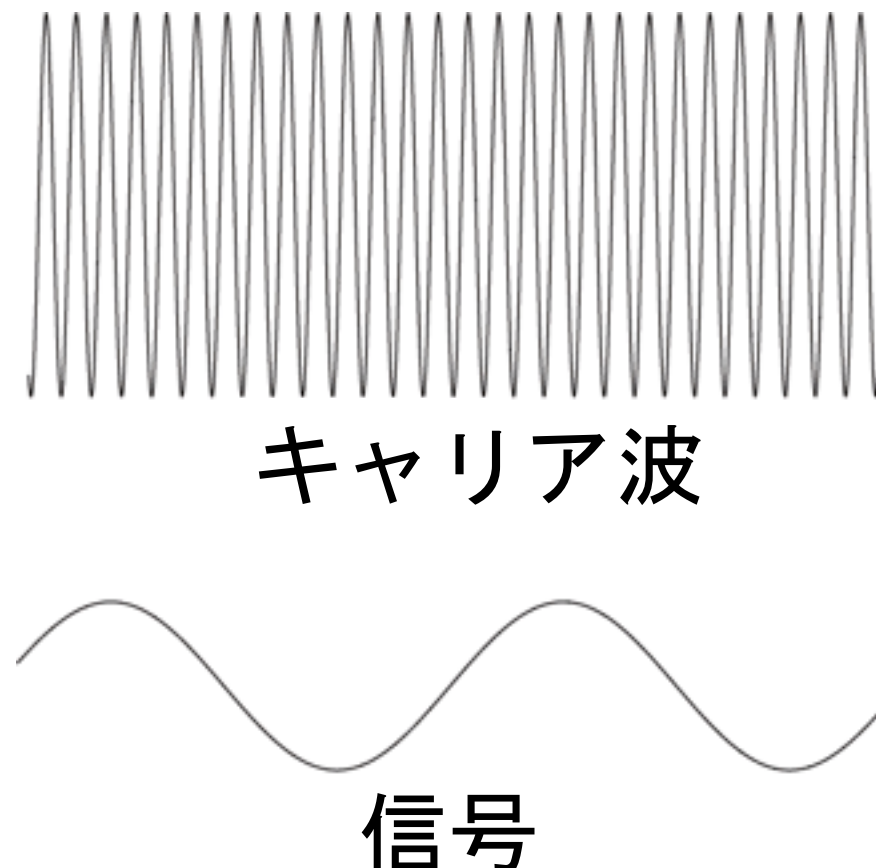
ローパスフィルター



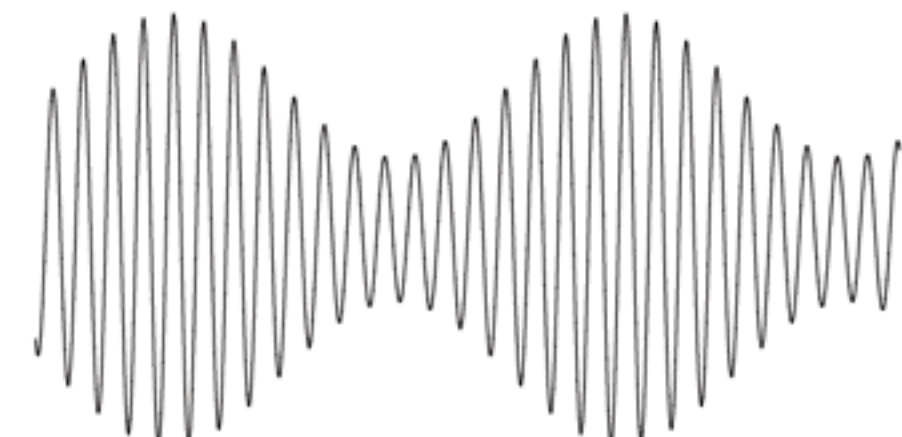
検波された信号

# AMとFM

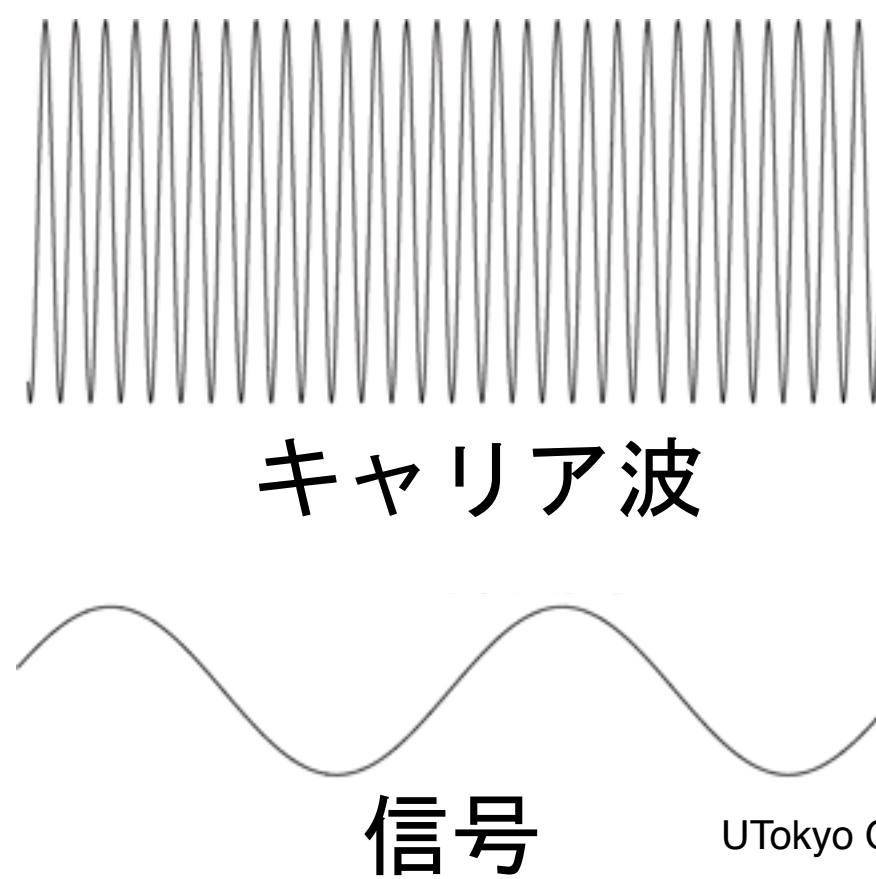
NHK  
(AM)  
594kHz



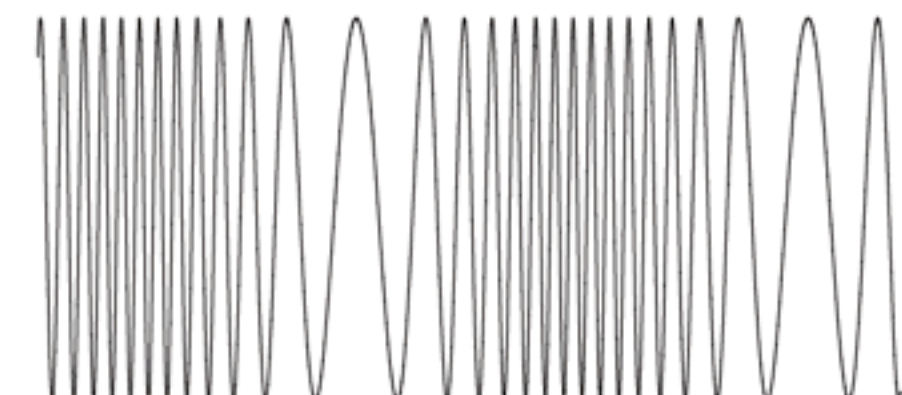
AM変調



J-WAVE  
(FM)  
81.3MHz

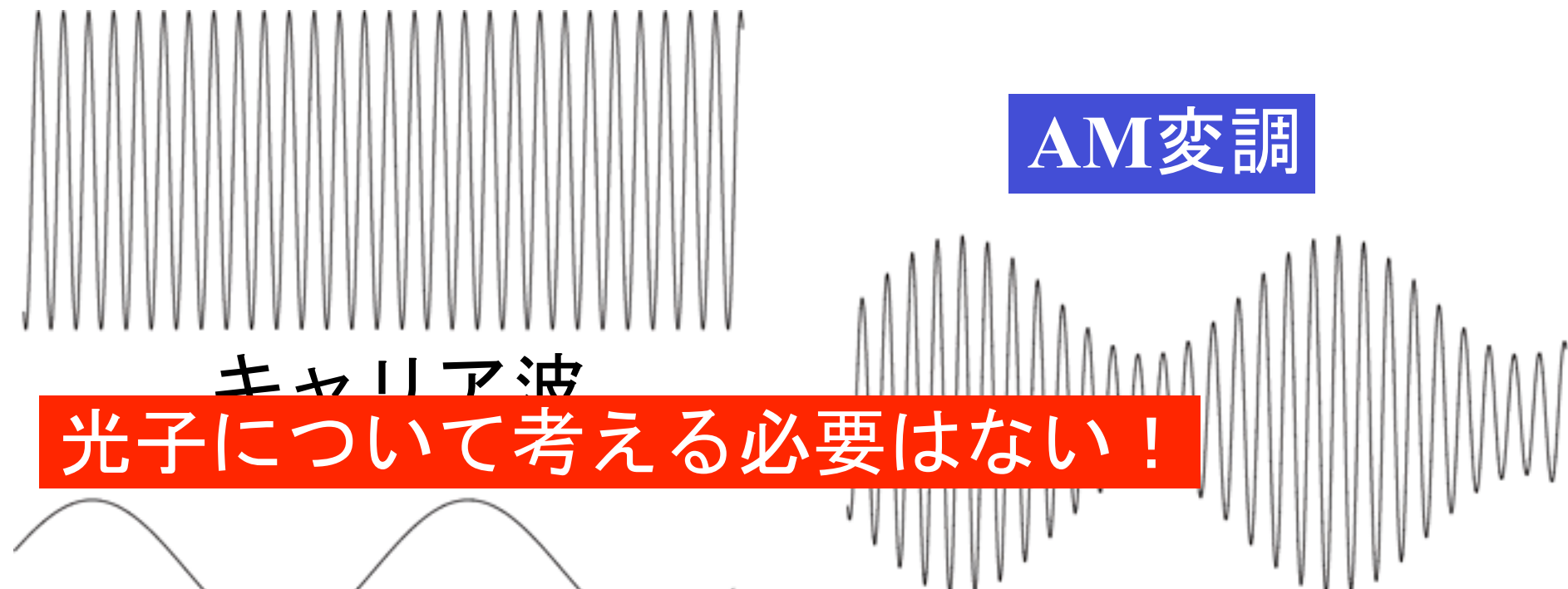


FM変調

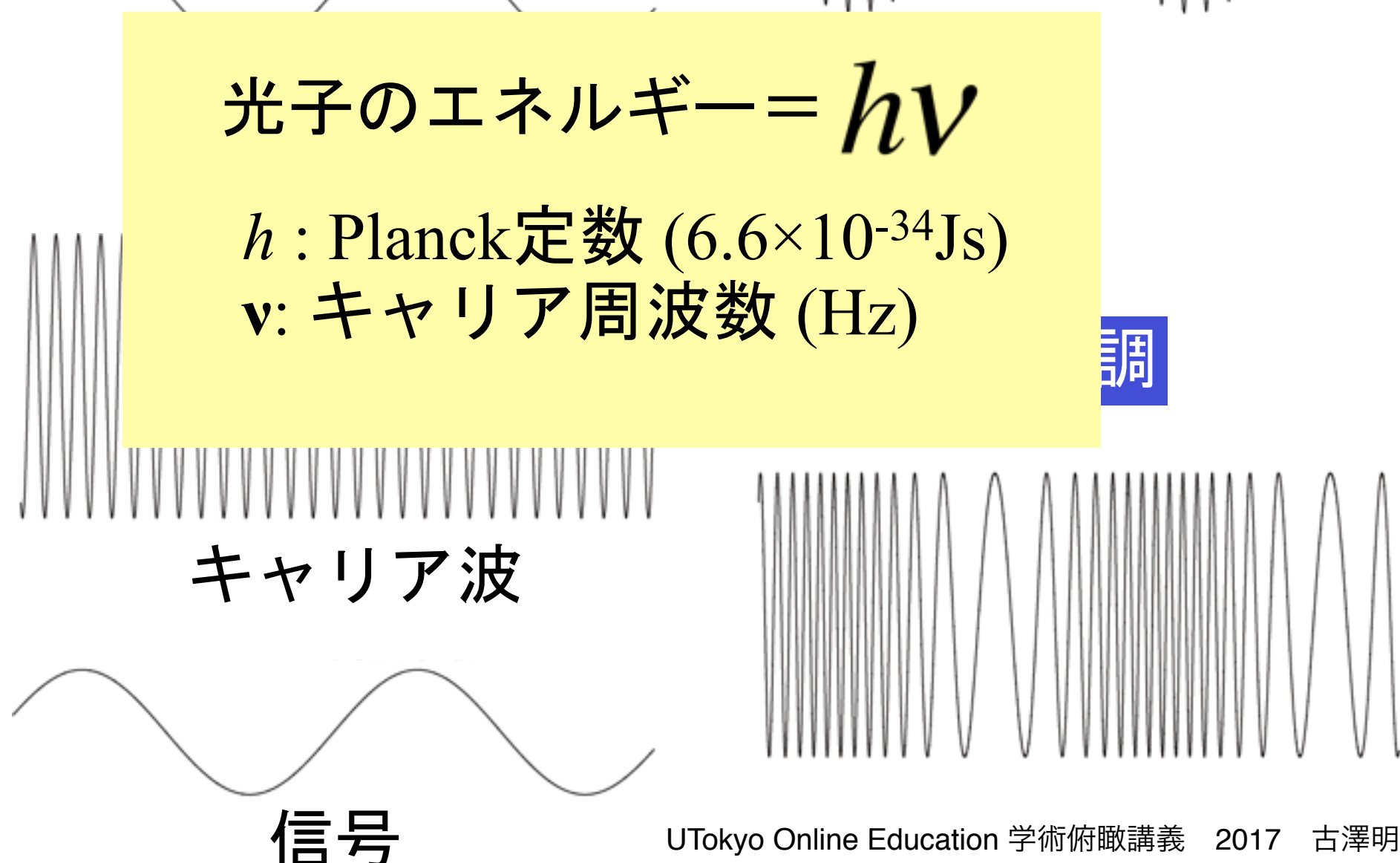


# AMとFM

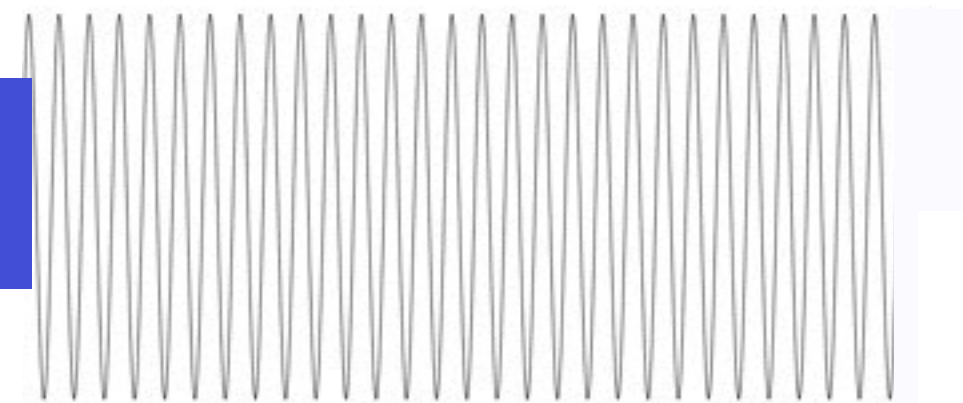
NHK  
(AM)  
594kHz



J-WAVE  
(FM)  
81.3MHz



可視光の周波数  
100THz

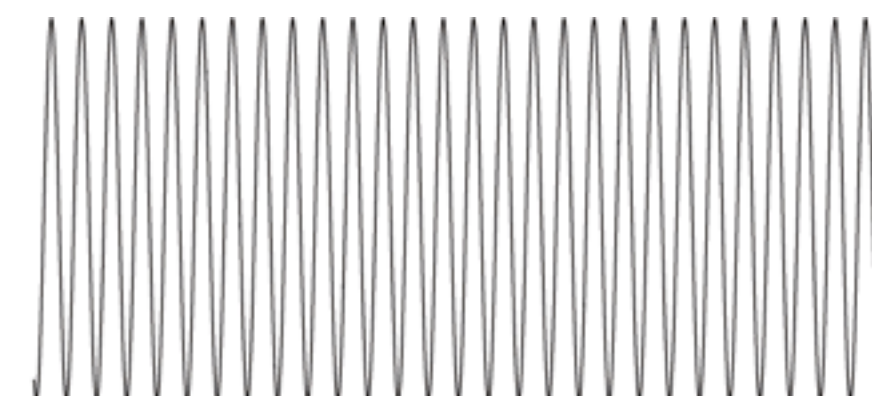
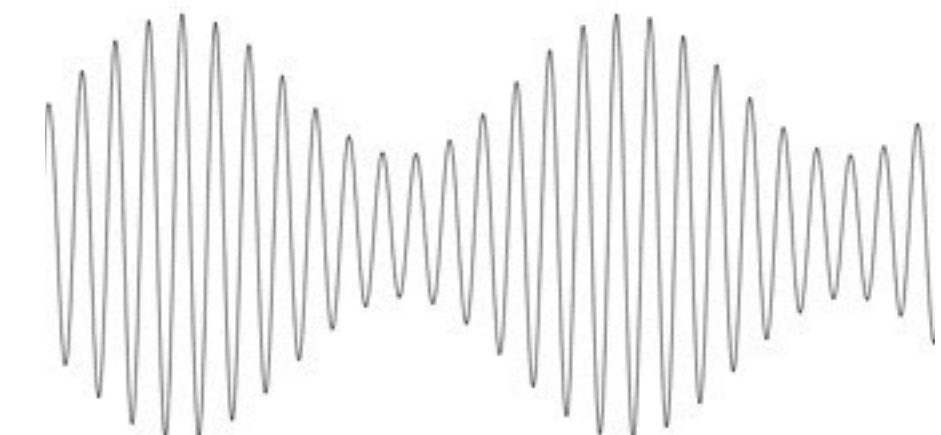


キャリア波



信号

AM変調

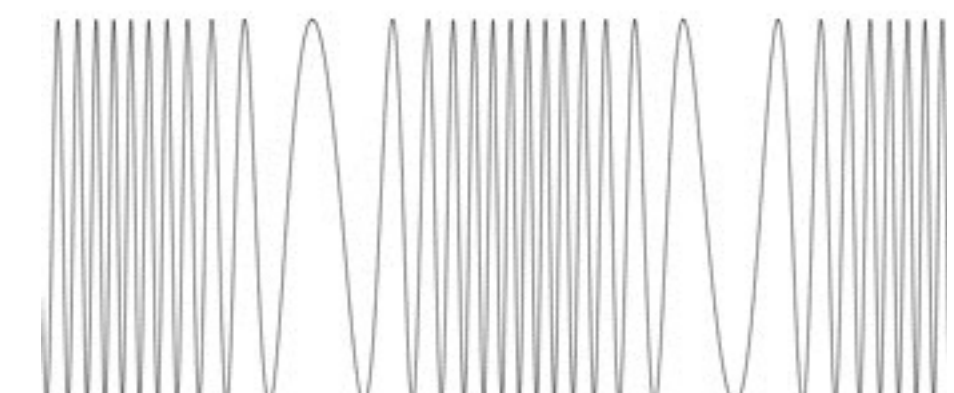


キャリア波



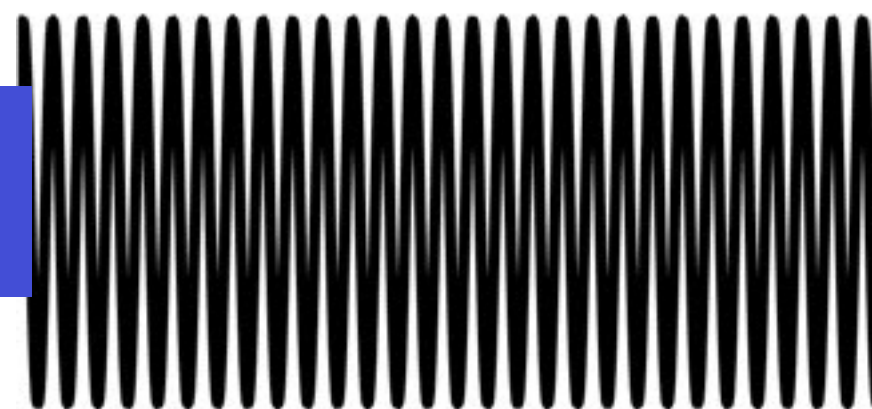
信号

FM変調



# AMとFM

可視光の周波数  
100THz



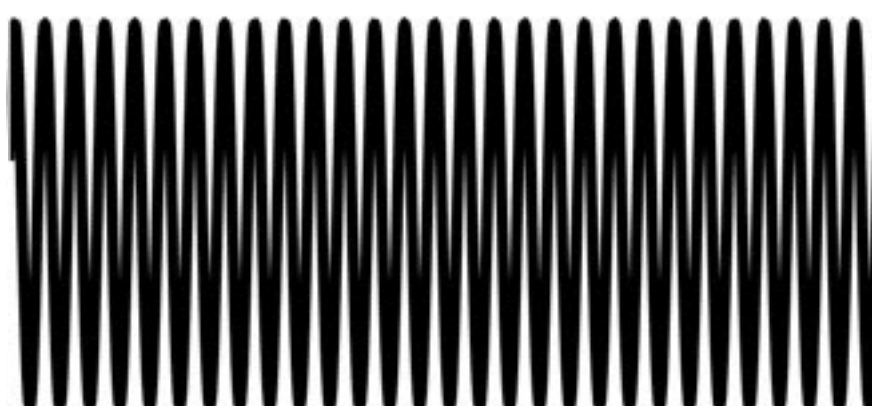
AM変調



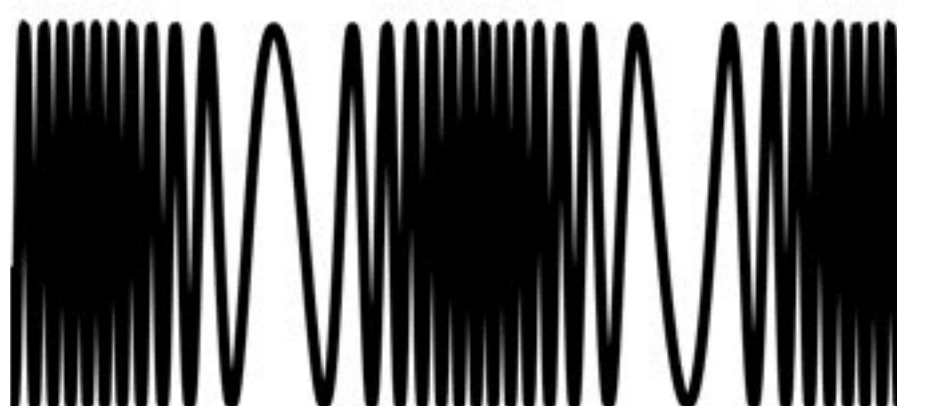
キャリア波

光子について考える必要がある！

信号



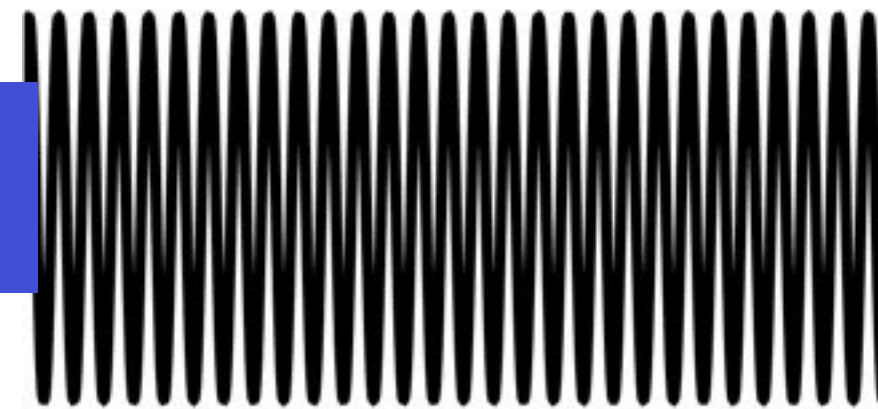
FM変調



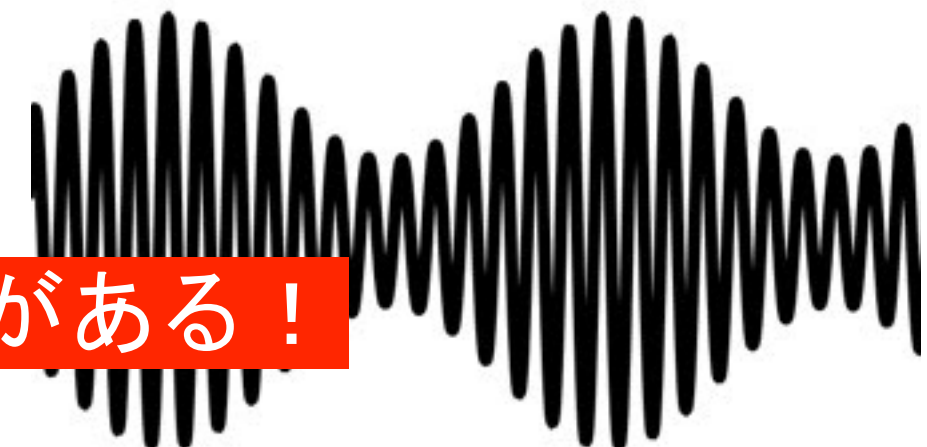
キャリア波

信号

可視光の周波数  
100THz



AM変調



キャリア波

光子について考える必要がある！

AM信号とFM信号が共役物理量になる！

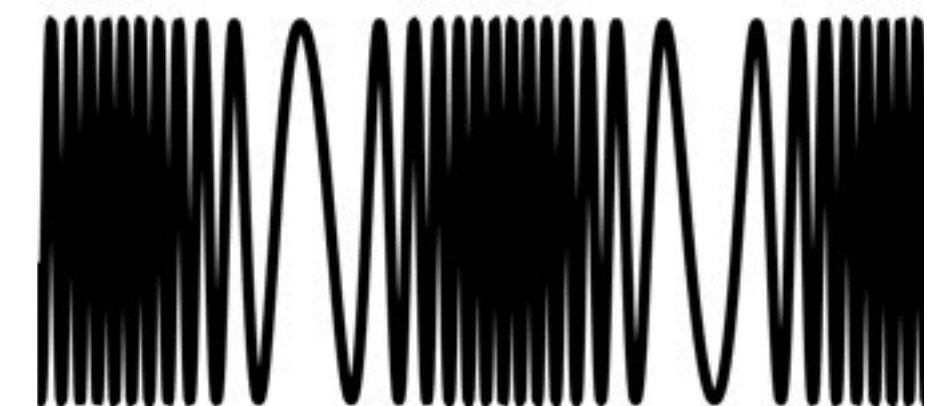


FM変調

光子なし  $|0\rangle$   
光子あり  $|1\rangle$

信号

$$[\hat{x}, \hat{p}] = i\hbar$$



# 量子光学

消滅演算子  $\hat{a}$

$$[\hat{a}, \hat{a}^\dagger] = 1 \quad \left( \hbar = \frac{1}{2} \right)$$

光電場の複素振幅

$$\hat{a} = \hat{x} + i\hat{p}$$

Photon-number units

$\hat{x}$  : cosine component

$\hat{p}$  : sine component

$$[\hat{x}, \hat{p}] = i\hbar \quad \longleftrightarrow \quad [\hat{x}, \hat{p}] = \frac{i}{2}$$

$\hat{x}$ : 位置

$\hat{p}$ : 運動量

共役物理量

# 量子光学

消滅演算子  $\hat{a}$

$$[\hat{a}, \hat{a}^\dagger] = 1 \quad \left( \hbar = \frac{1}{2} \right)$$

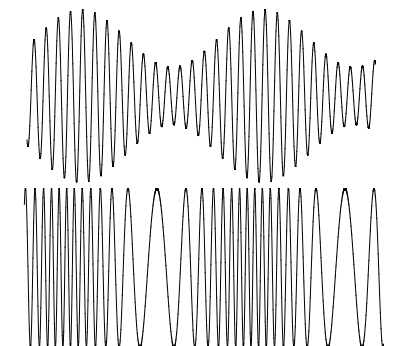
光電場の複素振幅

$$\hat{a} = \hat{x} + i\hat{p}$$

Photon-number units

$\hat{x}$  : AM signal

$\hat{p}$  : FM signal



$$[\hat{x}, \hat{p}] = i\hbar$$



$$[\hat{x}, \hat{p}] = \frac{i}{2}$$

$\hat{x}$ : 位置  
 $\hat{p}$ : 運動量

共役物理量

# 量子光学 =光の周波数でのラジオの話

消滅演算子  $\hat{a}$

$$[\hat{a}, \hat{a}^\dagger] = 1 \quad \left( \hbar = \frac{1}{2} \right)$$

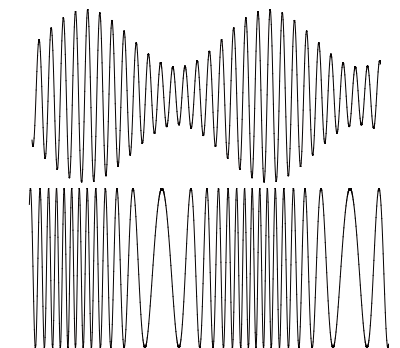
光電場の複素振幅

$$\hat{a} = \hat{x} + i\hat{p}$$

光子なし  $|0\rangle$   
光子あり  $|1\rangle$

$\hat{x}$ : AM signal

$\hat{p}$ : FM signal



$$[\hat{x}, \hat{p}] = i\hbar$$

$$[\hat{x}, \hat{p}] = \frac{i}{2}$$

$\hat{x}$ : 位置

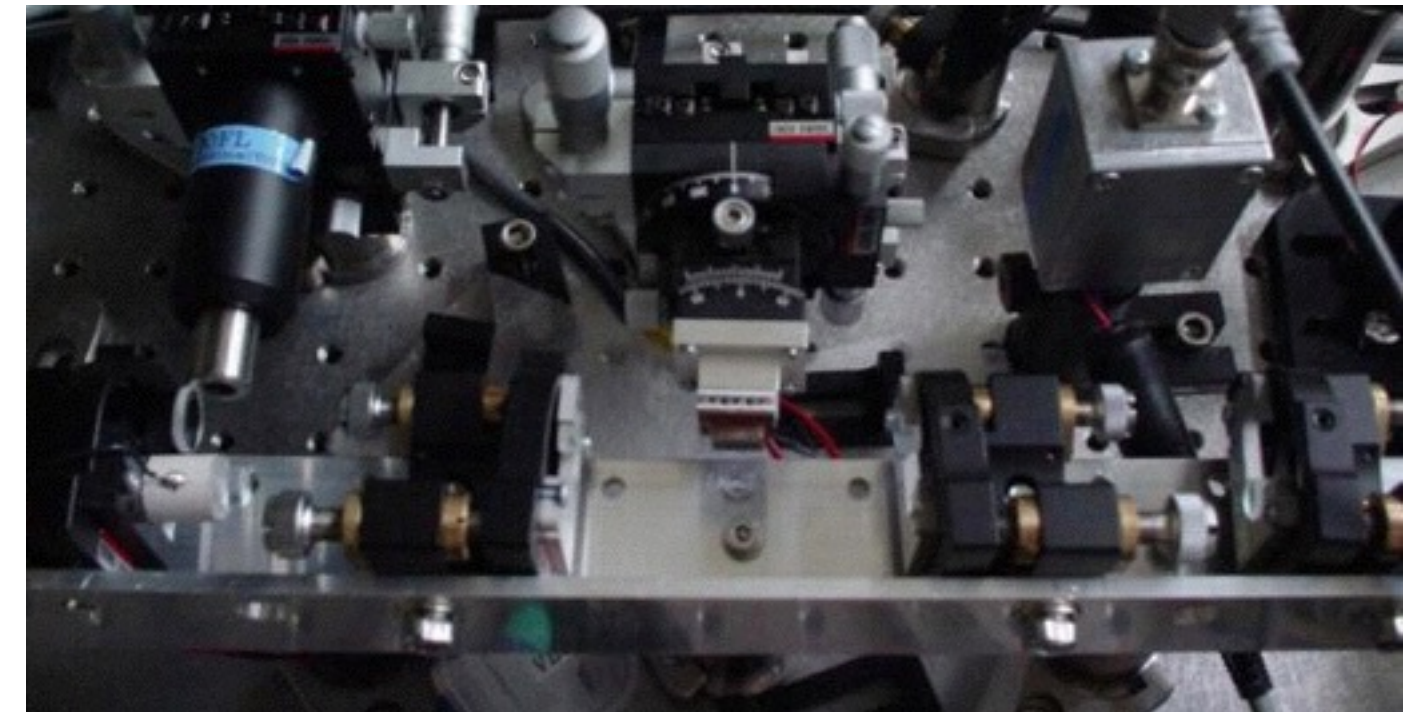
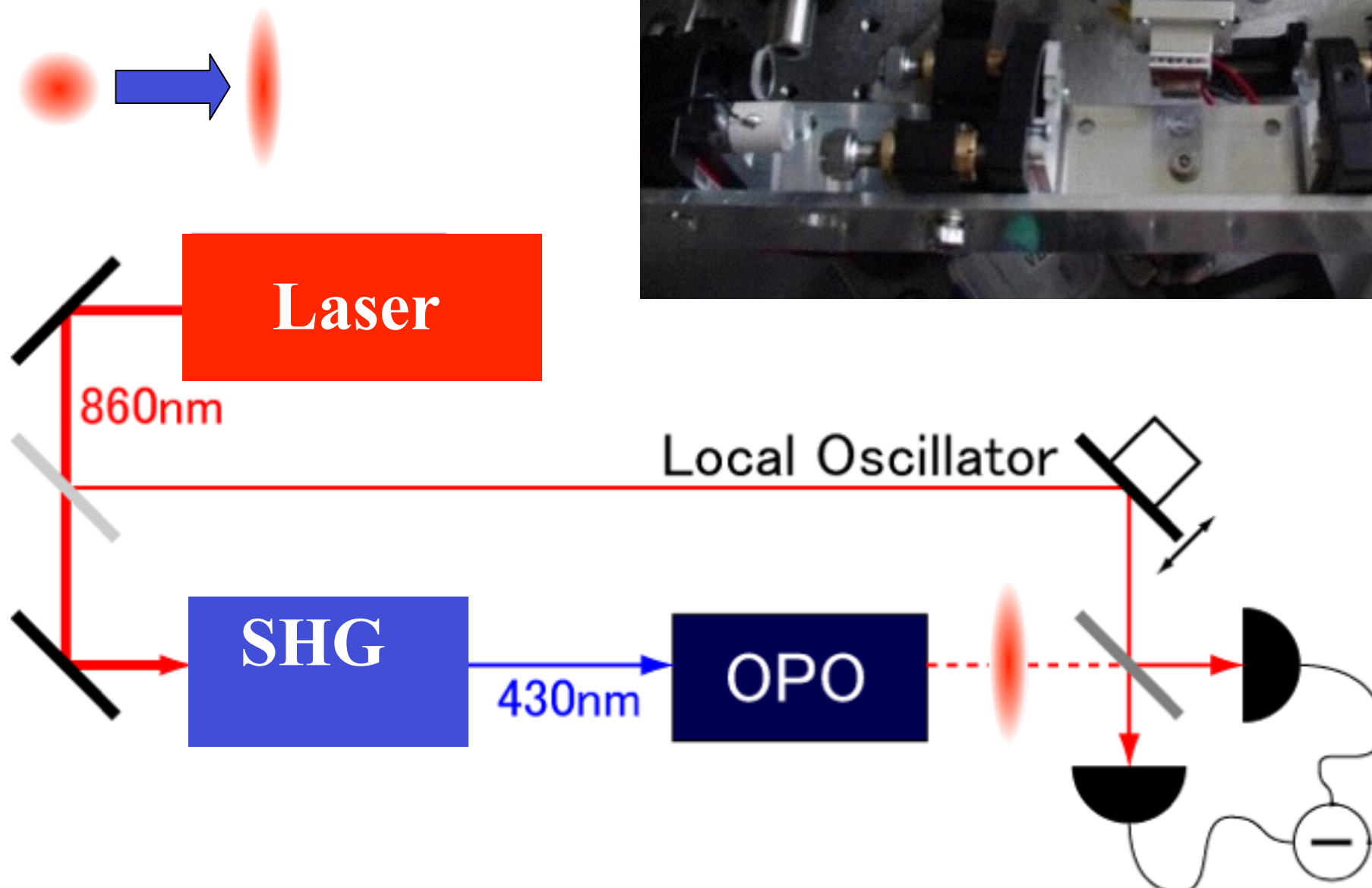
$\hat{p}$ : 運動量

共役物理量

# 量子光学で量子もつれをつくる

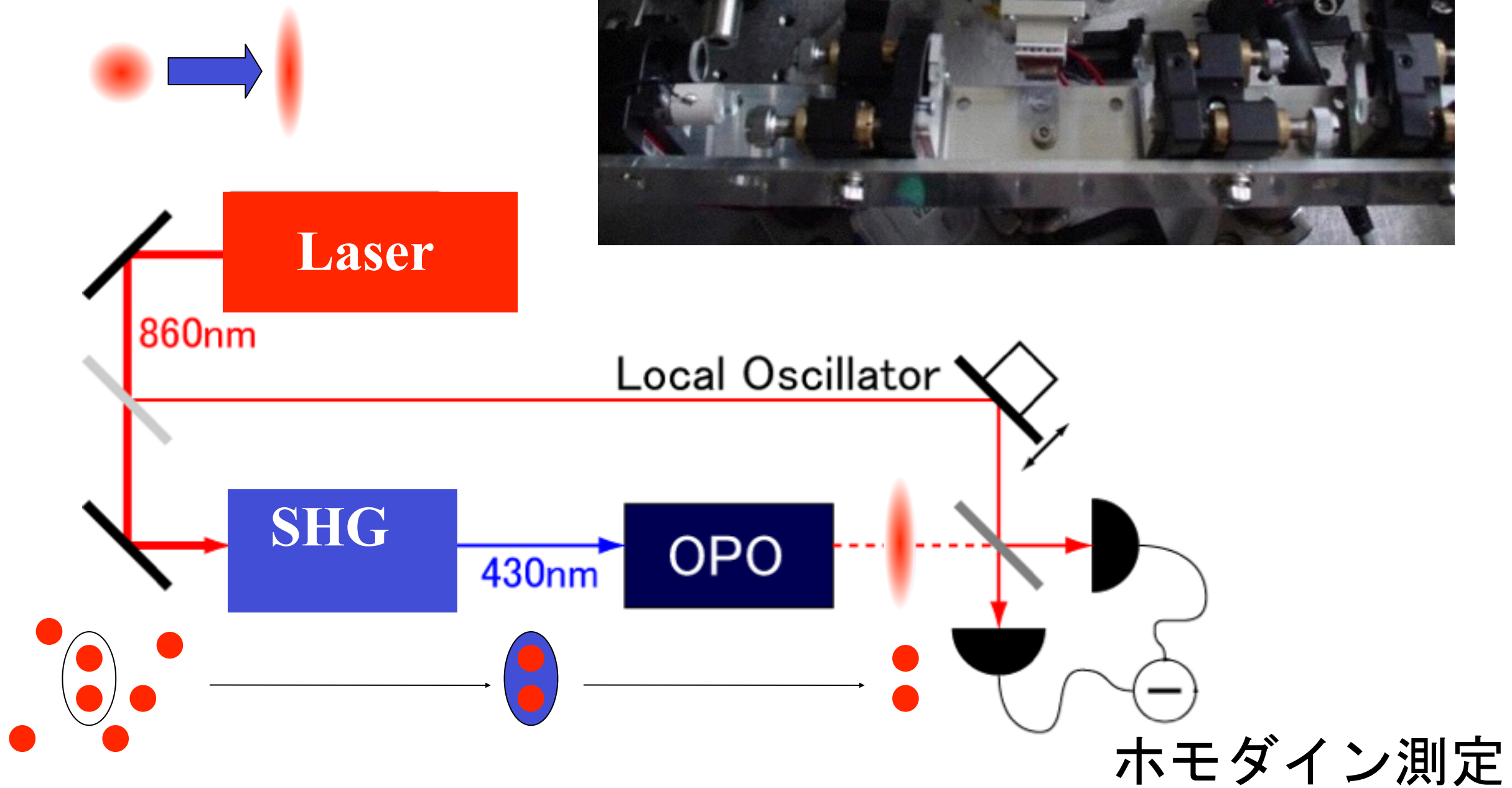
# 光パラメトリック発振器 (OPO)

スクイーズド光の発生



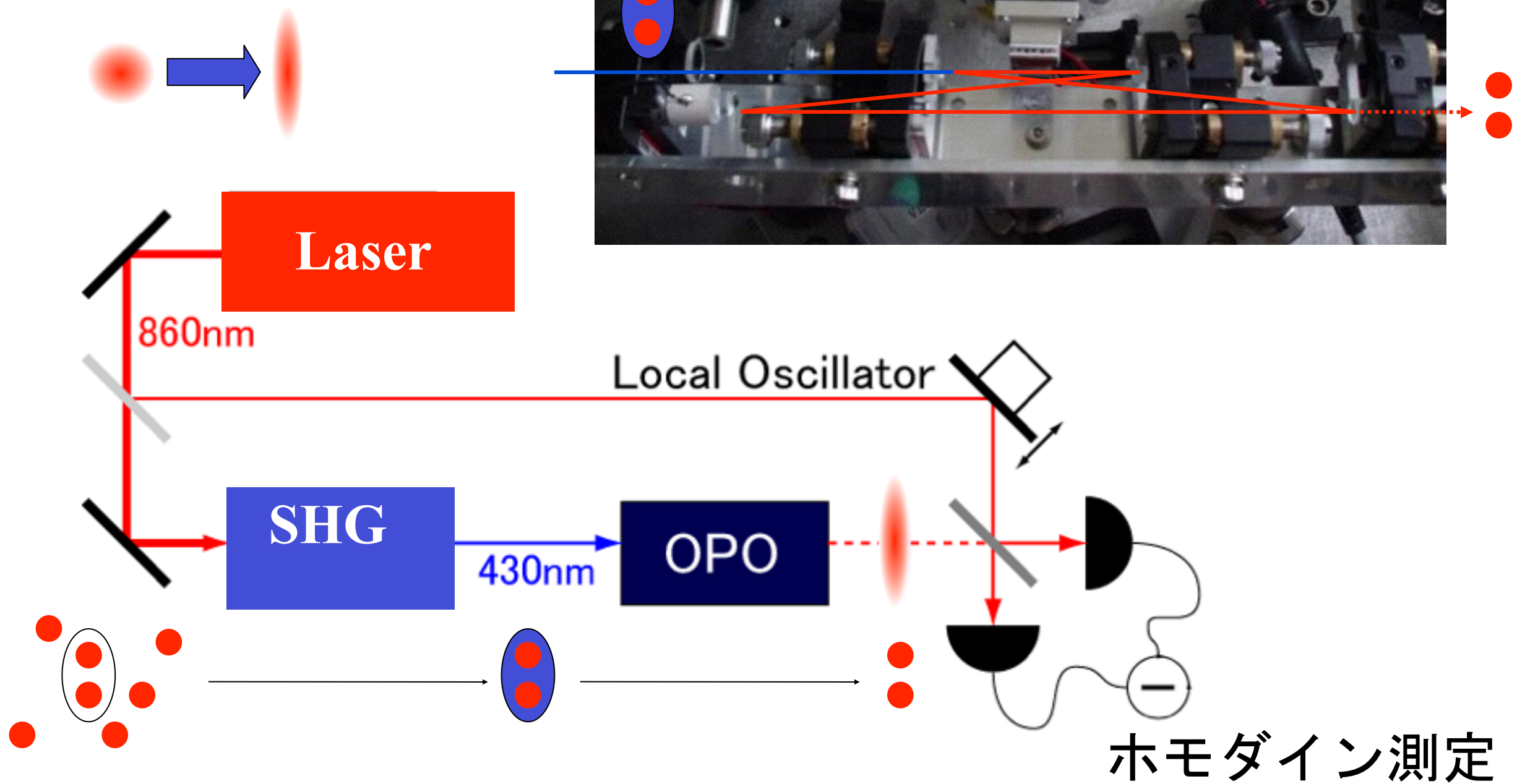
# 光パラメトリック発振器 (OPO)

スカイーズド光の発生



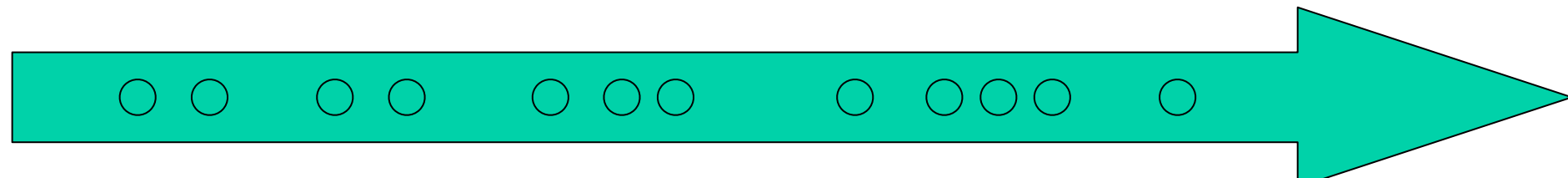
# 光パラメトリック発振器 (OPO)

スクイーズド光の発生



AM signal =  $\hat{x}$ FM signal =  $\hat{p}$ 

## 量子もつれ状態にある光ビーム



$$\int_{-\infty}^{\infty} dx |x\rangle_A |x\rangle_B$$

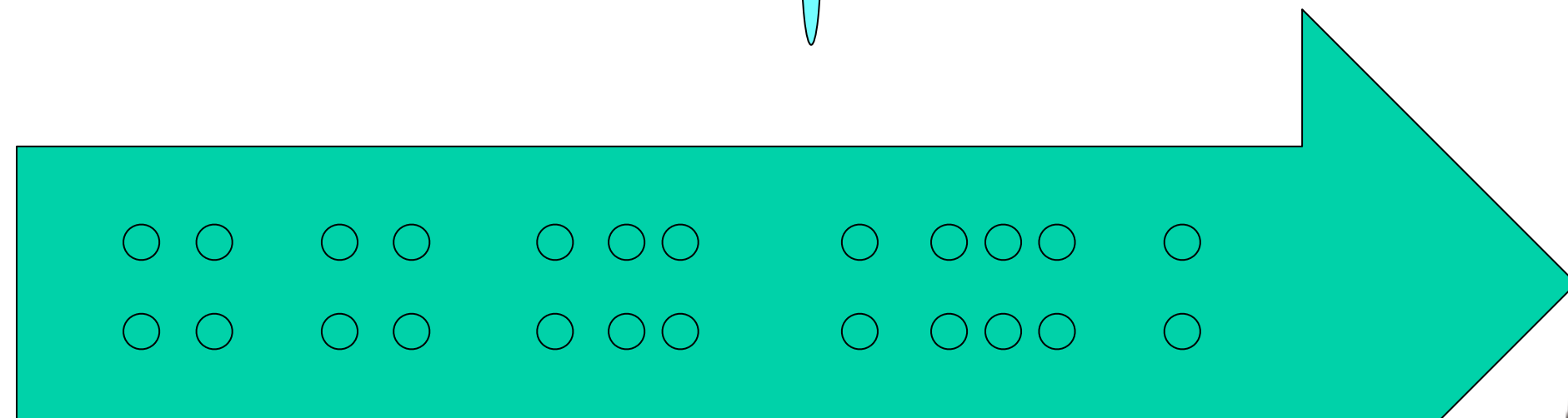
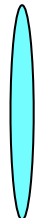
$$= \int_{-\infty}^{\infty} dp |p\rangle_A |-p\rangle_B$$

$$= \sum_{n=0}^{\infty} |n\rangle_A |n\rangle_B$$

$$\hat{x}_A - \hat{x}_B \rightarrow 0$$

$$\hat{p}_A + \hat{p}_B \rightarrow 0$$

スクイーズド光

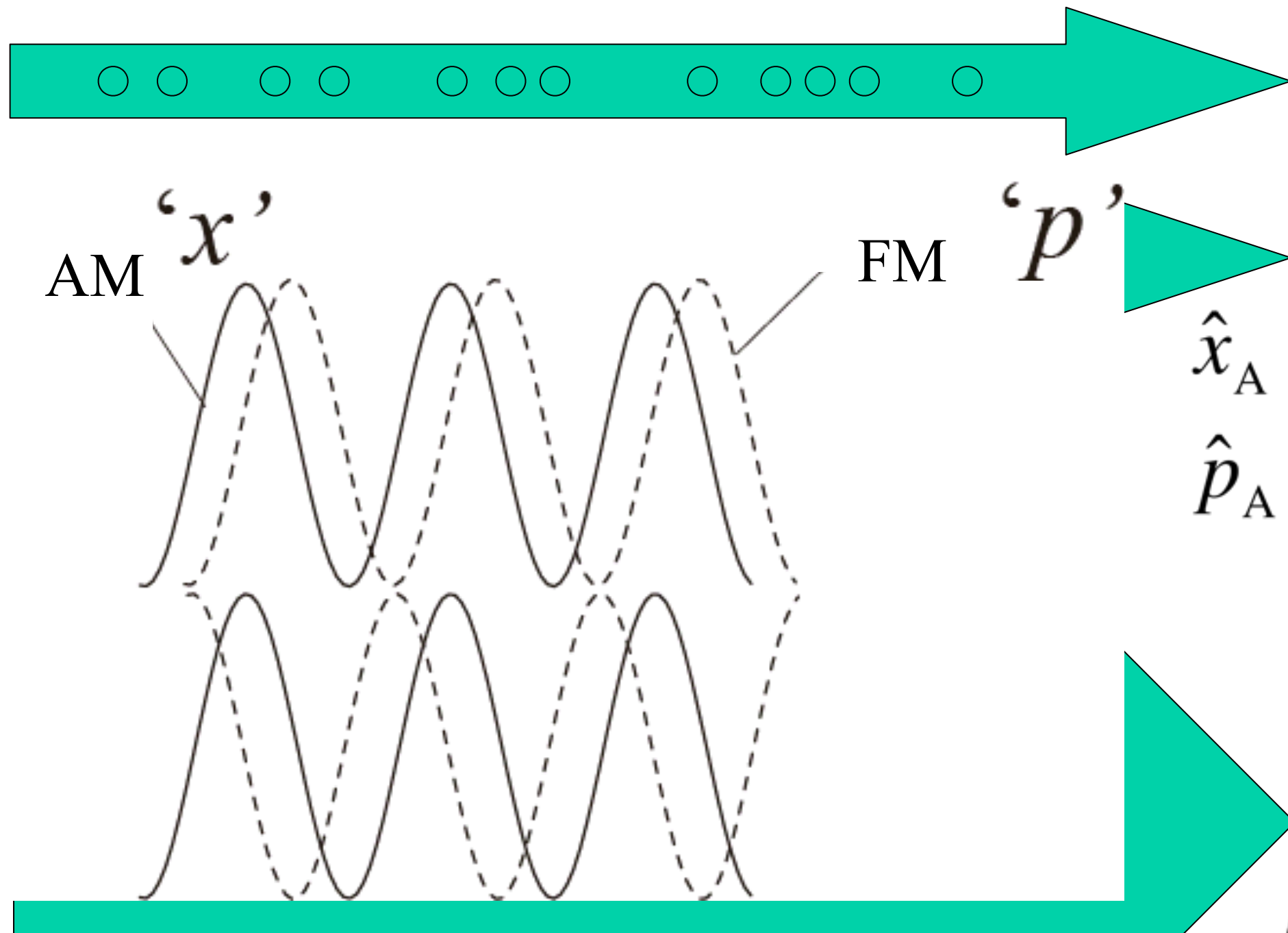


波動像



AM signal =  $\hat{x}$ FM signal =  $\hat{p}$ 

## 量子もつれ状態にある光ビーム



$$\int_{-\infty}^{\infty} dx |x\rangle_A |x\rangle_B$$

$$= \int_{-\infty}^{\infty} dp |p\rangle_A |-p\rangle_B$$

$$= \sum_{n=0}^{\infty} |n\rangle_A |n\rangle_B$$

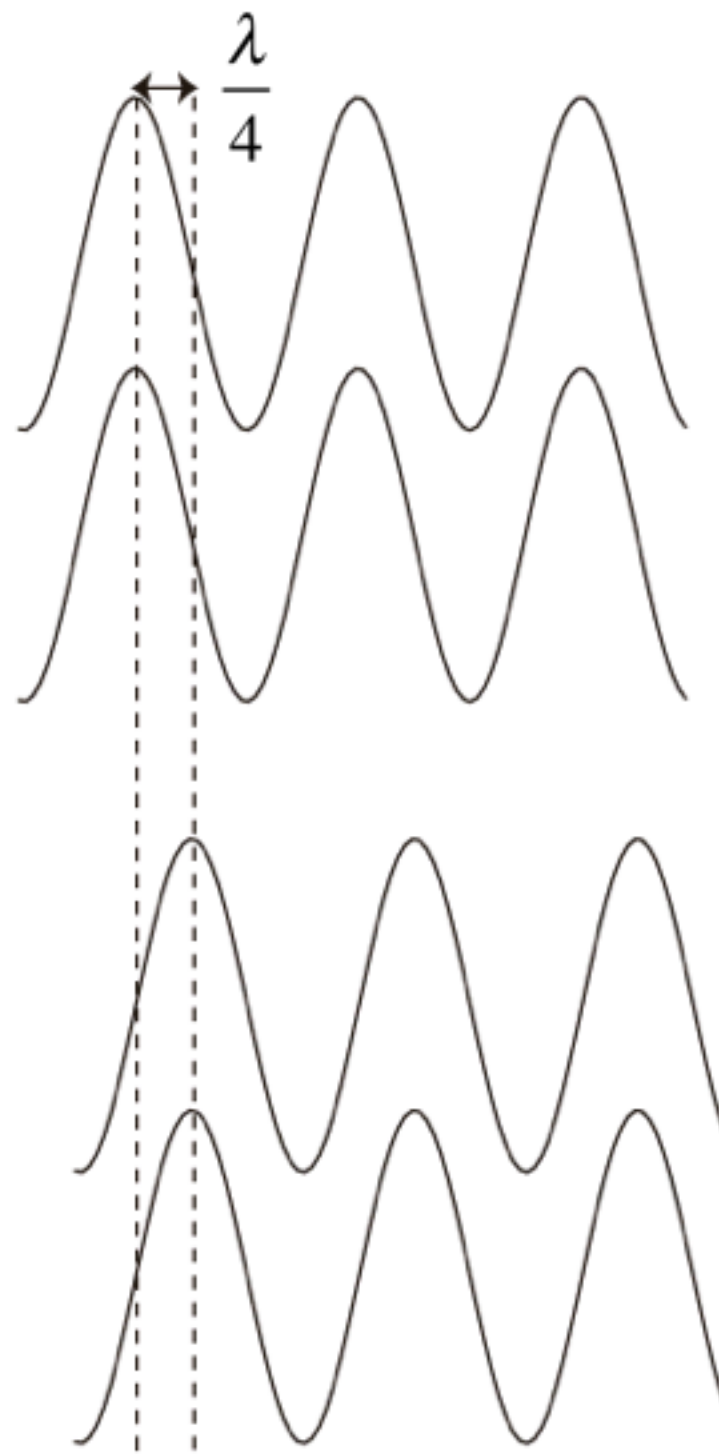
$$\hat{x}_A - \hat{x}_B \rightarrow 0$$

$$\hat{p}_A + \hat{p}_B \rightarrow 0$$

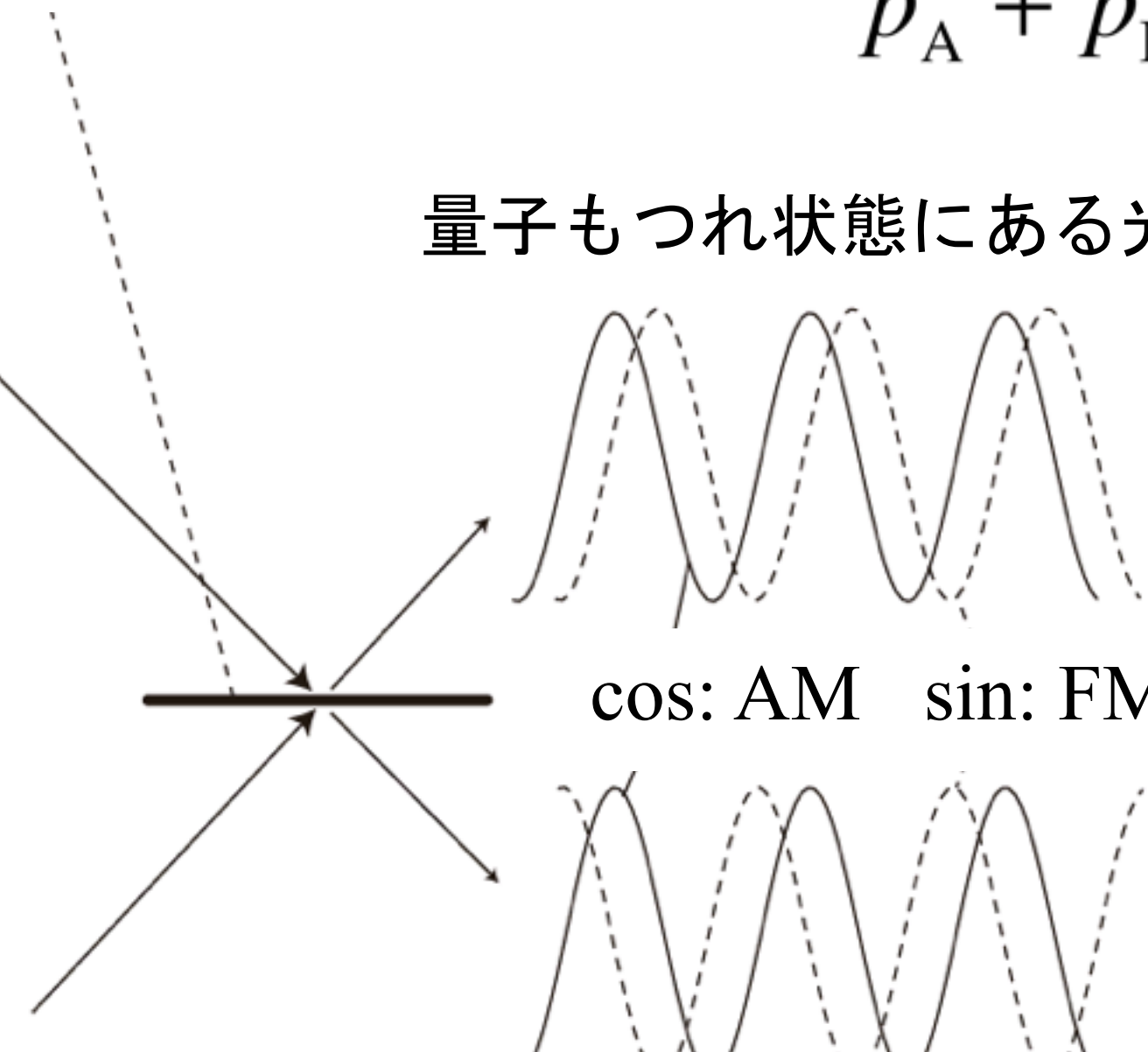
波動像

# 波動像

スクイーズド光



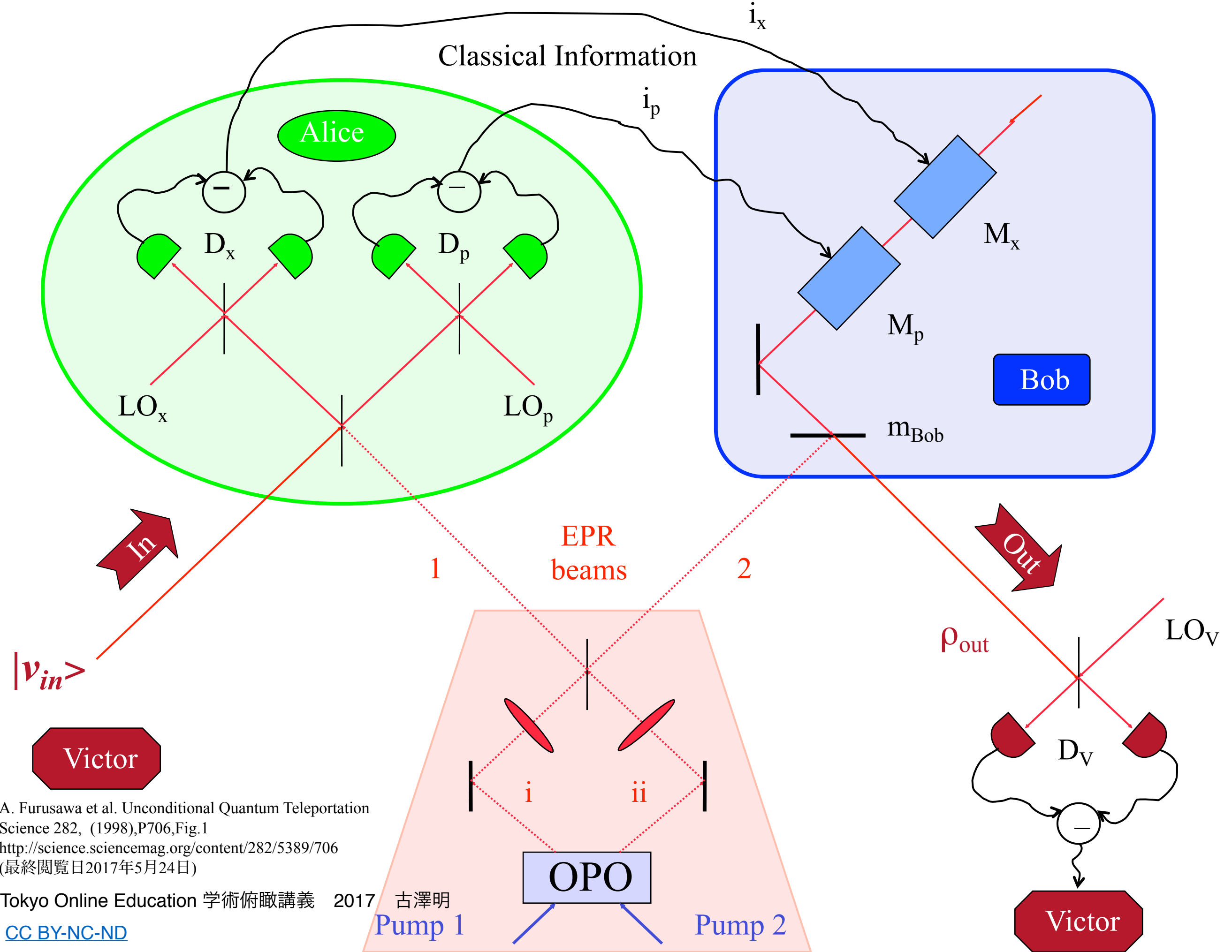
50/50ビームスプリッター



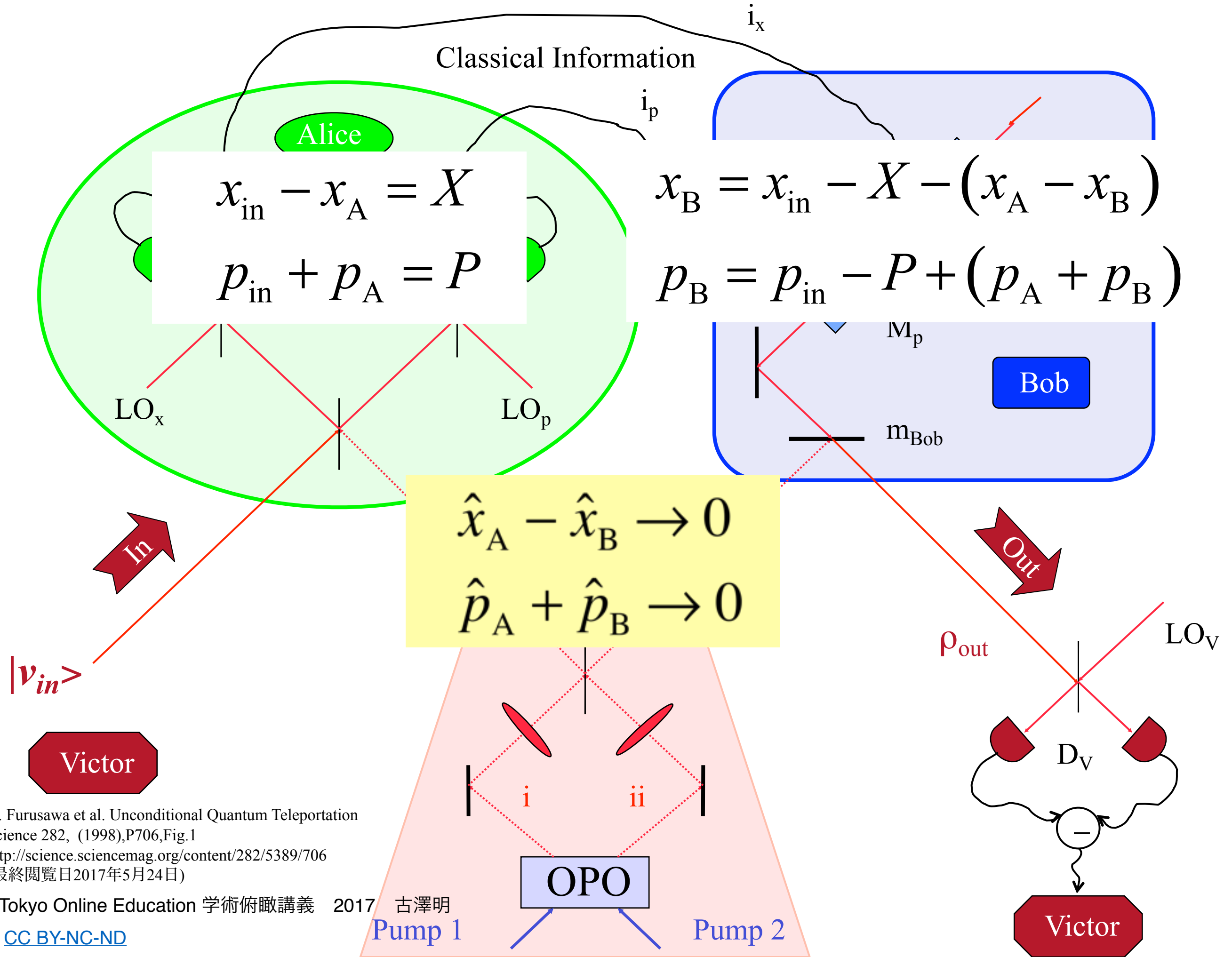
$$\hat{x}_A - \hat{x}_B \rightarrow 0$$
$$\hat{p}_A + \hat{p}_B \rightarrow 0$$

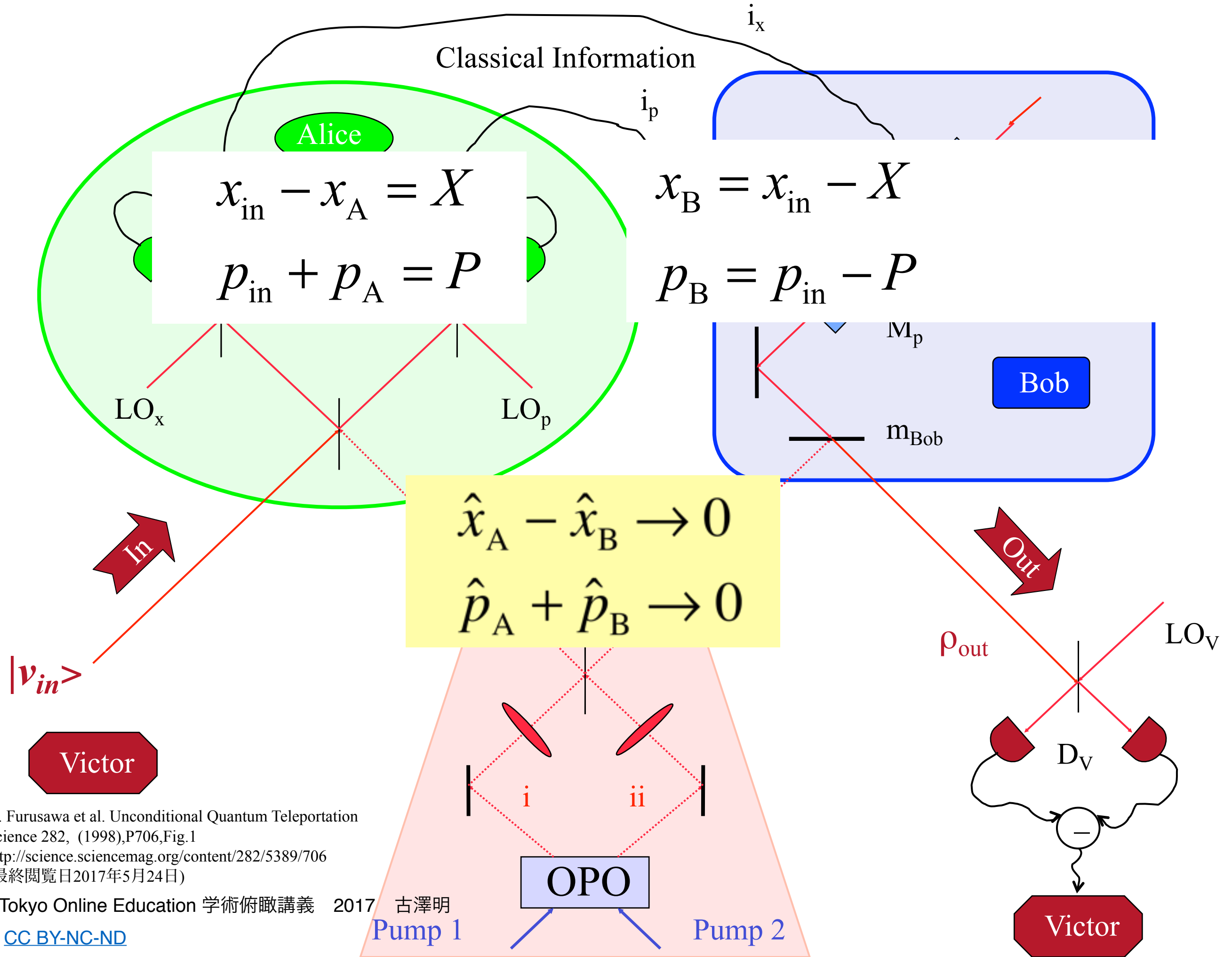
量子もつれ状態にある光ビーム

スクイーズド光から量子もつれ状態にある光ビームを生成

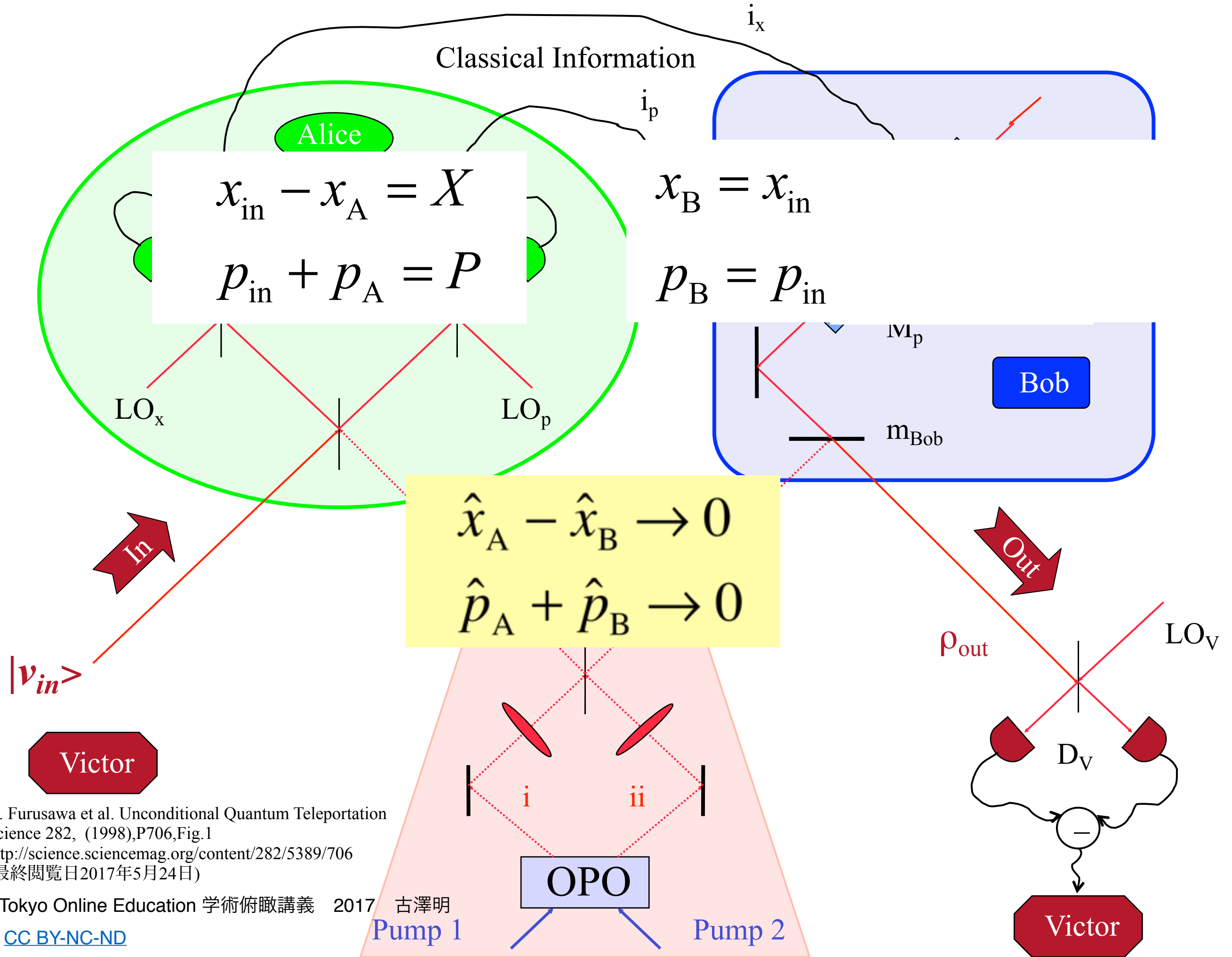


A. Furusawa et al. Unconditional Quantum Teleportation  
 Science 282, (1998), P706, Fig.1  
<http://science.sciencemag.org/content/282/5389/706>  
 (最終閲覧日2017年5月24日)





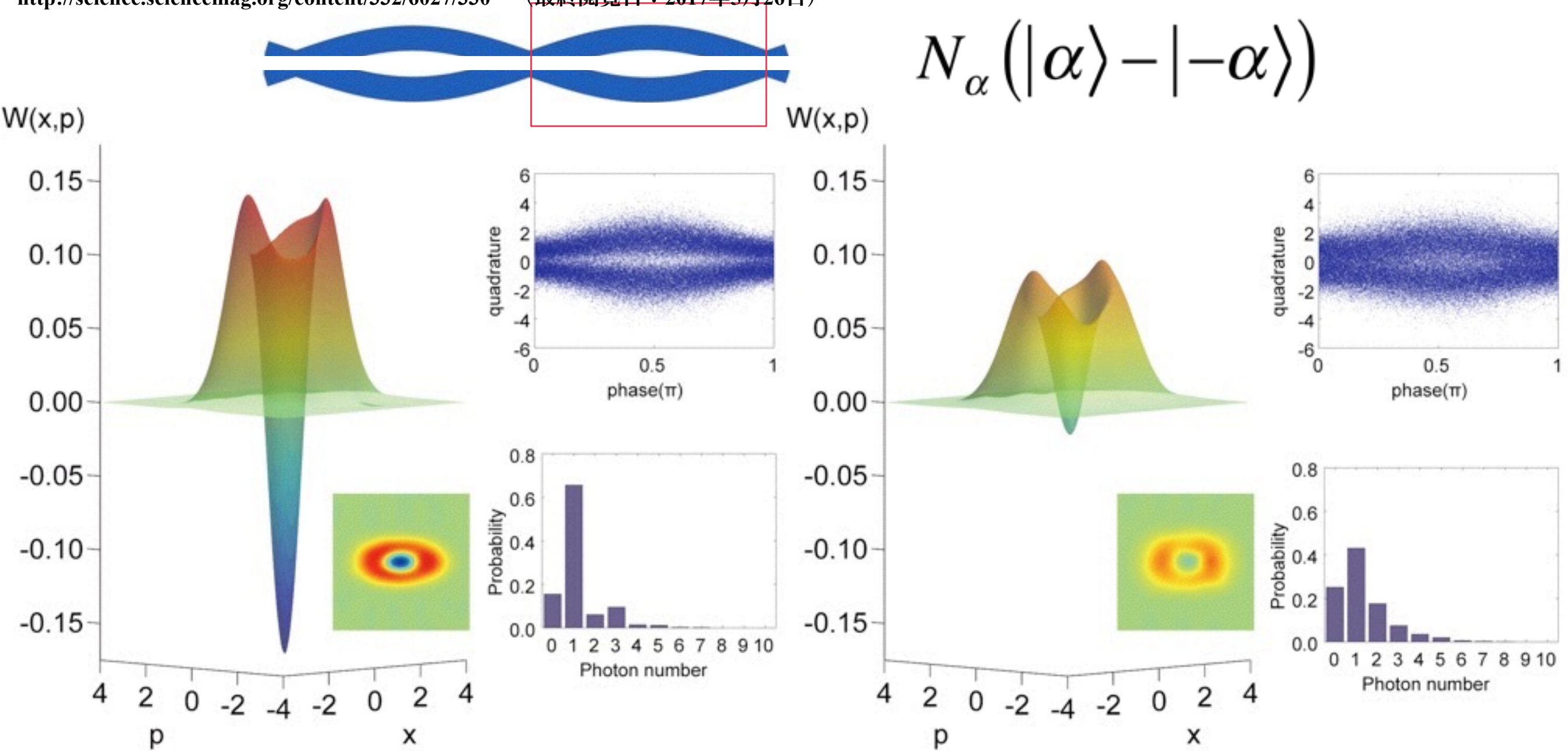
A. Furusawa et al. Unconditional Quantum Teleportation  
 Science 282, (1998), P706, Fig.1  
<http://science.sciencemag.org/content/282/5389/706>  
 (最終閲覧日 2017年5月24日)



A. Furusawa et al. Unconditional Quantum Teleportation  
Science 282, (1998), P706, Fig.1  
<http://science.sciencemag.org/content/282/5389/706>  
(最終閲覧日 2017年5月24日)

# Teleportation of a Schrödinger cat state of light

N. Lee, H. Benichi, Y. Takeno, S. Takeda, J. Webb, E. Huntington, & A. Furusawa, Teleportation of Nonclassical Wave Packets of Light Science 332, 330 (2011)p332 Fig3  
<http://science.sciencemag.org/content/332/6027/330> (最終閲覧日：2017年5月26日)



著作権等の都合により、ここに挿入されていた画像を削除しました

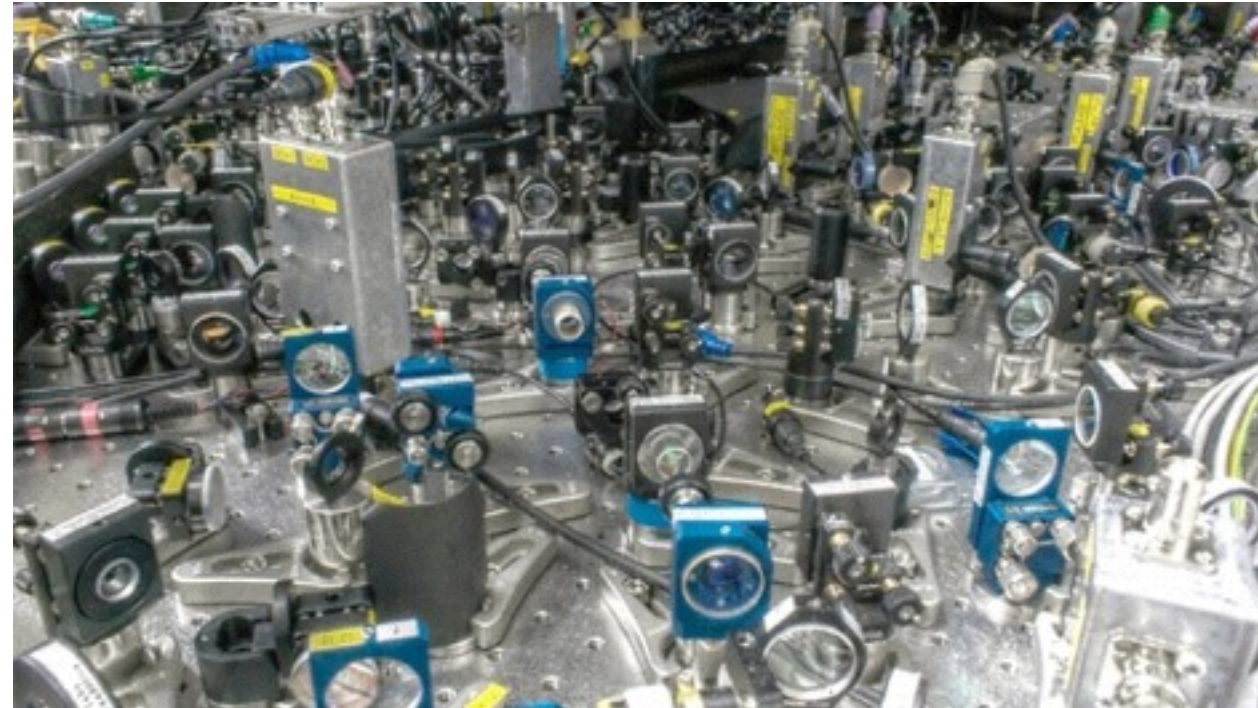
平成23年4月14日

FOX NEWS2011年4月14日記事

Quantum Leap: Scientists Teleport Bits of Light

<http://www.foxnews.com/tech/2011/04/14/quantum-leap-bits-light-teleported-place.html>

(最終閲覧日：2017年5月26日)



著作権等の都合により、ここに挿入されていた画像を削除しました

ABC NEWS2011年4月15日の記事

見出し：Scientists teleport Schrodinger's cat

<http://www.abc.net.au/news/2011-04-15/scientists-teleport-schrodingers-cat/2614780>  
(最終閲覧日：2017年5月26日)

著作権等の都合により、ここに挿入されていた映像を削除しました。

ロシア国営放送ВЕСТИ2011年5月16日放送

見出し：Ученые из Японии телепортировали запутанный квант

<http://www.vesti.ru/doc.html?id=452675>  
(最終閲覧日：2017年5月26日)

**Telepotation of Nonclassical Wave Packets of Light**

Noriyuki Lee, Hugo Benichi,  
Yuishi Takeno, Shuntaro Takeda,  
James Webb, Eleanor Huntington, Akira  
Furusawa

Science vol332(2011)pp330-333

<http://science.sciencemag.org/content/>

# Deterministic quantum teleportation of photonic quantum bits by a hybrid technique

Shuntaro Takeda, Takahiro Mizuta, Maria Fuwa, Peter van Loock & Akira Furusawa

nature vol.500(2013), pp315-318

<https://www.nature.com/nature/journal/v500/n7462/full/nature12366.html>

(最終閲覧日：2017年5月26日)

著作権等の都合により、  
ここに挿入されていた画像を削除しました。

2013年8月15日朝日新聞

量子コンピューターに一步 情報転送の効率

100倍向上に成功

著作権等の都合により、  
ここに挿入されていた画像を削除しました。

2013年8月15日日本経済新聞

情報、瞬時にテレポート未来のITに光  
東大、転送効率を大幅改善

[http://www.nikkei.com/article/  
DGXNASDG1403K\\_U3A810C1CR8000/](http://www.nikkei.com/article/DGXNASDG1403K_U3A810C1CR8000/)  
(最終閲覧日：2017年5月26日)

著作権等の都合により、  
ここに挿入されていた画像を削除しました。

2013年8月15日読売新聞記事

光の粒子 瞬時に情報伝達 量子テレポーテーション 東大チーム初成功

「量子コンピューター」に道

# 量子テレポーテーションを用いて 量子コンピューターをつくる

# ユニバーサルゲートセット

NAND

## 量子ビット

デジタル

計算基底  $\{|0\rangle, |1\rangle\}$  bit flip  $\sigma_x$

アダマール変換

共役基底  $\{|+\rangle, |-\rangle\}$  phase flip  $\sigma_z$   
 $| \pm \rangle = \frac{|0\rangle \pm |1\rangle}{\sqrt{2}}$

CNOT  $|x\rangle|x'\rangle \rightarrow |x\rangle|x+x' \text{ mod } 2\rangle$

$\pi/8$  gate  $T = \begin{pmatrix} 1 & 0 \\ 0 & e^{i\frac{\pi}{4}} \end{pmatrix}$

## 連続量

アナログ

$x$ -displacement  $\{|x\rangle\}$   $\hat{X}(s) = e^{-2is\hat{p}}$

フーリエ変換

$p$ -displacement  $\{|p\rangle\}$   $\hat{Z}(s) = e^{2is\hat{x}}$

QND  $|x\rangle|x'\rangle \rightarrow |x\rangle|x+x'\rangle$

Cubic phase gate  $e^{i\gamma\hat{x}^3} |\psi\rangle$

# ユニバーサルゲートセット

NAND

## 量子ビット

デジタル

計算基底  $\{|0\rangle, |1\rangle\}$  bit flip  $\sigma_x$

連続量  $x$ -displacement  
 $\{|x\rangle\} \hat{X}(s) = e^{-2is\hat{p}}$

量子テレポーテーションを用いて  
ユニバーサルゲートセットをつくる

共役基底  $\{|+\rangle, |-\rangle\}$   $\sigma_z$   
 $| \pm \rangle = \frac{|0\rangle \pm |1\rangle}{\sqrt{2}}$

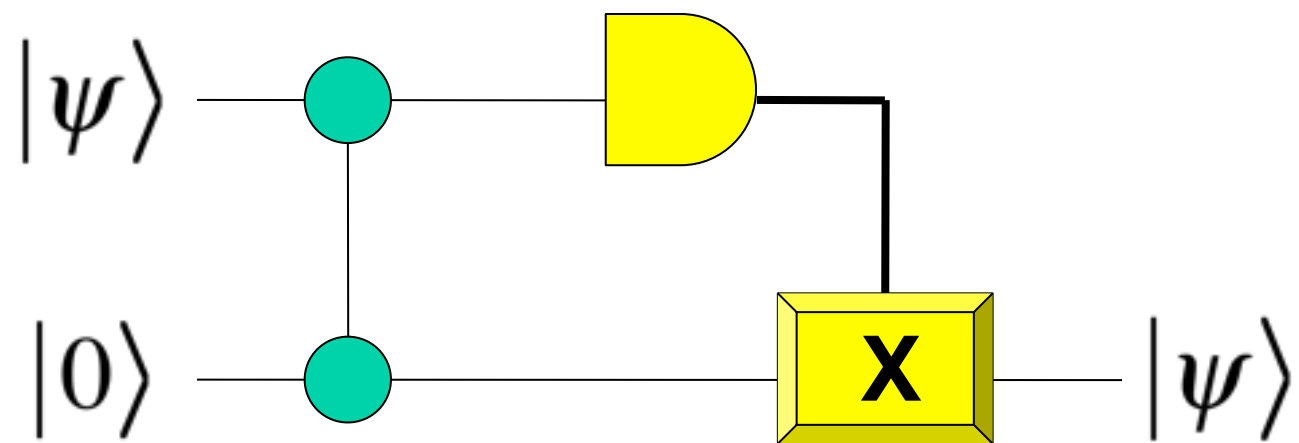
element  $\{|p\rangle\} Z(s) = e^{2is\hat{x}}$

CNOT  $|x\rangle|x'\rangle \rightarrow |x\rangle|x+x' \text{mod} 2\rangle$       QND  $|x\rangle|x'\rangle \rightarrow |x\rangle|x+x'\rangle$

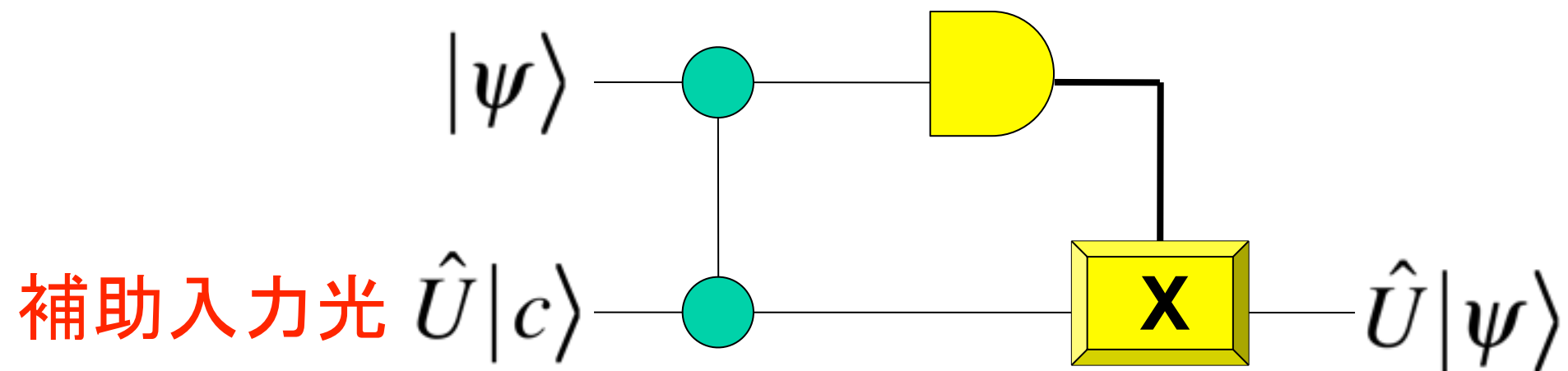
$\pi/8$  gate  $T = \begin{pmatrix} 1 & 0 \\ 0 & e^{i\frac{\pi}{4}} \end{pmatrix}$

Cubic phase gate  $e^{i\gamma\hat{x}^3} |\psi\rangle$

# 量子テレポーテーション



# 量子ゲートテレポーテーション



強い光で予め生成

非ガウス型状態

量子力学的操作  
が施された光  $\hat{U}|c\rangle$

3次位相状態  $e^{i\gamma\hat{x}^3}|p=0\rangle$

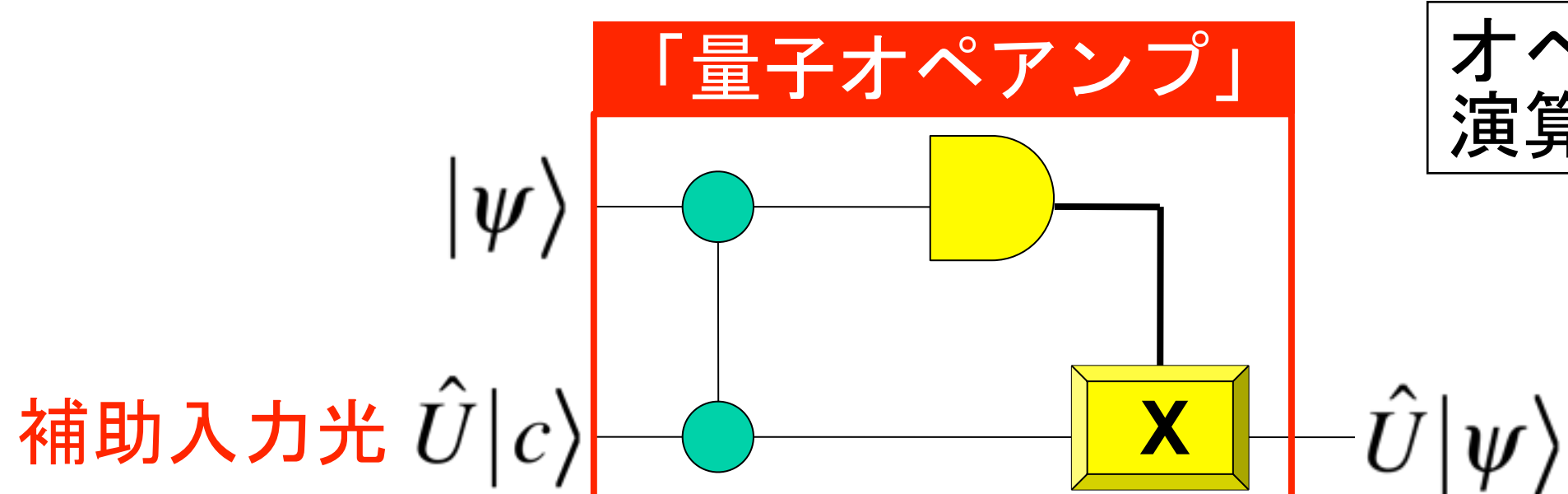
4次位相状態  $e^{i\frac{\pi}{2}(\hat{x}^2+\hat{p}^2)^2}|\alpha\rangle$

非ガウス型操作

必要とされる  
量子力学的操作  $\hat{U}$

3次位相ゲート  $e^{i\gamma\hat{x}^3}$   
4次位相ゲート  $e^{i\frac{\pi}{2}(\hat{x}^2+\hat{p}^2)^2}$

# 量子ゲートテレポーテーション



強い光で予め生成

量子テレポーテーションを用いて  
ユニバーサルゲートセットを作製可能

3次位相状態  $e^{i\gamma\hat{x}^3}|p=0\rangle$

4次位相状態  $e^{i\frac{\pi}{2}(\hat{x}^2+\hat{p}^2)^2}|\alpha\rangle$

外付け素子

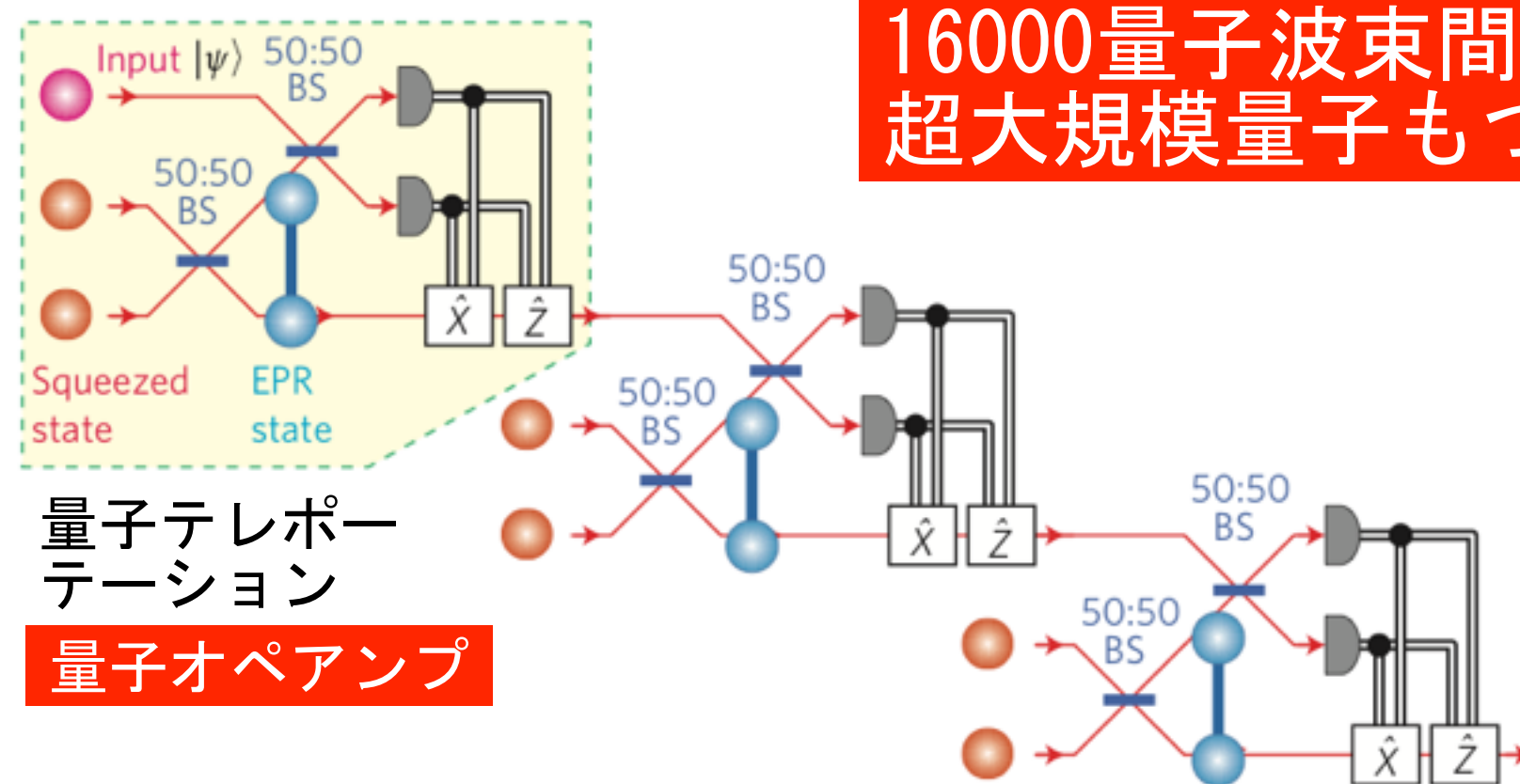
3次位相ゲート  $e^{i\gamma\hat{x}^3}$   
4次位相ゲート  $e^{i\frac{\pi}{2}(\hat{x}^2+\hat{p}^2)^2}$

# 大規模量子エンタングルド状態—時間領域多重で実現

Ultra-large-scale continuous-variable cluster states multiplexed in the time domain  
Shota Yokoyama, Ryuji Ukai, Seiji C. Armstrong, Chanond Sornphiphatphong, Toshiyuki Kaji, Shigenari Suzuki, Jun-ichi Yoshikawa, Hidehiro Yonezawa, Nicolas C. Menicucci & Akira Furusawa

Nature Photonics 7, (2013), pp982–986

<http://www.nature.com/nphoton/journal/v7/n12/full/nphoton.2013.287.html>



16000量子波束間の  
超大規模量子もつれ生成に成功

量子ゲートテレポーテーションの時間領域多重化

# 大規模量子エンタングルド状態—時間領域多重で実現

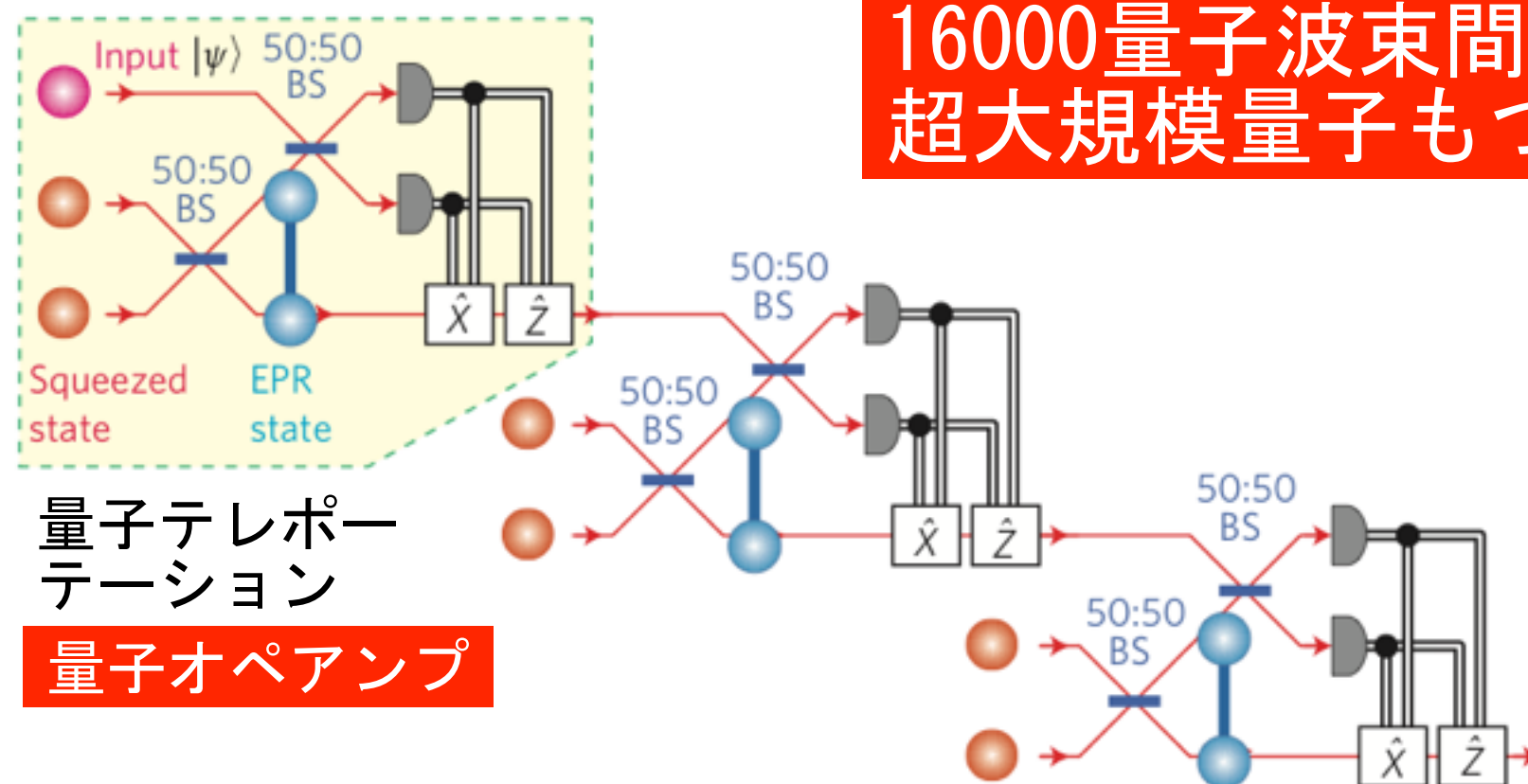
Ultra-large-scale continuous-variable cluster states multiplexed in the time domain

Shota Yokoyama, Ryuji Ukai, Seiji C. Armstrong, Chanond Sornphiphatphong, Toshiyuki Kaji, Shigenari Suzuki, Jun-ichi Yoshikawa, Hidehiro Yonezawa, Nicolas C. Menicucci & Akira Furusawa

Nature Photonics 7, (2013), pp982–986

<http://www.nature.com/nphoton/journal/v7/n12/full/nphoton.2013.287.html>

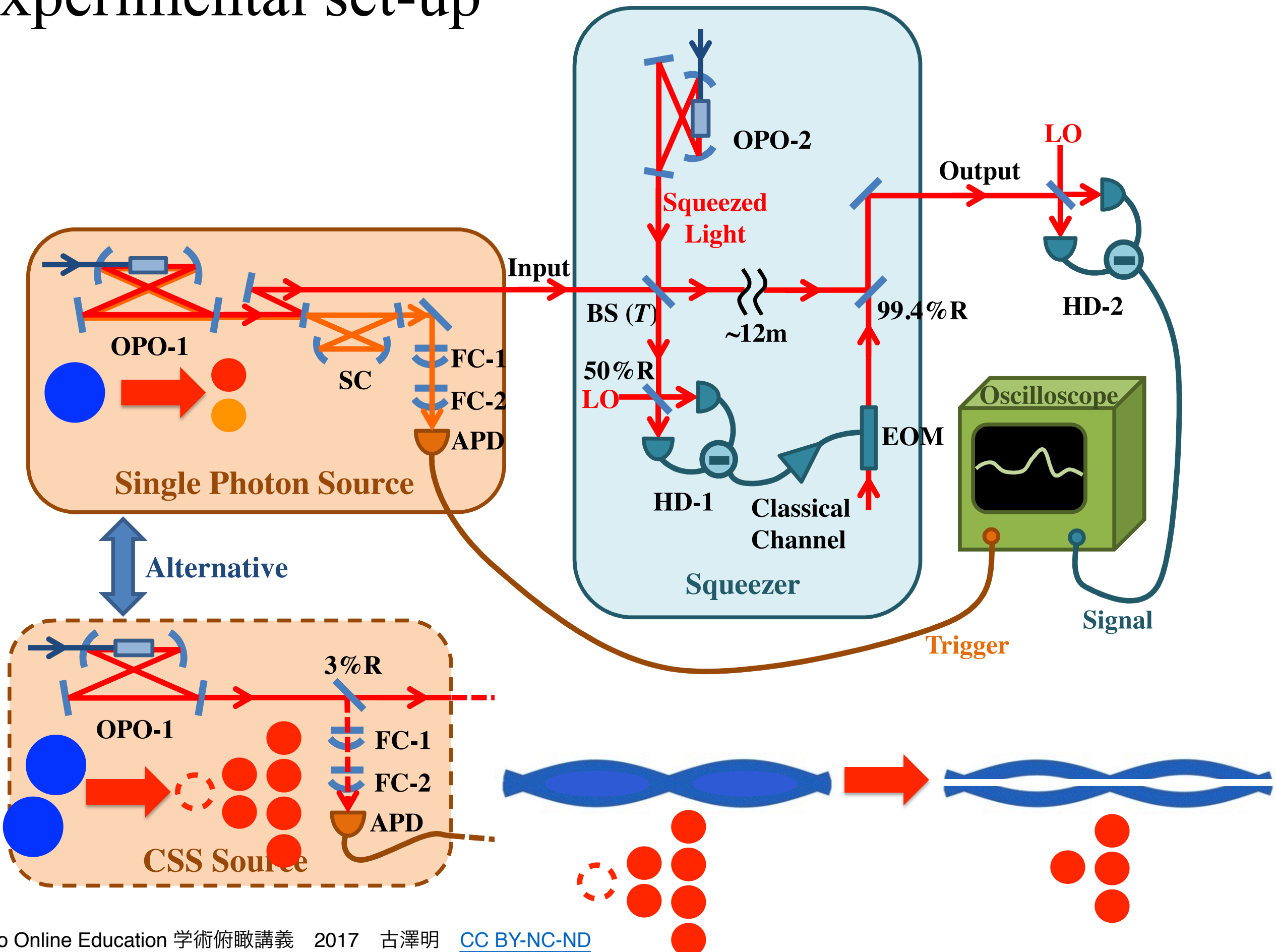
量子オペアンプである  
量子テレポーテーションを多数用いて  
量子コンピューター作製可能



16000量子波束間の  
超大規模量子もつれ生成に成功

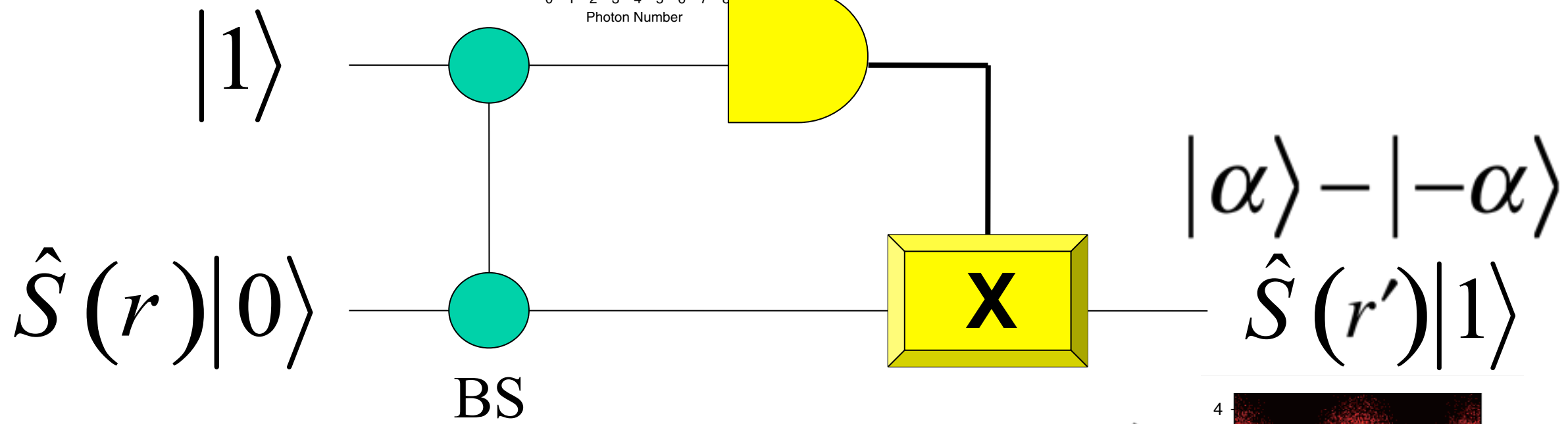
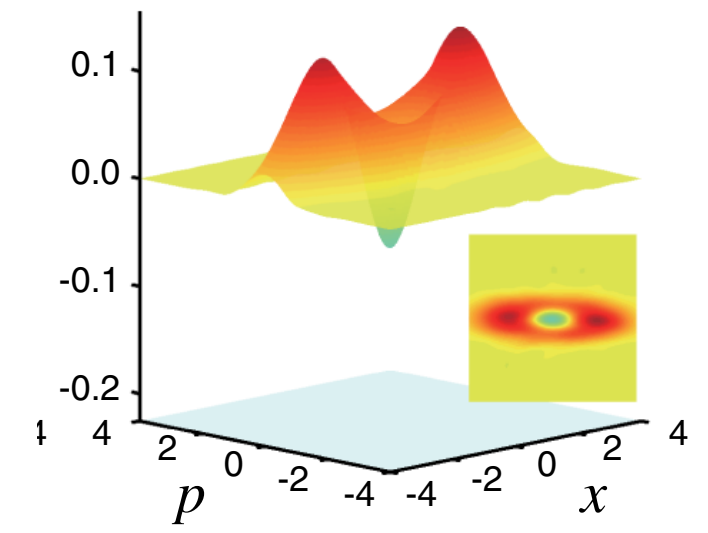
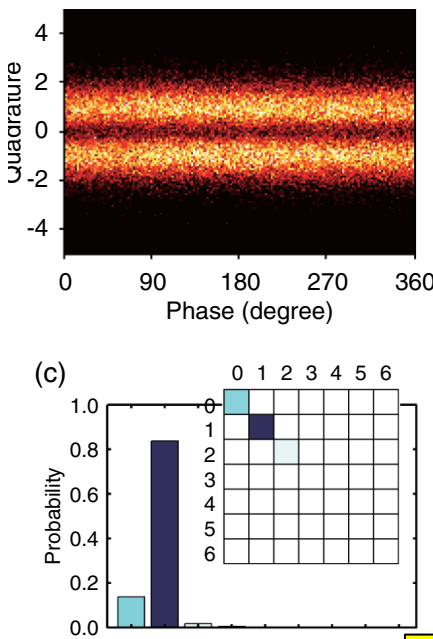
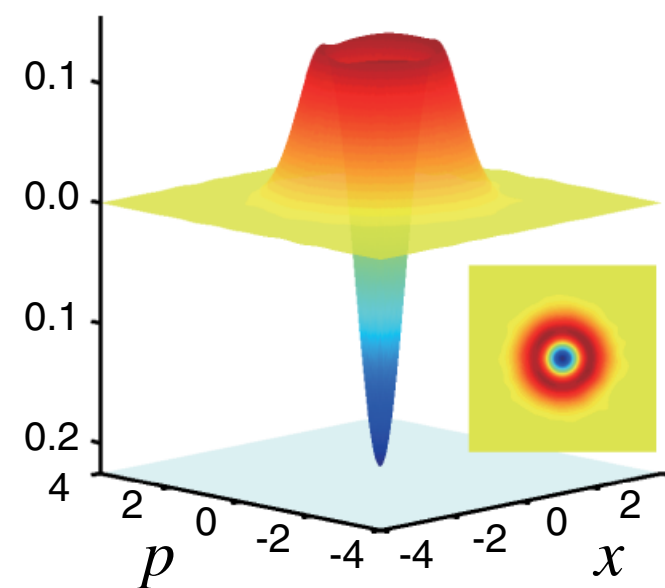
量子ゲートテレポーテーションの時間領域多重化

# Experimental set-up

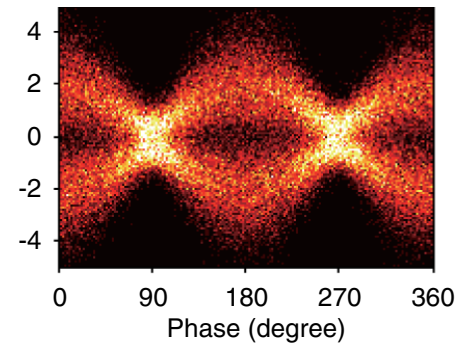
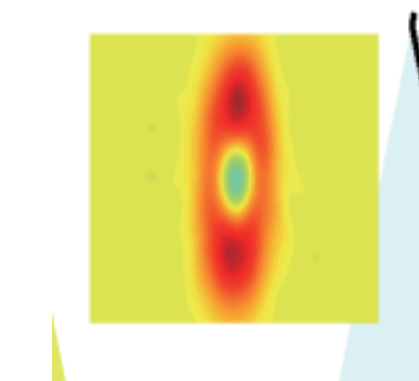
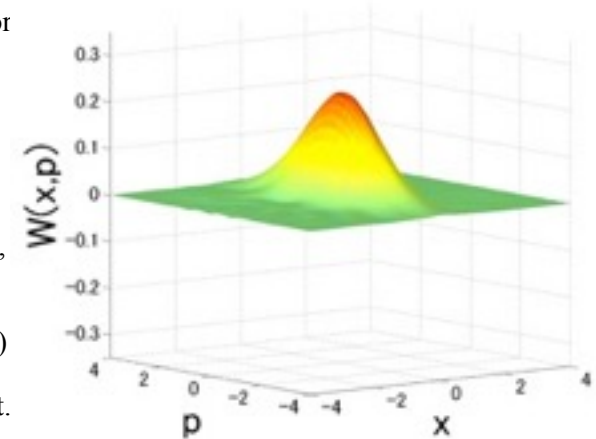


# Squeezing of a single photon

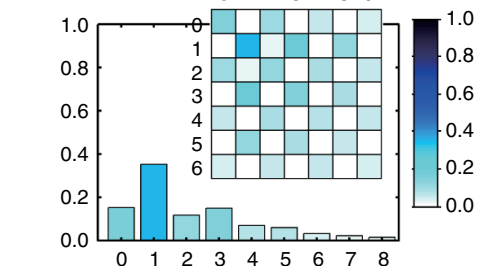
From particles to waves



YExploring a New Regime for Processing Optical Qubits:  
Squeezing and Unsqueezing Single Photons  
Yoshichika Miwa, Jun-ichi Yoshikawa, Noriaki Iwata,  
Mamoru Endo, Petr Marek,  
Radim Filip, Peter van Loock,  
and Akira Furusawa  
PHYSICAL REVIEW LETTERS, 113, 013601(2014)  
<https://journals.aps.org/prl/abstract/10.1103/PhysRevLett.113.013601>  
fig2

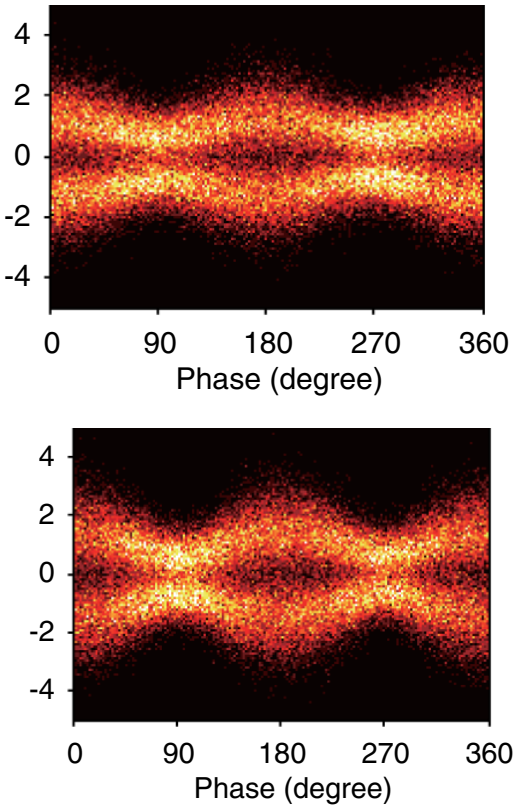
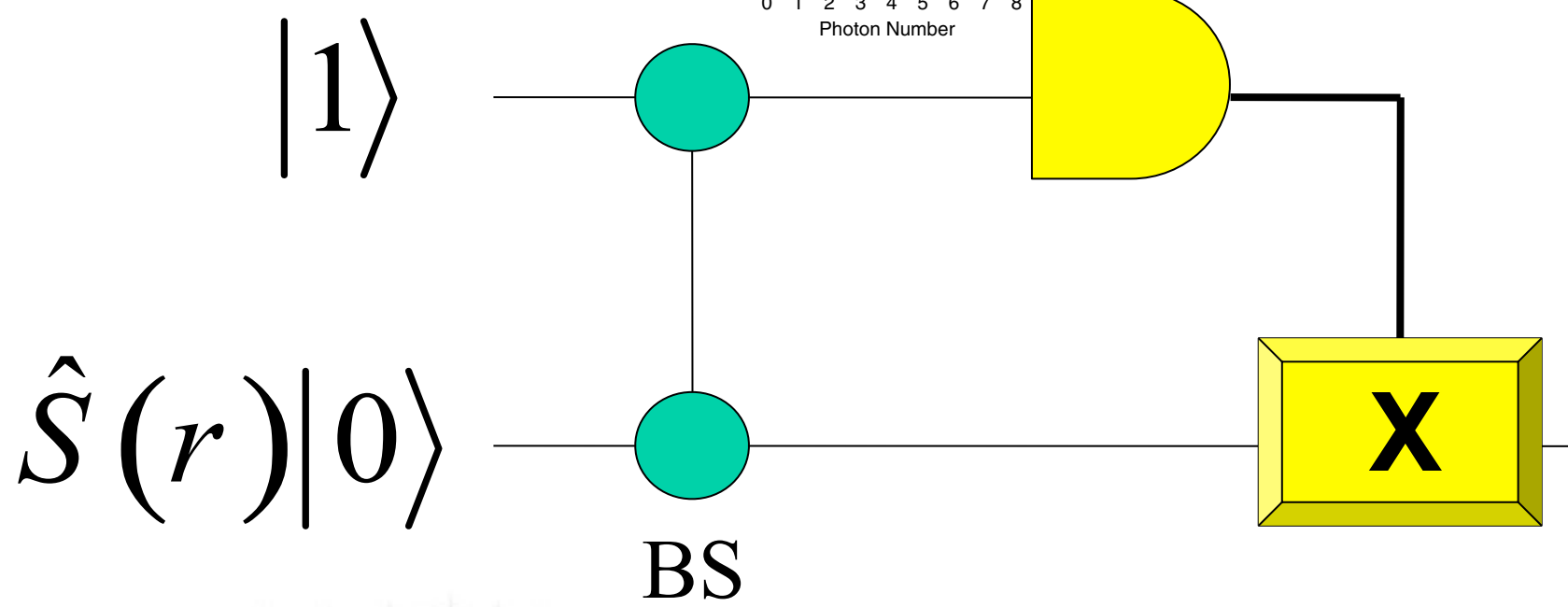
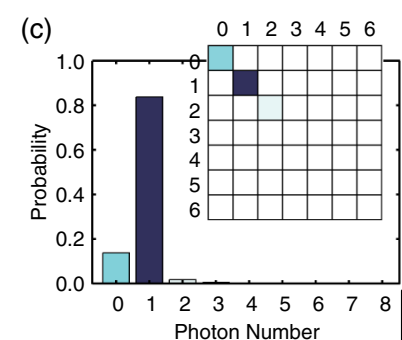
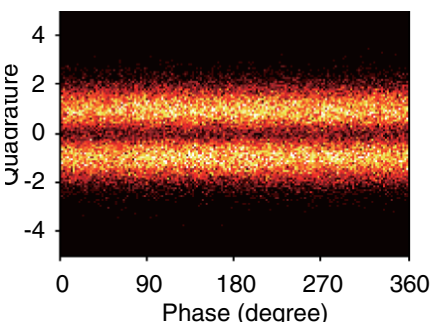
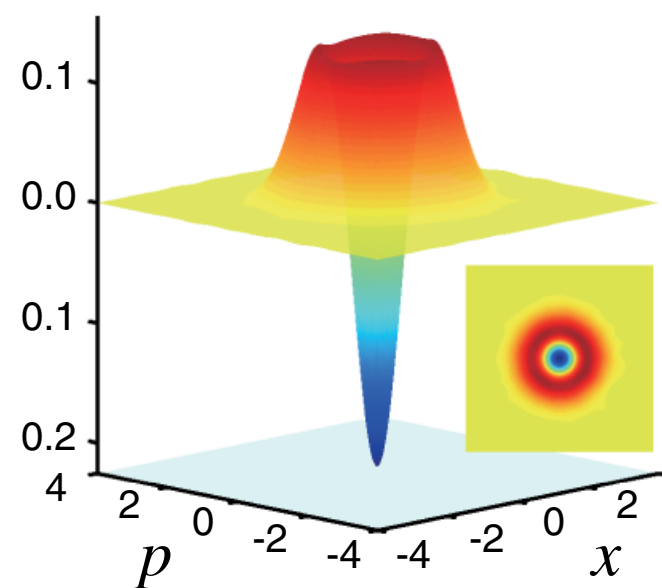


without any correction!!

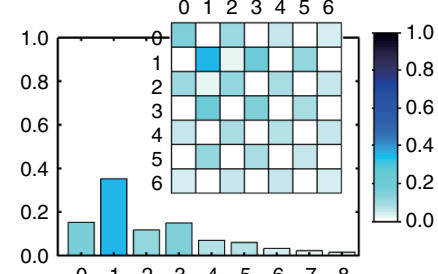
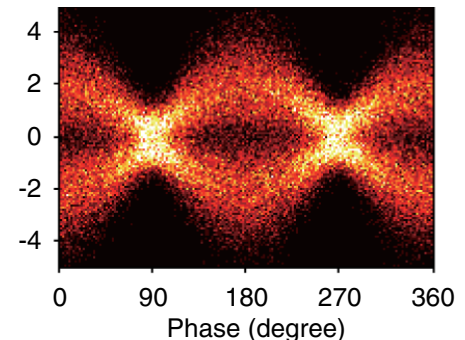
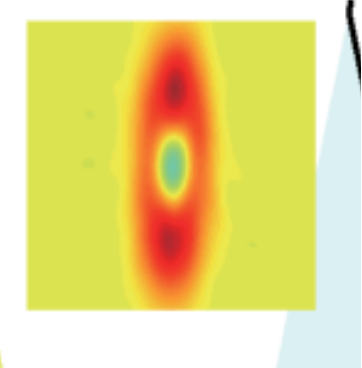
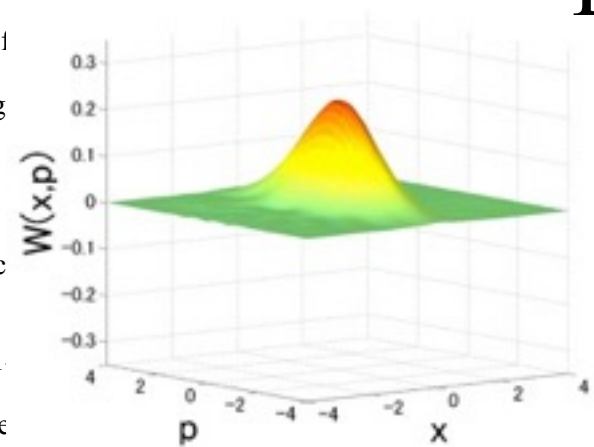


# Squeezing of a single photon

From particles to waves



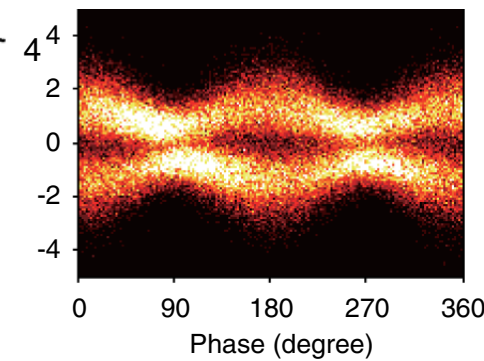
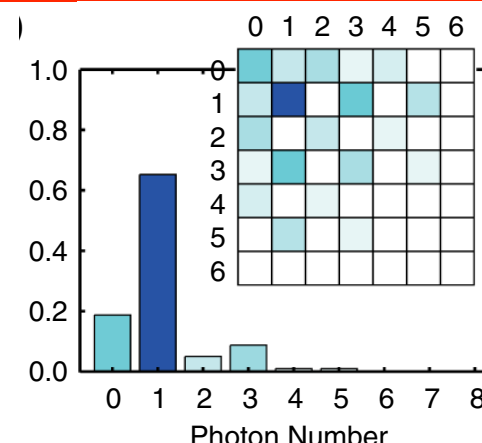
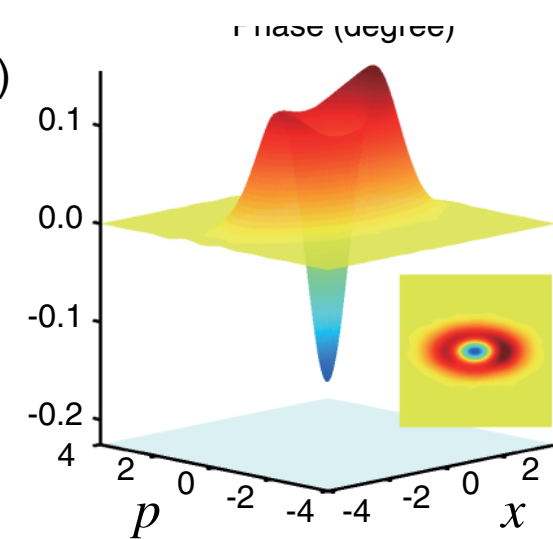
$|\alpha\rangle - |-\alpha\rangle$   
 $\hat{S}(r')|1\rangle$



Exploring a New Regime of Processing Optical Qubits: Squeezing and Unsqueezing Single Photons  
Yoshichika Miwa, Jun-ichi Yoshikawa, Noriaki Iwata, Mamoru Endo, Petr Marek, Radim Filip, Peter van Loock and Akira Furusawa  
PHYSICAL REVIEW LETTERS, 113, 013601(2014)  
<https://journals.aps.org/prl/abstract/10.1103/PhysRevLett.113.013601>  
fig2

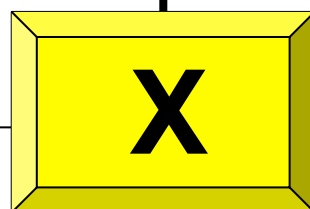
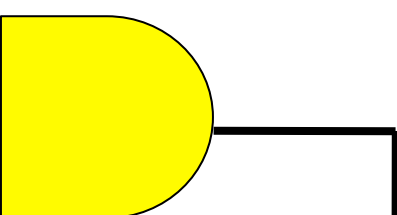
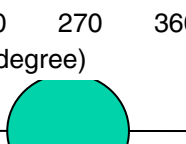
# Squeezing of Schrödinger cat

From waves to particles

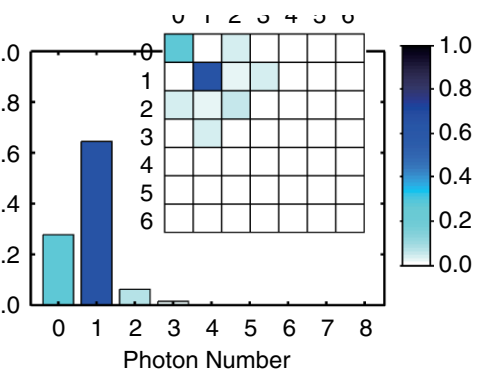
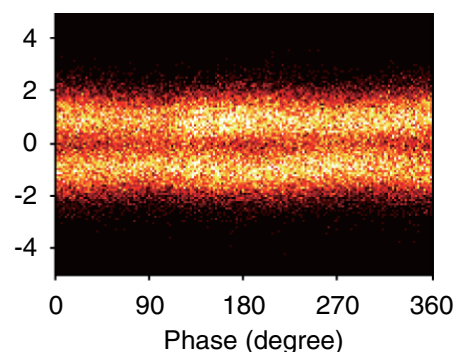
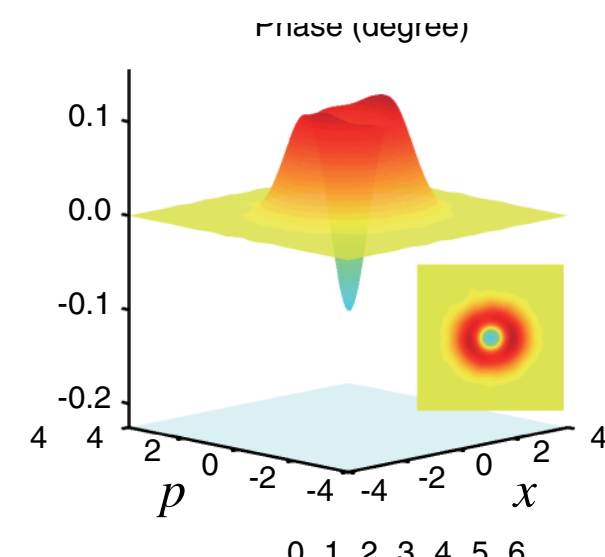
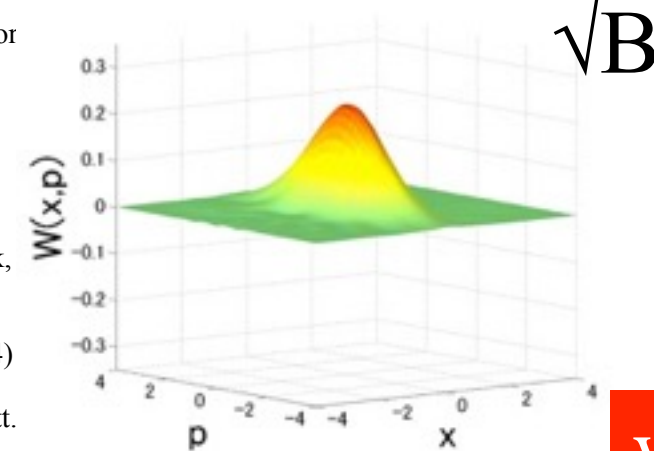


$|\alpha\rangle - |-\alpha\rangle$

$\hat{S}(r)|0\rangle$



$|1\rangle$

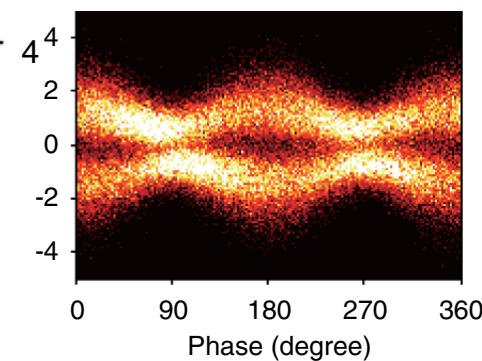
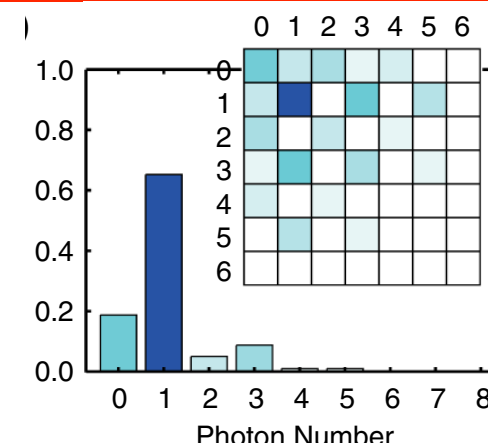
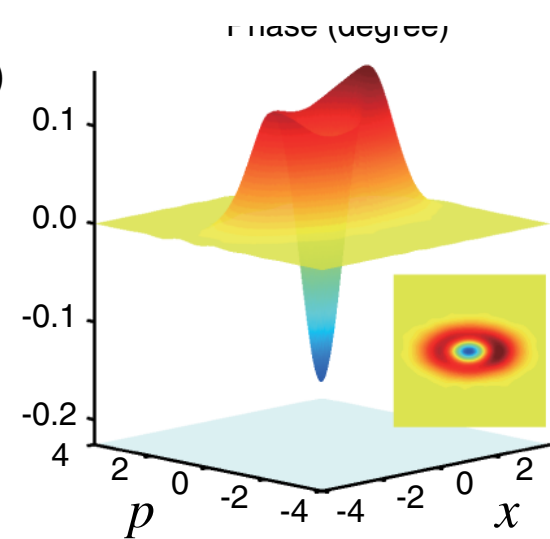


without any correction!!

Exploring a New Regime for Processing Optical Qubits:  
Squeezing and Unsqueezing  
Single Photons  
Yoshichika Miwa, Jun-ichi Yoshikawa, Noriaki Iwata,  
Mamoru Endo, Petr Marek,  
Radim Filip, Peter van Loock,  
and Akira Furusawa  
PHYSICAL REVIEW LETTERS, 113, 013601(2014)  
<https://journals.aps.org/prl/abstract/10.1103/PhysRevLett.113.013601>  
fig 3

# Squeezing of Schrödinger cat

From waves to particles

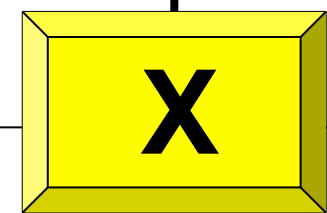
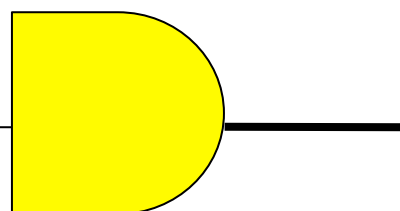


$|\alpha\rangle - |-\alpha\rangle$

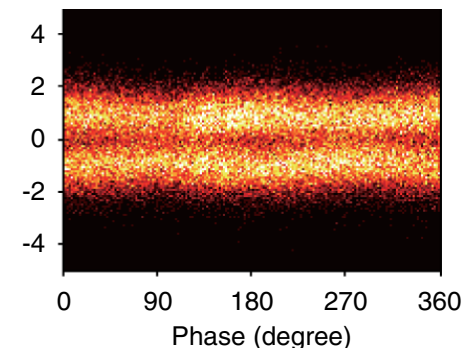
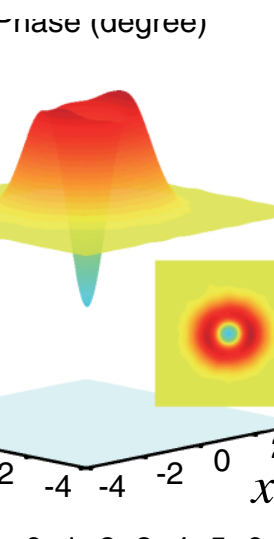
Phase (degree)

$\hat{S}(r)|0\rangle$

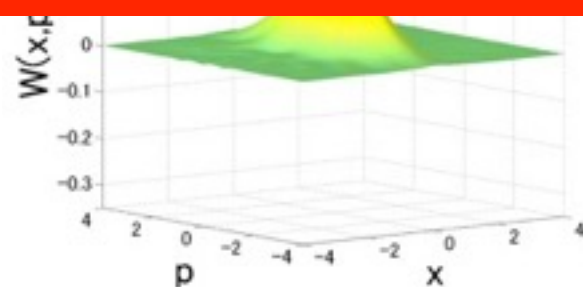
$\frac{1}{\sqrt{2}}|+\rangle_{PS}$



$|1\rangle$



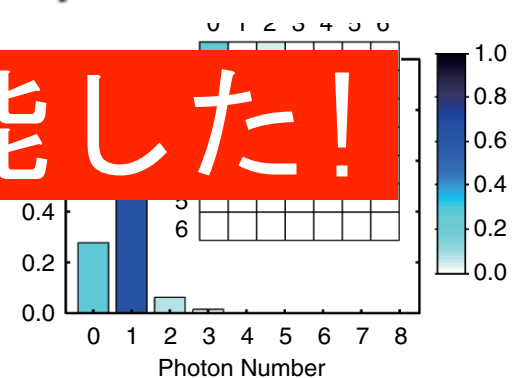
位相敏感増幅器としてちゃんと機能した!



YExploring a New Regime for Processing Optical Qubits: Squeezing and Unsqueezing Single Photons  
Yoshichika Miwa, Jun-ichi Yoshikawa, Noriaki Iwata, Mamoru Endo, Petr Marek, Radim Filip, Peter van Loock, and Akira Furusawa

PHYSICAL REVIEW LETTERS, 113, 013601(2014)  
<https://journals.aps.org/prl/abstract/10.1103/PhysRevLett.113.013601>  
fig 3

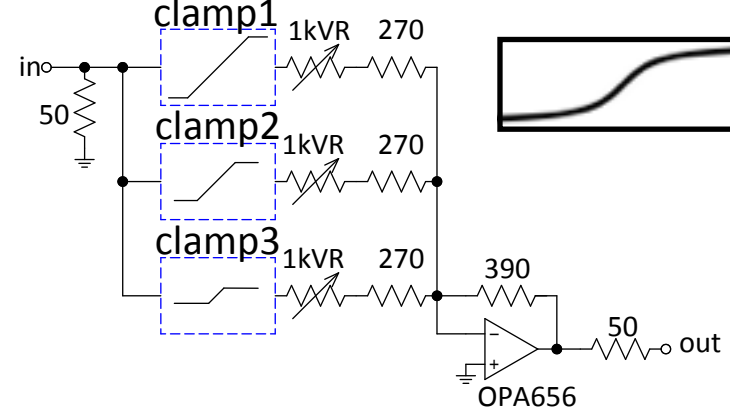
without any correction!!



# measurement result

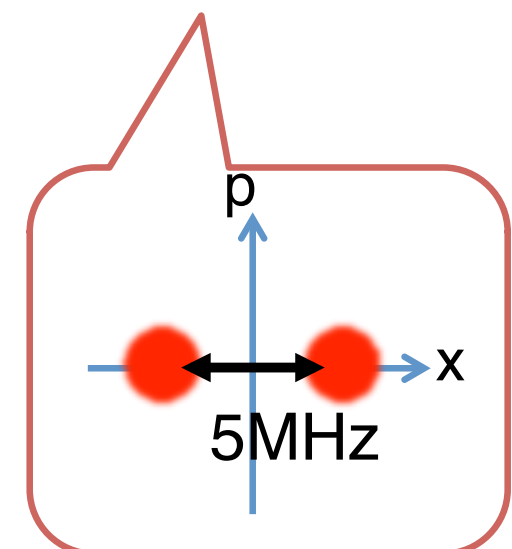
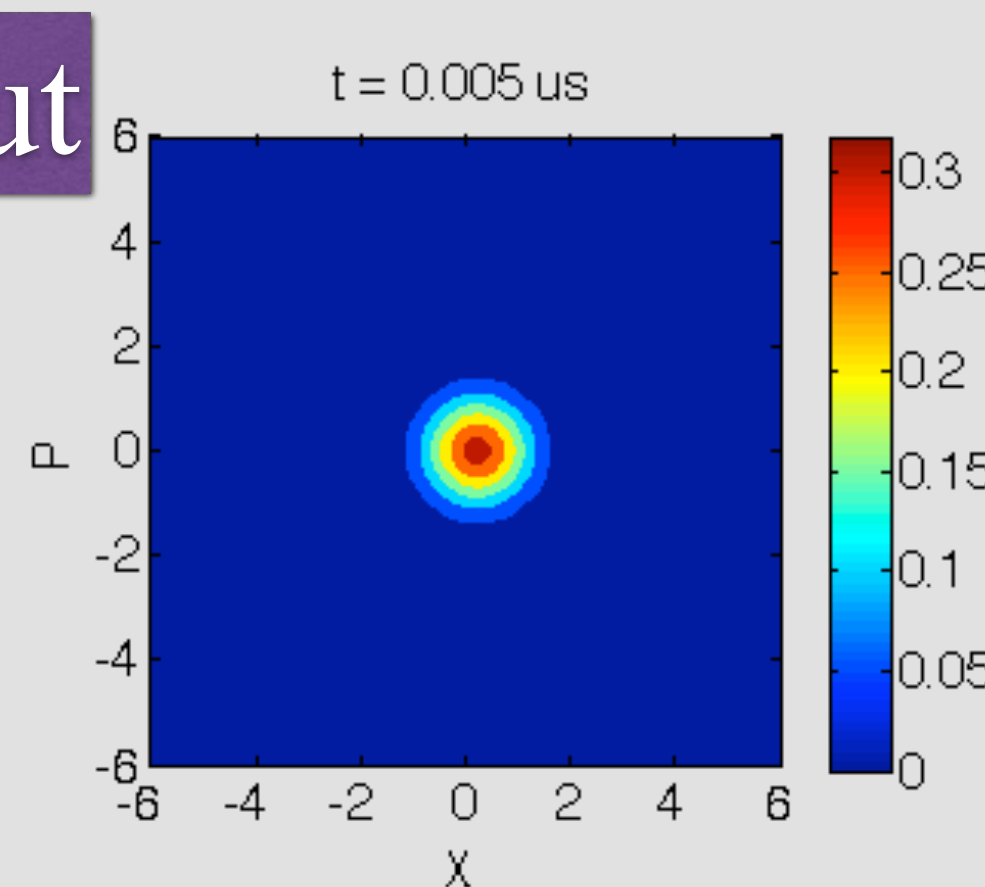
$$\kappa = \sin \omega t$$
$$\omega = 1 \text{ MHz}$$

$$\theta = \arctan \kappa$$



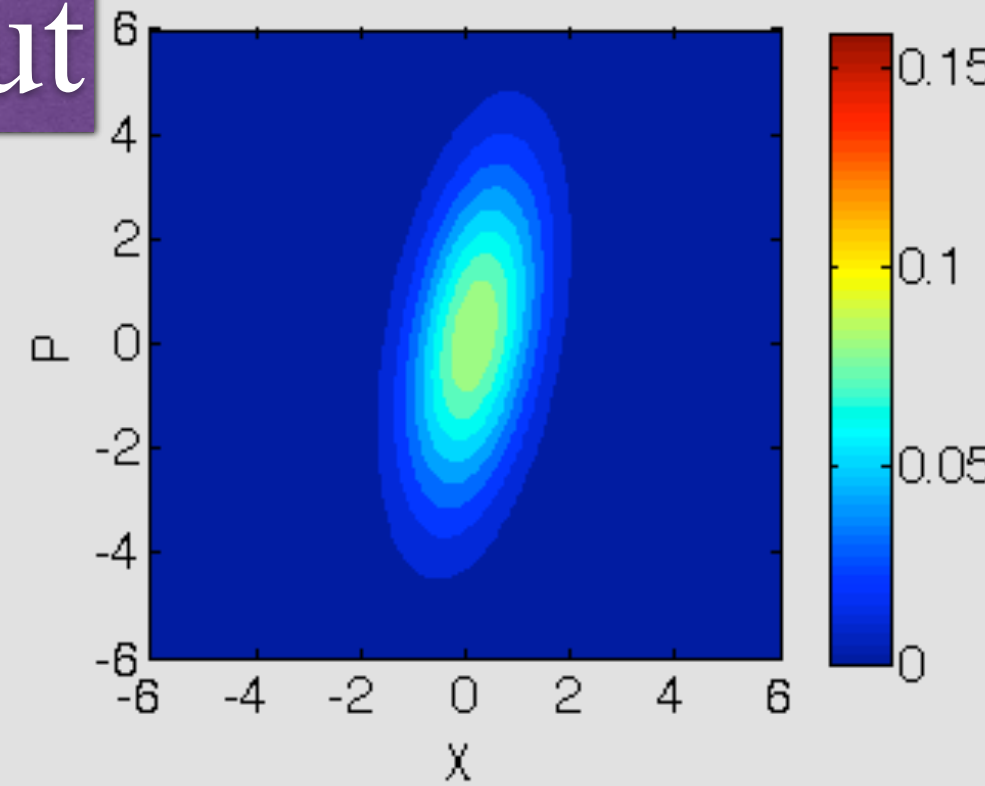
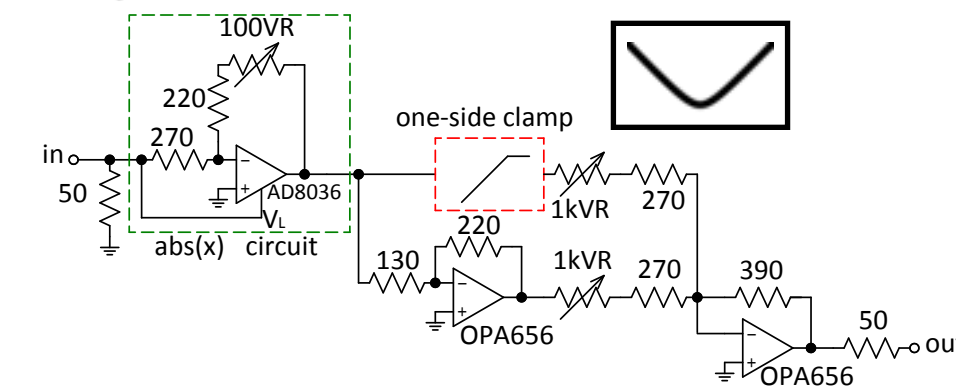
# Dynamic squeezing gate

Input



Output

$\sqrt{2(1+\kappa^2)}$ -amp



Time-varying Hamiltonian!

Furusawa&Yoshikawa Laboratory  
<http://www.alice.t.u-tokyo.ac.jp/>  
Dynamic squeezing gate (movie)  
<http://www.alice.t.u-tokyo.ac.jp/FIGDSGAnimation.gif>  
(最終閲覧日：2017年6月14日)

# measurement result

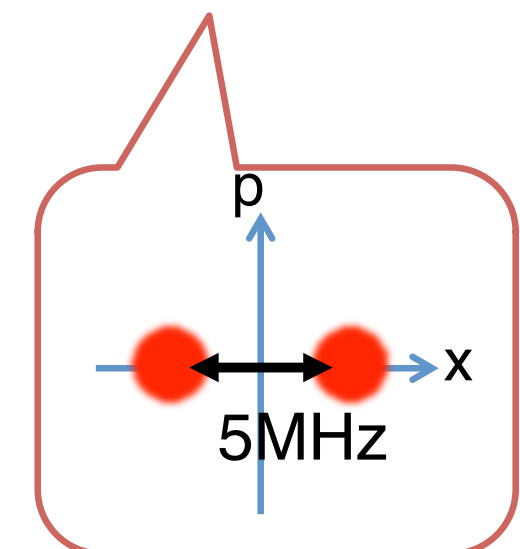
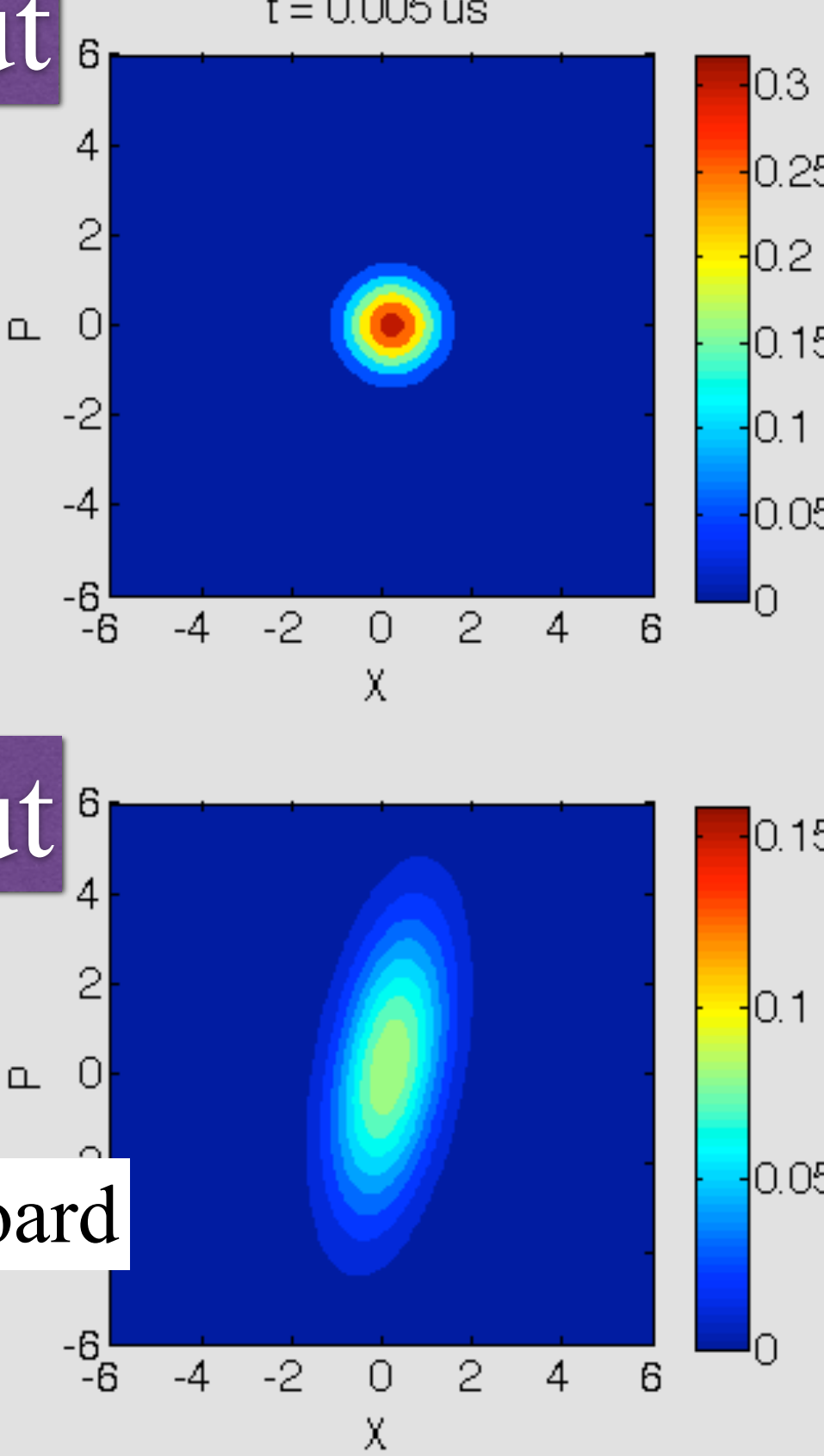
$$\kappa = \sin \omega t$$
$$\omega = 1 \text{ MHz}$$

$$\theta = \arctan \kappa$$



Ultra-low-latency FPGA board

# Dynamic squeezing gate



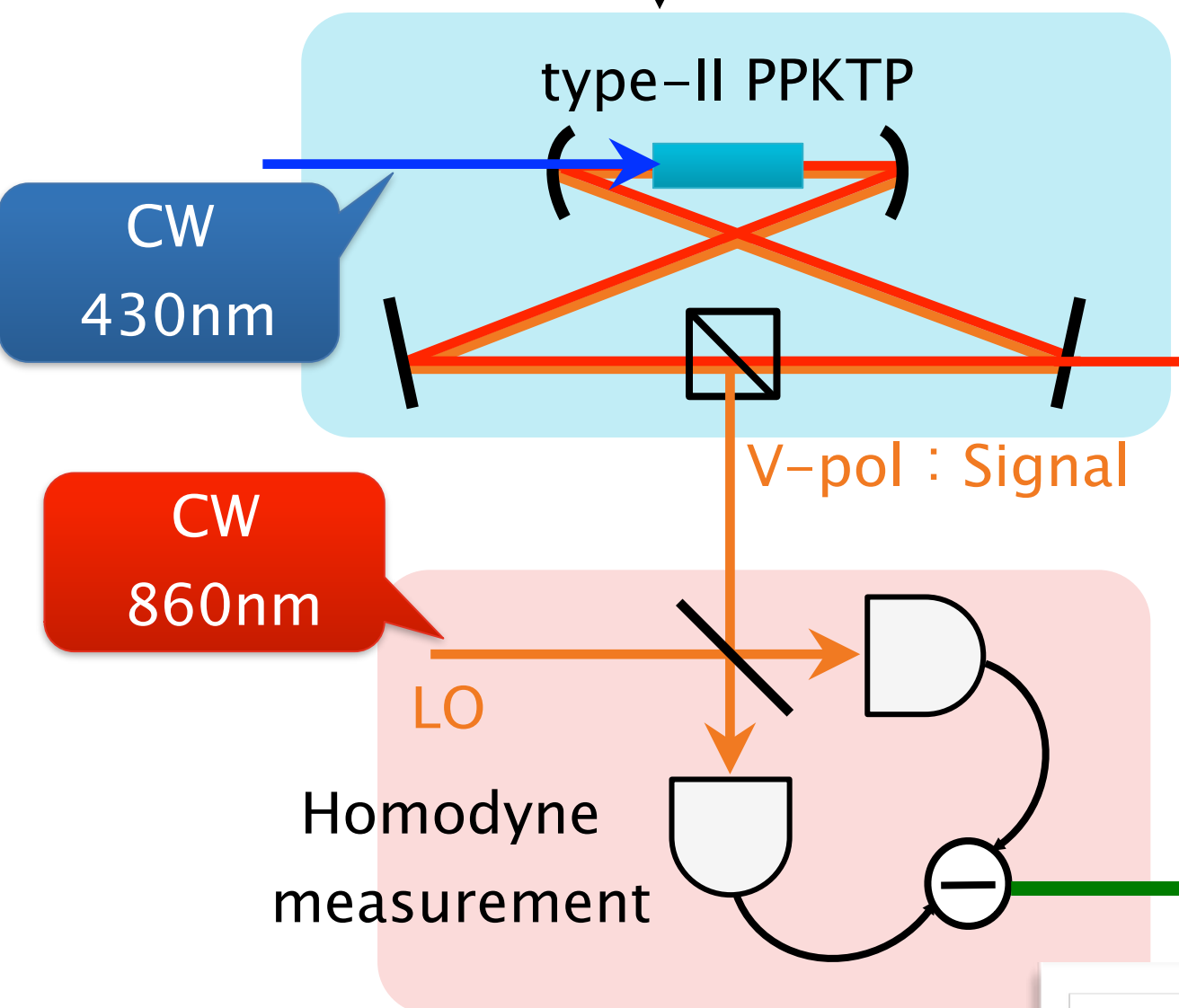
Time-varying  
Hamiltonian!

Furusawa&Yoshikawa Laboratory  
<http://www.alice.t.u-tokyo.ac.jp/>  
Dynamic squeezing gate (movie)  
<http://www.alice.t.u-tokyo.ac.jp/FIGDSGAnimation.gif>  
(最終閲覧日：2017年6月14日)

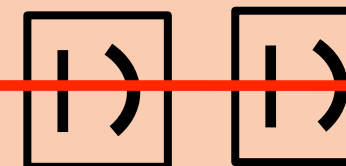
# Real-time quadrature-amplitude measurement of single photons

H-pol : Idler  
V-pol : Signal

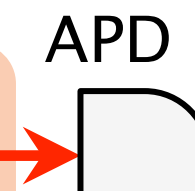
Hybrid measurement



H-pol : Idler

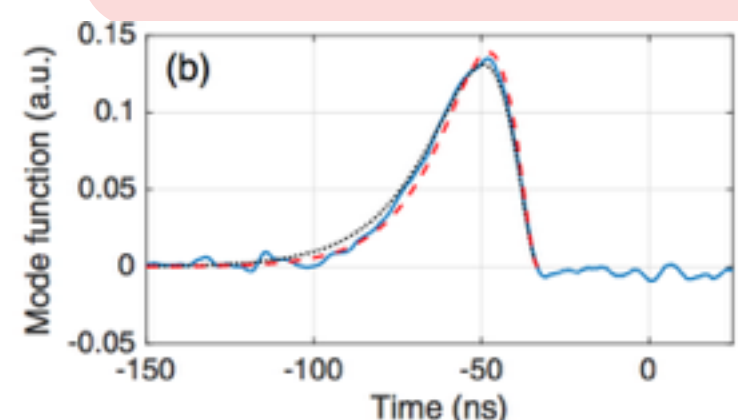
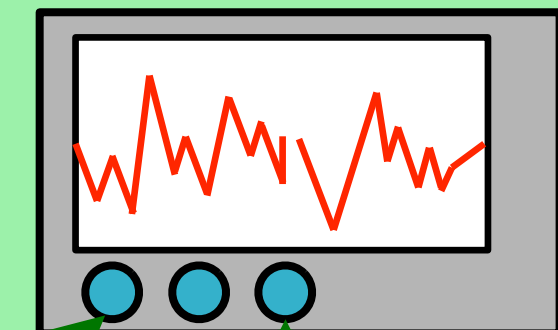


Filter cavity



Trigger

Oscilloscope



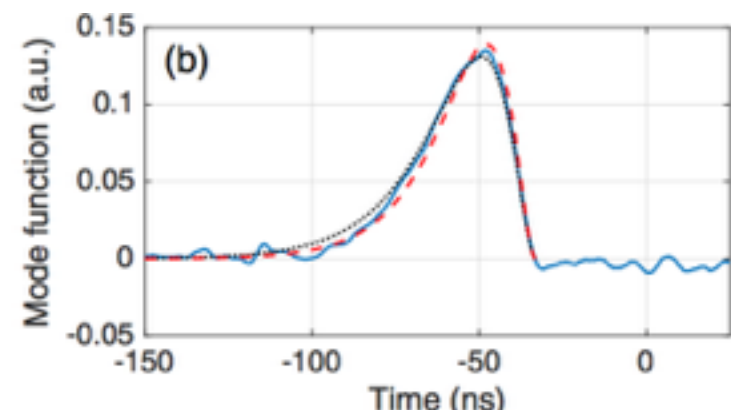
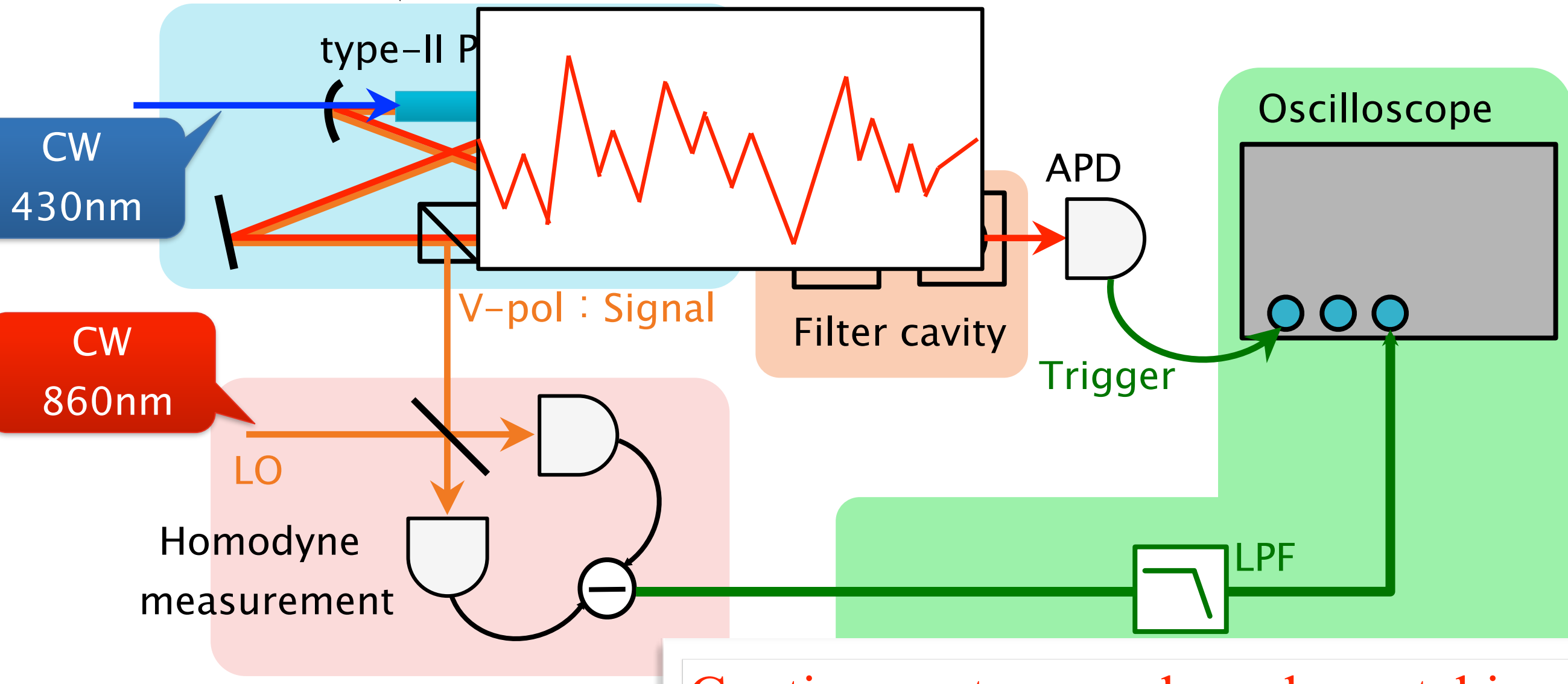
Continuous temporal-mode-matching

H. Ogawa, H. Ohdan, K. Miyata, M. Taguchi,  
K. Makino, H. Yonezawa, J. Yoshikawa, A. Furusawa,  
Real-Time Quadrature Measurement of a Single-Photon Wave Packet with Continuous Temporal-  
Mode Matching  
Phys. Rev. Lett. 116, 233602 (2016) Fig.2  
<https://journals.aps.org/prl/abstract/12016.1103/> (最終閲覧日：2017年5月26日)

# Real-time quadrature-amplitude measurement of single photons

H-pol : Idler  
V-pol : Signal

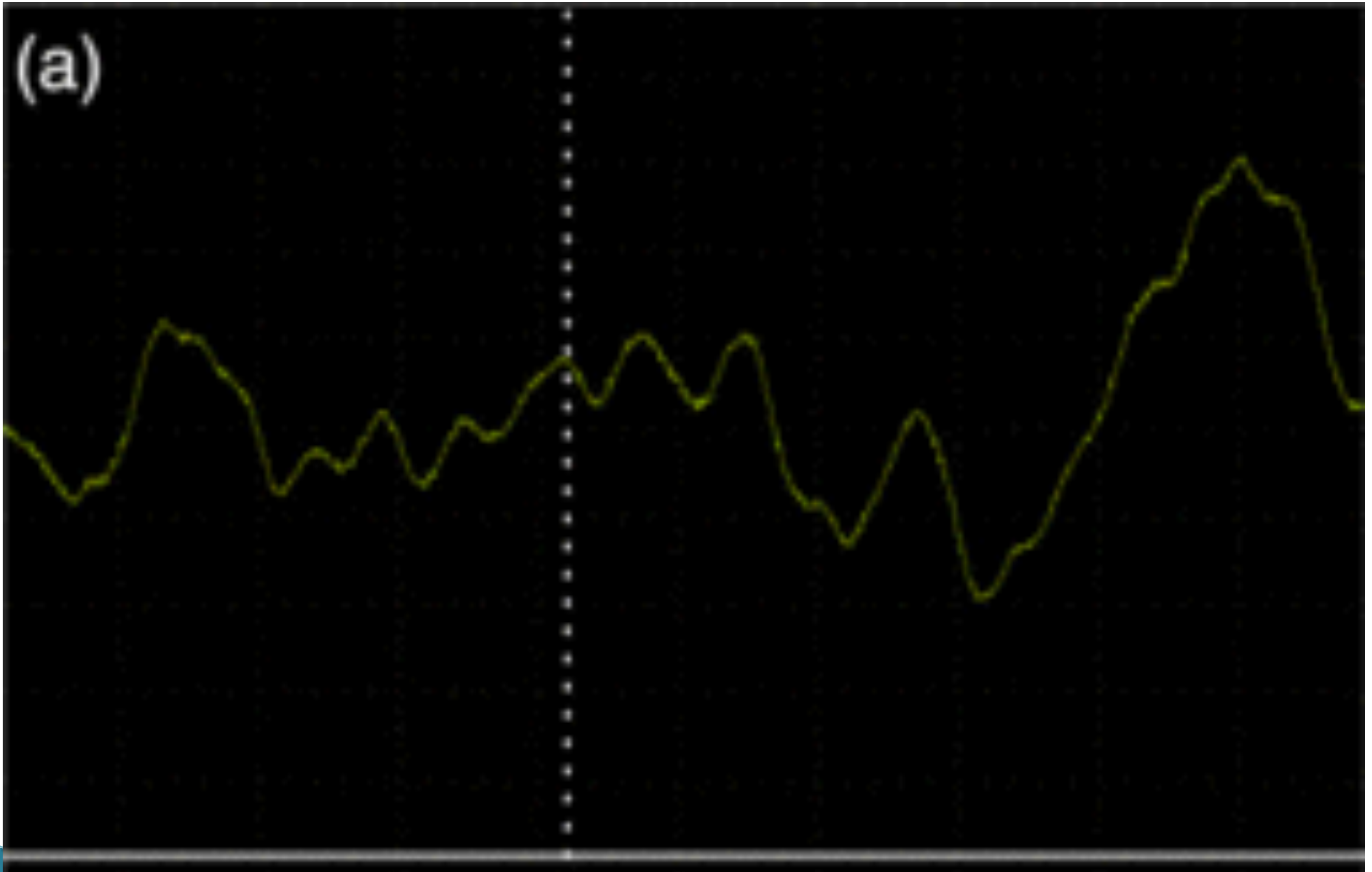
Hybrid measurement



Continuous temporal-mode-matching

H. Ogawa, H. Ohdan, K. Miyata, M. Taguchi,  
K. Makino, H. Yonezawa, J. Yoshikawa, A. Furusawa,  
Real-Time Quadrature Measurement of a Single-Photon Wave Packet with Continuous Temporal-  
Mode Matching  
Phys. Rev. Lett. 116, 233602 (2016) Fig.2  
<https://journals.aps.org/prl/abstract/120160.1103/> (最終閲覧日：2017年5月26日)

(a)



Real-Time Quadrature Measurement of a Single-Photon Wave Packet with Continuous Temporal-Mode Matching

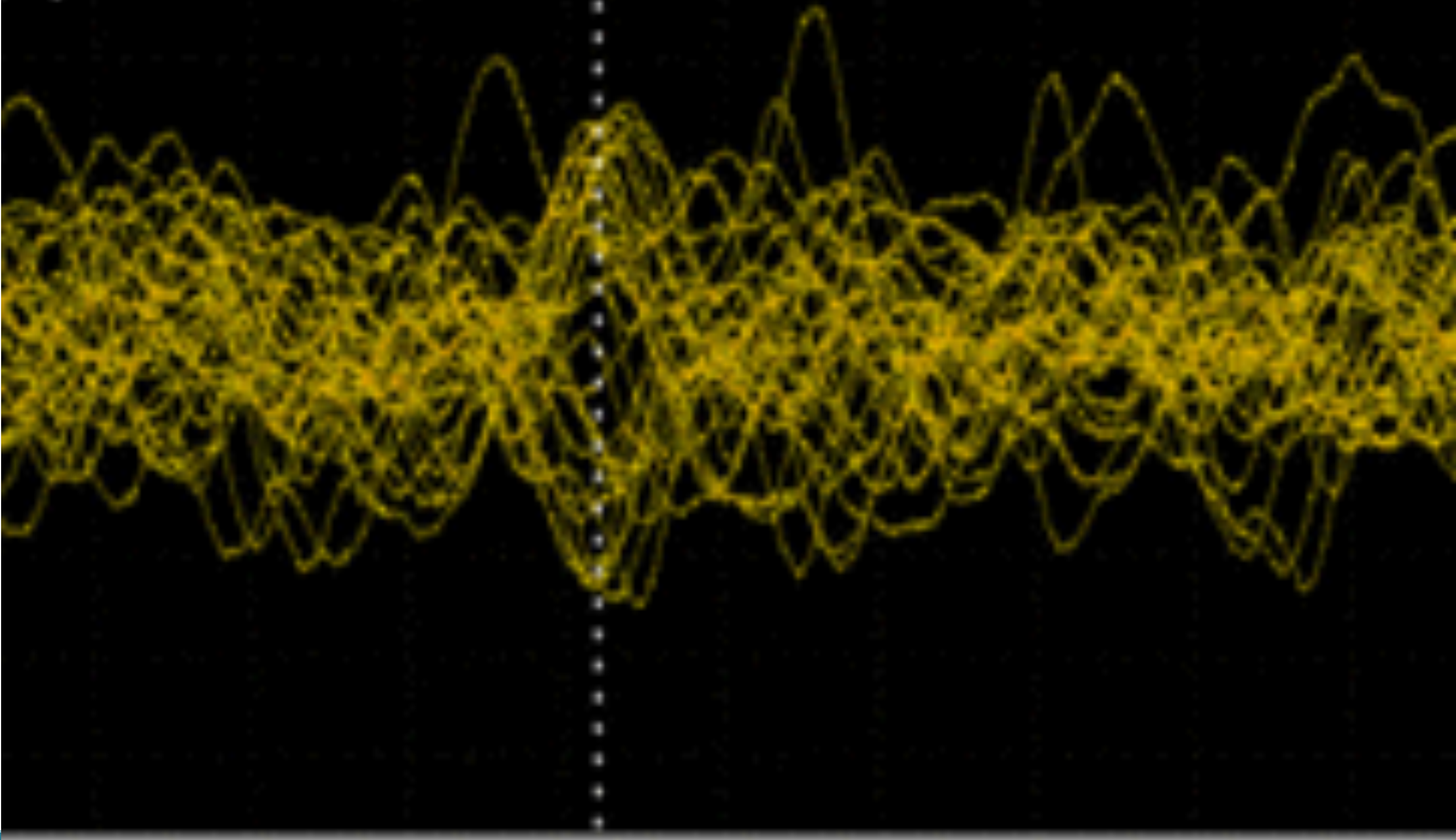
<https://journals.aps.org/prl/abstract/120160.1103/PhysRevLett.116.233602>

Hisashi Ogawa, Hideaki Ohda, Kazunori Miyata, Masahiro Taguchi, Kenzo Makino, Hidehiro Yonezawa, Jun-ichi Yoshikawa, and Akira Furusawa

Phys. Rev. Lett. 116,233602 (2016) 2

<https://journals.aps.org/prl/abstract/10.1103/PhysRevLett.116.233602> (最終閲覧日2017年5月26日)

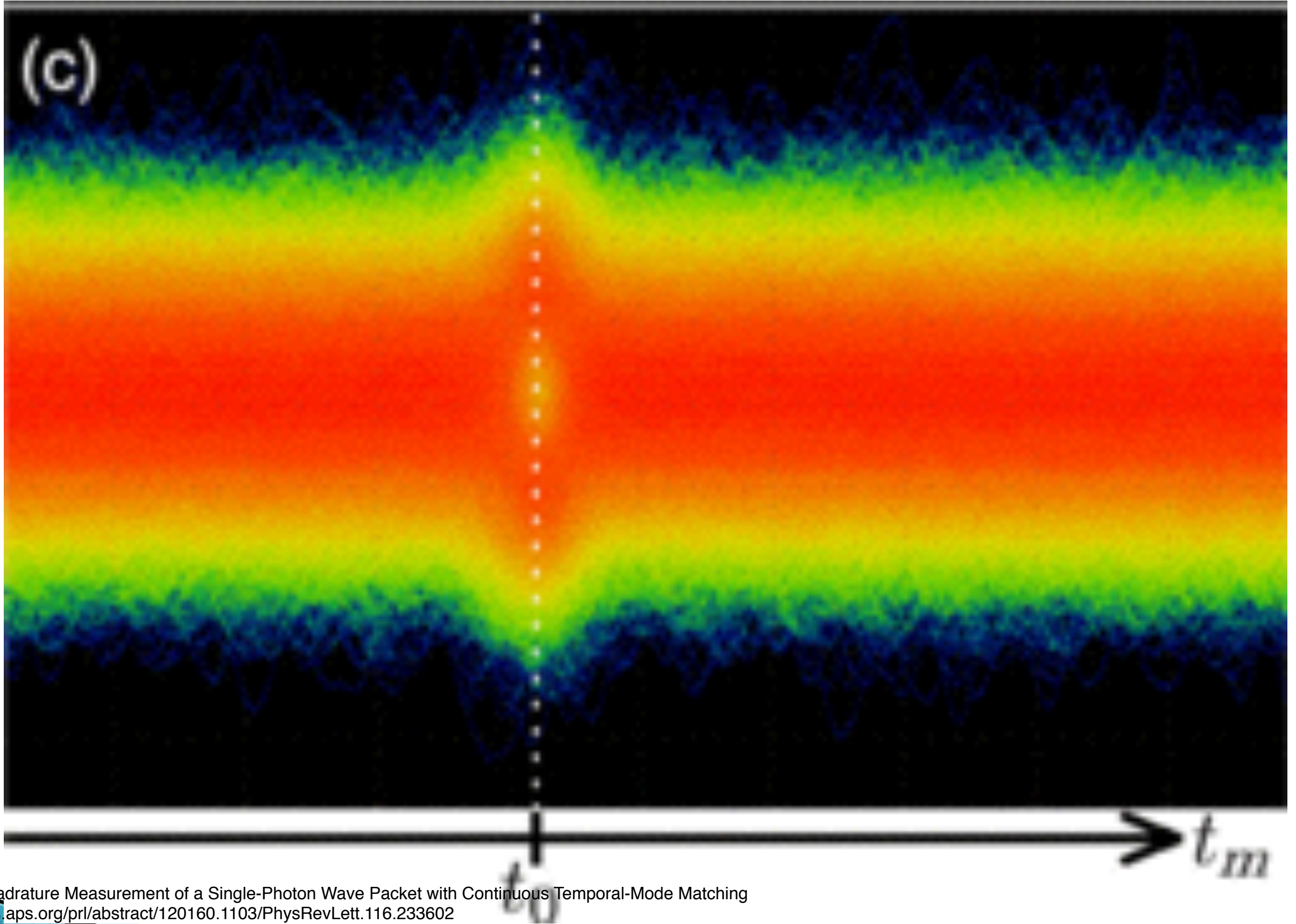
b)

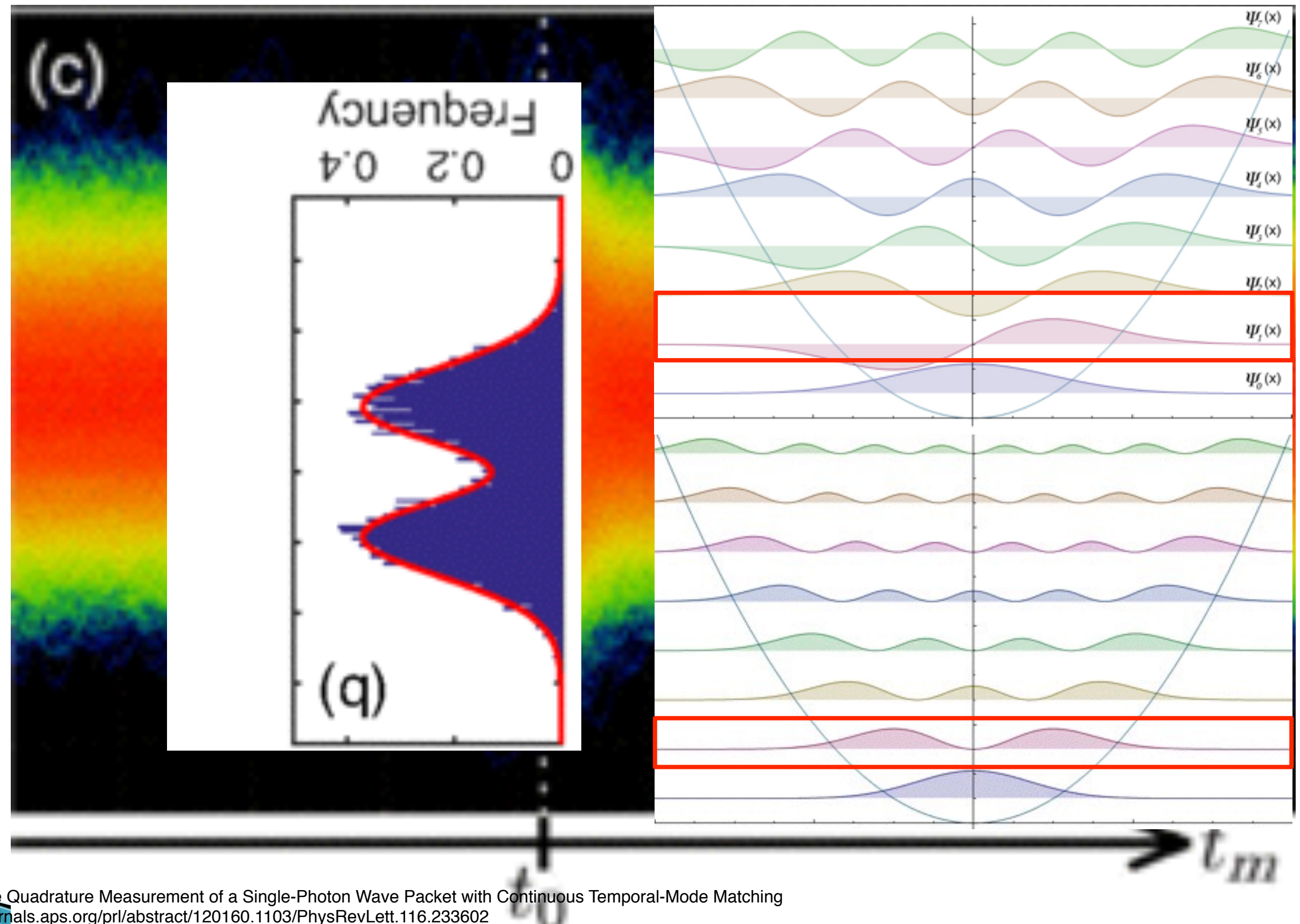


Real-Time Quadrature Measurement of a Single-Photon Wave Packet with Continuous Temporal-Mode Matching  
<https://journals.aps.org/prl/abstract/120160.1103/PhysRevLett.116.233602>

Hisashi Ogawa, Hideaki Ohdani, Tatsunori Miyata, Masahiro Taguchi, Kenzo Makino, Hidehiro Yonezawa, Jun-ichi Yoshikawa, and Akira Furusawa  
Phys. Rev. Lett. 116,233602 (2016年)

<https://journals.aps.org/prl/abstract/10.1103/PhysRevLett.116.233602> (最終閲覧日2017年5月26日)





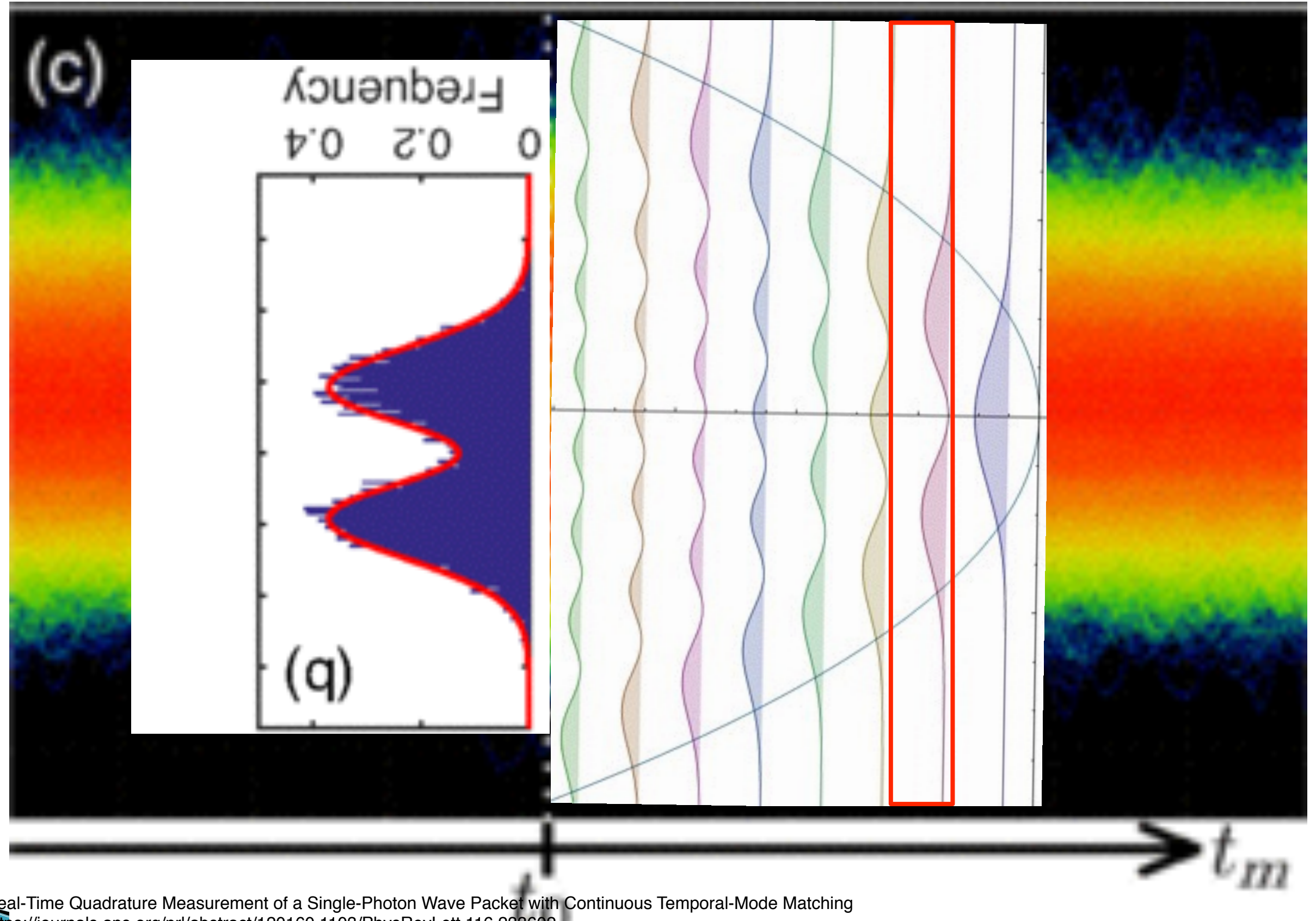
Real-Time Quadrature Measurement of a Single-Photon Wave Packet with Continuous Temporal-Mode Matching

<https://journals.aps.org/prl/abstract/120160.1103/PhysRevLett.116.233602>

Hisashi Ogawa, Hideaki Ohdan, Kazunori Miyata, Masahiro Taguchi, Kenzo Makino, Hidehiro Yonezawa, Jun-ichi Yoshikawa, and Akira Furusawa

Phys. Rev. Lett. 116,233602 (2016) Fig3、4

<https://journals.aps.org/prl/abstract/10.1103/PhysRevLett.116.233602> (最終閲覧日2017年5月26日)

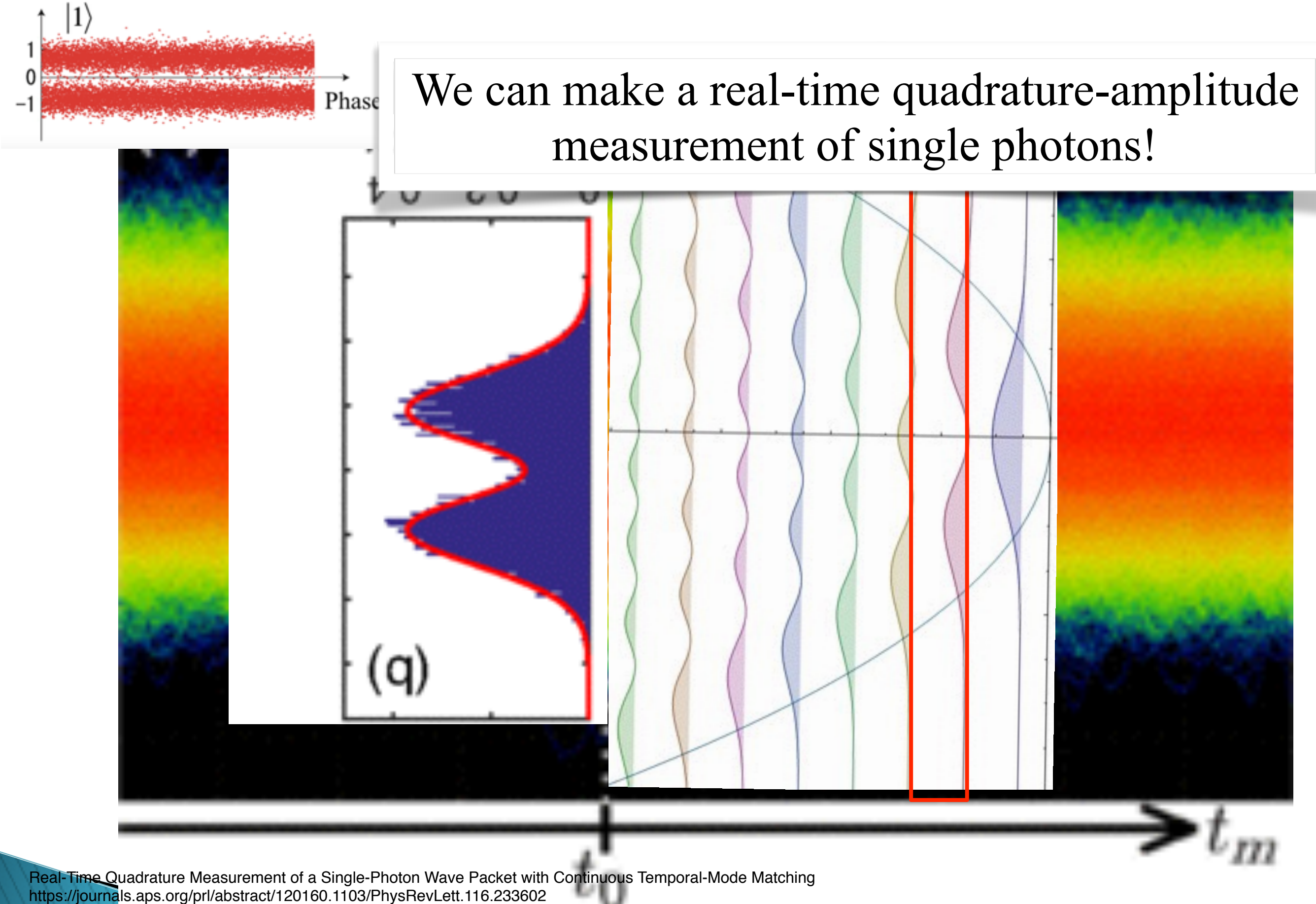


Real-Time Quadrature Measurement of a Single-Photon Wave Packet with Continuous Temporal-Mode Matching

<https://journals.aps.org/prl/abstract/120160.1103/PhysRevLett.116.233602>

Hisashi Ogawa, Hideaki Ohdan, Kazunori Miyata, Masahiro Taguchi, Kenzo Makino, Hidehiro Yonezawa, Jun-ichi Yoshikawa, and Akira Furusawa  
Phys. Rev. Lett. 116, 233602 (2016年) Fig3, 4

<https://journals.aps.org/prl/abstract/120160.1103/PhysRevLett.116.233602> (最終閲覧日2017年5月26日)



Real-Time Quadrature Measurement of a Single-Photon Wave Packet with Continuous Temporal-Mode Matching

<https://journals.aps.org/prl/abstract/120160.1103/PhysRevLett.116.233602>

Hisashi Ogawa, Hideaki Ueda, Kazunori Miyata, Masahiro Taguchi, Kenzo Makino, Hidehiro Yonezawa, Jun-ichi Yoshikawa, and Akira Furusawa  
Phys. Rev. Lett. 116,233602 (2011) Fig3, 4

<https://journals.aps.org/prl/abstract/10.1103/PhysRevLett.116.233602> (最終閲覧日2017年5月26日)

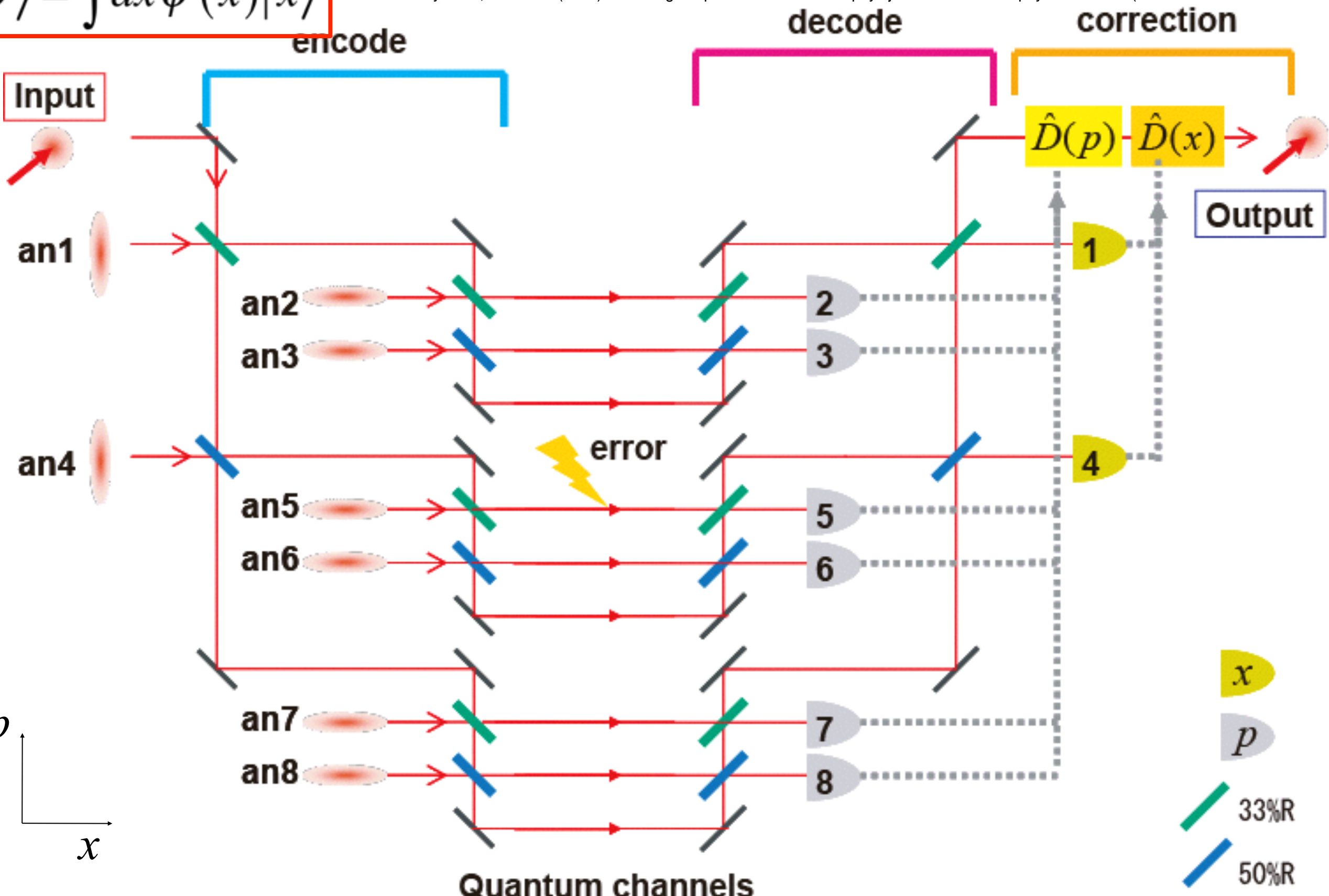
# Quantum error correction with a 9-wavepacket code

$$|\psi\rangle = \int dx \psi(x) |x\rangle$$

Quantum error correction beyond qubits

Takao Aoki, Go Takahashi, Tadashi Kajiyama, Jun-ichi Yoshikawa, Samuel L. Braunstein, Peter van Loock & Akira Furusawa

Nature Physics 5, 541 - 546 (2009) P541、fig1 <http://www.nature.com/nphys/journal/v5/n8/abs/nphys1309.html> (最終閲覧日：2017年5月26日)

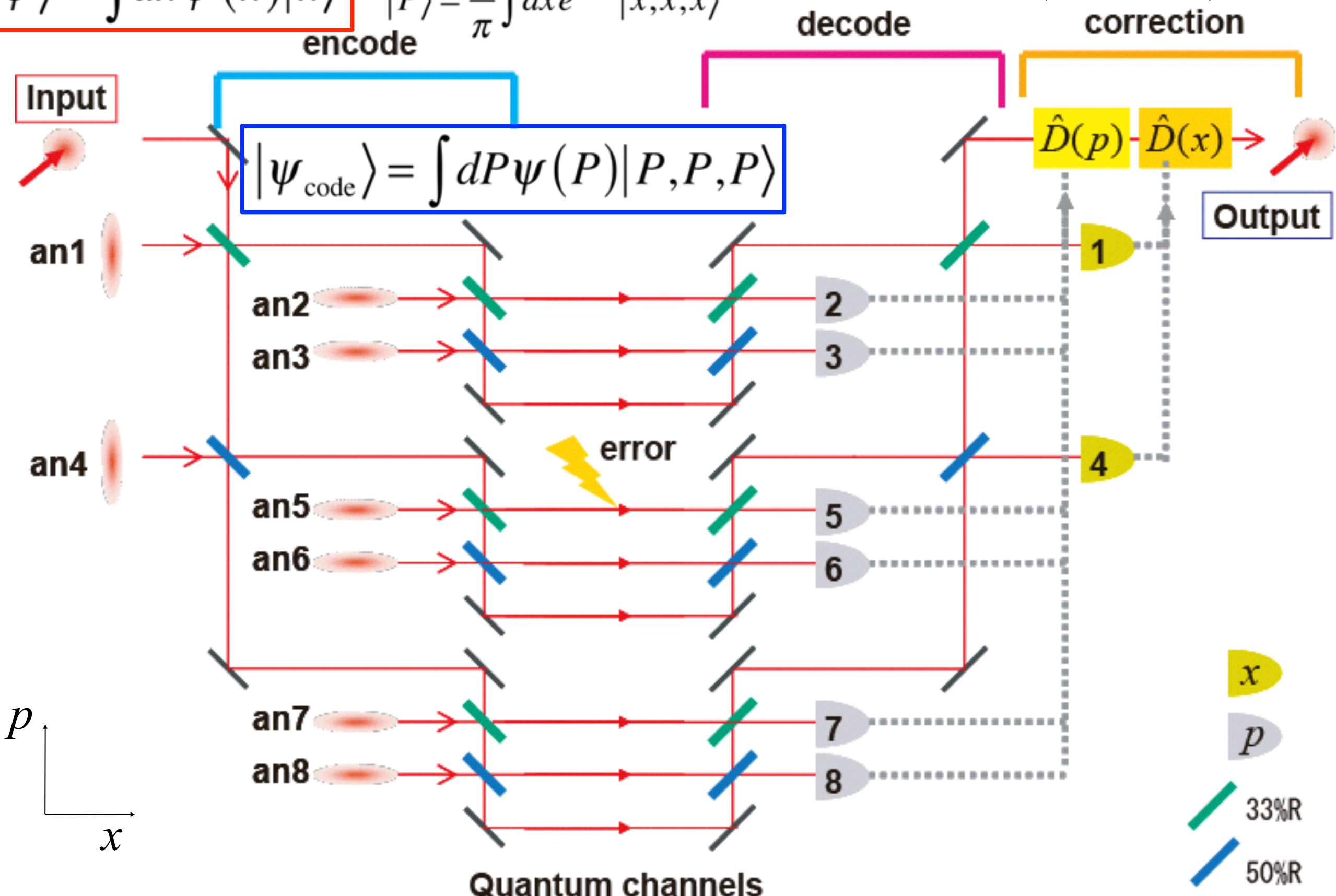


# Quantum error correction with a 9-wavepacket code

Quantum error correction beyond qubits  
 Takao Aoki, Go Takahashi, Tadashi Kajiyama, Jun-ichi Yoshikawa, Samuel L. Braunstein, Peter van Loock & Akira Furusawa  
 Nature Physics 5, 541 - 546 (2009) P541、fig1 http://www.nature.com/nphys/journal/v5/n8/abs/nphys1309.html  
 (最終閲覧日：2017年5月26日)

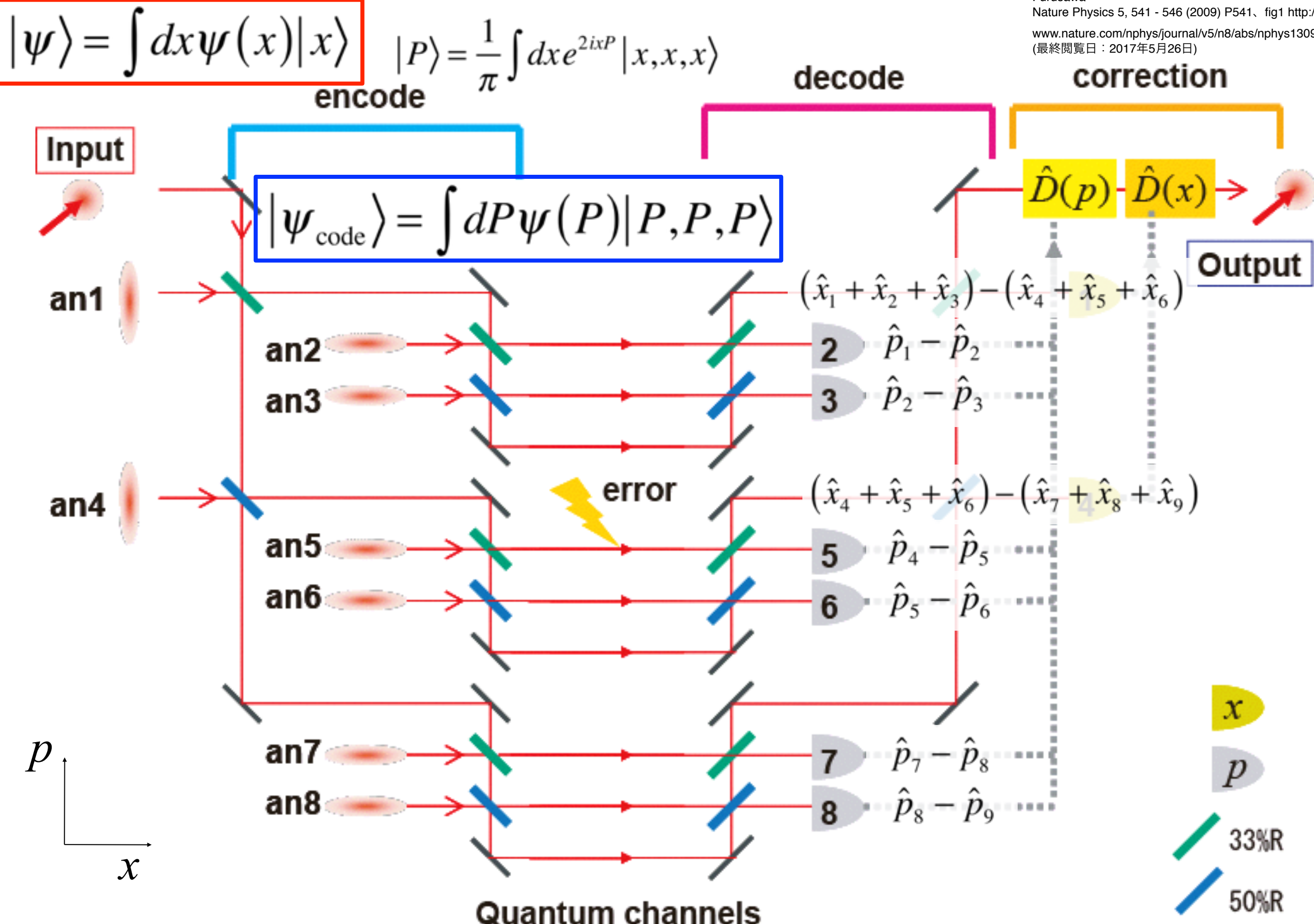
$$|\psi\rangle = \int dx \psi(x)|x\rangle \quad |P\rangle = \frac{1}{\pi} \int dx e^{2ixP}|x,x,x\rangle$$

encode



# Quantum error correction with a 9-wavepacket code

Quantum error correction beyond qubits  
 Takao Aoki, Go Takahashi, Tadashi Kajiyama, Jun-ichi Yoshikawa, Samuel L. Braunstein, Peter van Loock & Akira Furusawa  
 Nature Physics 5, 541 - 546 (2009) P541、fig1 http://www.nature.com/nphys/journal/v5/n8/abs/nphys1309.html  
 (最終閲覧日：2017年5月26日)

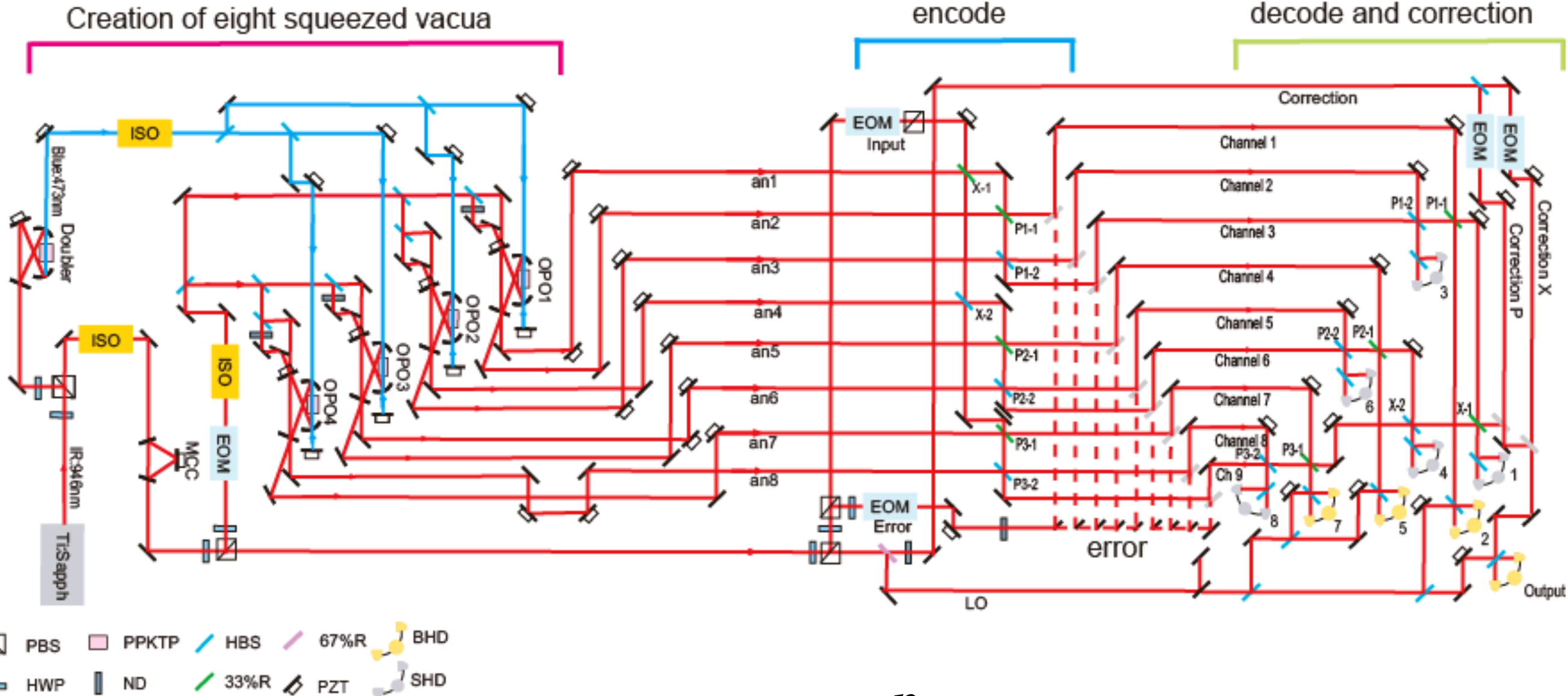


# Experimental setup

## Quantum error correction beyond qubits

T. Aoki, G. Takahashi, T. Kajiyama, J. Yoshikawa, S. L. Braunstein, P. van Loock, and A. Furusawa,  
Nature Physics 5, 541 (2009)P542、Fig2

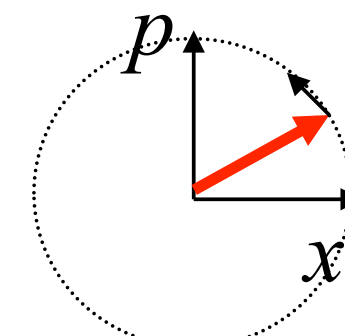
<http://www.nature.com/nphys/journal/v5/n8/abs/nphys1309.html> (最終閲覧日：2017年5月26日)



Input: a coherent state

squeezing: 1-2 dB

Error:



drifting displacement error

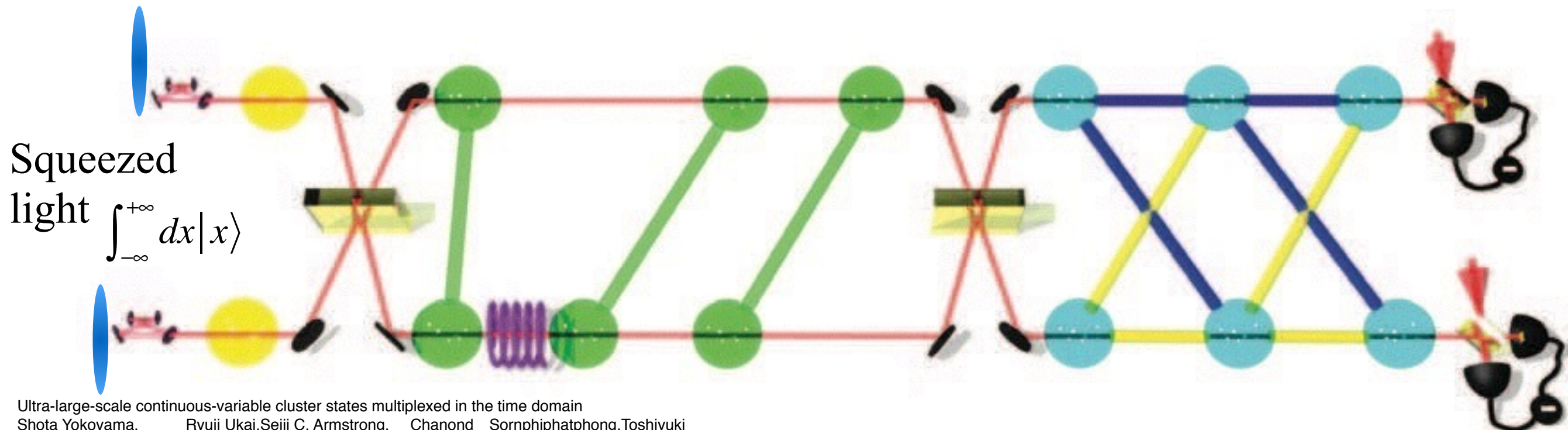
著作権等の都合により、  
ここに挿入されていた画像を削除しました。

書籍表紙

Akira Furusawa and Peter van Loock  
Quantum Teleportation and Entanglement  
A Hybrid Approach to Universal Quantum Information Processing  
Wiley-VCH, 2011年

[http://www.wiley-vch.de/de?  
option=com\\_eshop&view=product&isbn=9783527409303&title=Quantum%20Teleportation%20and%20Entanglement](http://www.wiley-vch.de/de?option=com_eshop&view=product&isbn=9783527409303&title=Quantum%20Teleportation%20and%20Entanglement)  
[http://onlinelibrary.wiley.com/book/  
10.1002/9783527635283;jsessionid=87DCF7A3B4FF643C0073A6F26  
2B6A73F.f01t04](http://onlinelibrary.wiley.com/book/10.1002/9783527635283;jsessionid=87DCF7A3B4FF643C0073A6F262B6A73F.f01t04)

# Ultra-large-scale CV cluster state



Ultra-large-scale continuous-variable cluster states multiplexed in the time domain  
Shota Yokoyama, Ryuji Ukai, Seiji C. Armstrong, Chanond Sornphiphatphong, Toshiyuki Kaji, Shigenari Suzuki, Jun-ichi Yoshikawa, Hidehiro Yonezawa, Nicolas C. Menicucci & Akira Furusawa

Nature Photonics 7, (2013), pp982–986

<http://www.nature.com/nphoton/journal/v7/n12/full/nphoton.2013.287.html>

Supplementary information

<https://www.nature.com/article-assets/npg/nphoton/journal/v7/n12/extref/nphoton.2013.287-s1.pdf>

P5, Fig S2

(最終閲覧日：2017年5月26日)

## Unlimited time-domain multiplexing technology

### One-million wave-packet entanglement!!

Ultra-large-scale continuous-variable cluster states multiplexed in the time domain

Shota Yokoyama, Ryuji Ukai, Seiji C. Armstrong, Chanond Sornphiphatphong, Toshiyuki Kaji, Shigenari Suzuki, Jun-ichi Yoshikawa, Hidehiro Yonezawa, Nicolas C. Menicucci & Akira Furusawa

Nature Photonics 7, (2013), pp982–986

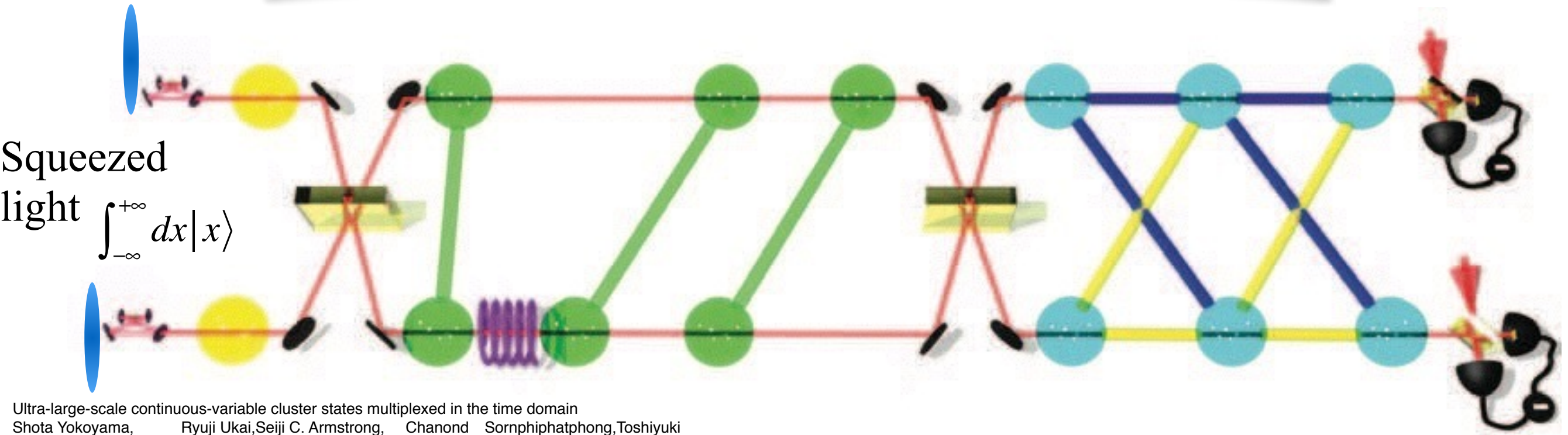
<http://www.nature.com/nphoton/journal/v7/n12/full/nphoton.2013.287.html>

Supplementary information

<https://www.nature.com/article-assets/npg/nphoton/journal/v7/n12/extref/nphoton.2013.287-s1.pdf>

P5, Fig S2 (最終閲覧日：2017年5月26日)

# Ultra-large-scale CV cluster state



Ultra-large-scale continuous-variable cluster states multiplexed in the time domain  
Shota Yokoyama, Ryuji Ukai, Seiji C. Armstrong, Chanond Sornphiphatphong, Toshiyuki Kaji, Shigenari Suzuki, Jun-ichi Yoshikawa, Hidehiro Yonezawa, Nicolas C. Menicucci & Akira Furusawa

Nature Photonics 7, (2013), pp982–986

<http://www.nature.com/nphoton/journal/v7/n12/full/nphoton.2013.287.html>

Supplementary information

<https://www.nature.com/article-assets/npg/nphoton/journal/v7/n12/extref/nphoton.2013.287-s1.pdf>

P5、Fig S2

(最終閲覧日：2017年5月26日)

Unlimited

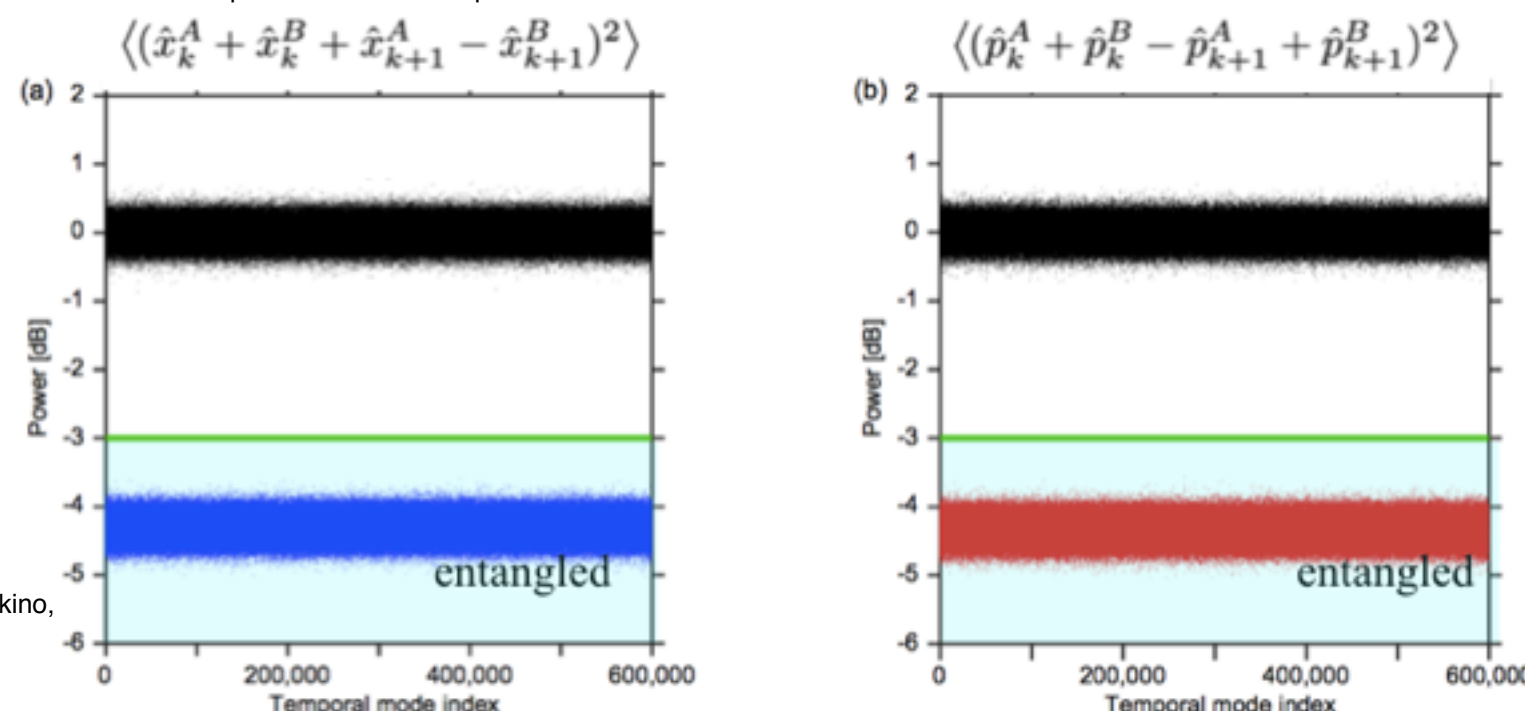
One-m

Generation of one-million-mode continuous-variable cluster state by unlimited time-domain multiplexing  
Jun-ichi Yoshikawa, Shota Yokoyama, Toshiyuki Kaji, Chanond Sornphiphatphong, Yu Shiozawa, Kenzo Makino, and Akira Furusawa

APL Photonics 1,(2016)pp1-11

P9、Fig7 CC BY 4.0

<http://aip.scitation.org/doi/full/10.1063/1.4962732>  
(最終閲覧日：2017年5月26日)



nnology

:nt!!

